



# เครื่องเปลี่ยนไฟกระแสตรงเป็นไฟกระแสสลับ

## DC TO AC CONVERTER



ปริญญานิพนธ์ นี้เป็นส่วนหนึ่งของการศึกษาคณะวิศวกรรมศาสตรบัณฑิต

สาขาเทคโนโลยีโทรคมนาคม

คณะวิศวกรรมศาสตร์

สถาบันเทคโนโลยีพระจอมเกล้าเจ้าคุณทหารลาดกระบัง

เอกสารนี้เป็นเอกสารที่สงวนไว้สำหรับการใช้ภายในเท่านั้น ไม่อนุญาตให้นำไปใช้ประโยชน์ด้านการค้า

ไม่ว่ากรณีใดๆทั้งสิ้น อีกทั้งห้ามมิให้ดัดแปลงเนื้อหา และต้องอ้างอิงถึงเจ้าของเอกสารทุกครั้งที่มีการนำไปใช้

หัวข้อปริญญานิพนธ์ เครื่องเปลี่ยนไฟกระแสตรงเป็นไฟกระแสสลับ  
(DC TO AC CONVERTER)

โดย

นายสุชาติ ตระนันทสิน เลขประจำตัว 35103167

นายสมภพ เวชตระกูล เลขประจำตัว 35103182

อาจารย์ที่ปรึกษา อาจารย์ ประดิษฐ์ วัชรพิบูลย์

ภาควิชาเทคโนโลยีอุตสาหกรรม

ปีการศึกษา 2537

คณะกรรมการศาสตร์ สถาบันเทคโนโลยีพระจอมเกล้าเจ้าคุณทหารลาดกระบัง  
อนุมัติให้เป็นส่วนหนึ่งของการศึกษาตามหลักสูตรปริญญาอุตสาหกรรมศาสตร์บัณฑิต คณะกรรมการ  
สอบปริญญานิพนธ์



.....ประธานกรรมการ

( )

.....กรรมการ

( )

.....กรรมการ

( )

.....กรรมการ

( )

.....กรรมการ

( )

.....กรรมการ

( )

เอกสารลิขสิทธิ์ของคณะกรรมการศาสตร์ สถาบันเทคโนโลยีพระจอมเกล้าเจ้าคุณทหารลาดกระบัง  
ไม่ว่ากรณีใดๆทั้งสิ้น อีกทั้งห้ามมิให้ดัดแปลงเนื้อหา และต้องอ้างอิงถึงเจ้าของเอกสารทุกครั้งที่มีการนำไปใช้

## เครื่องเปลี่ยนไฟกระแสตรงเป็นไฟกระแสสลับ

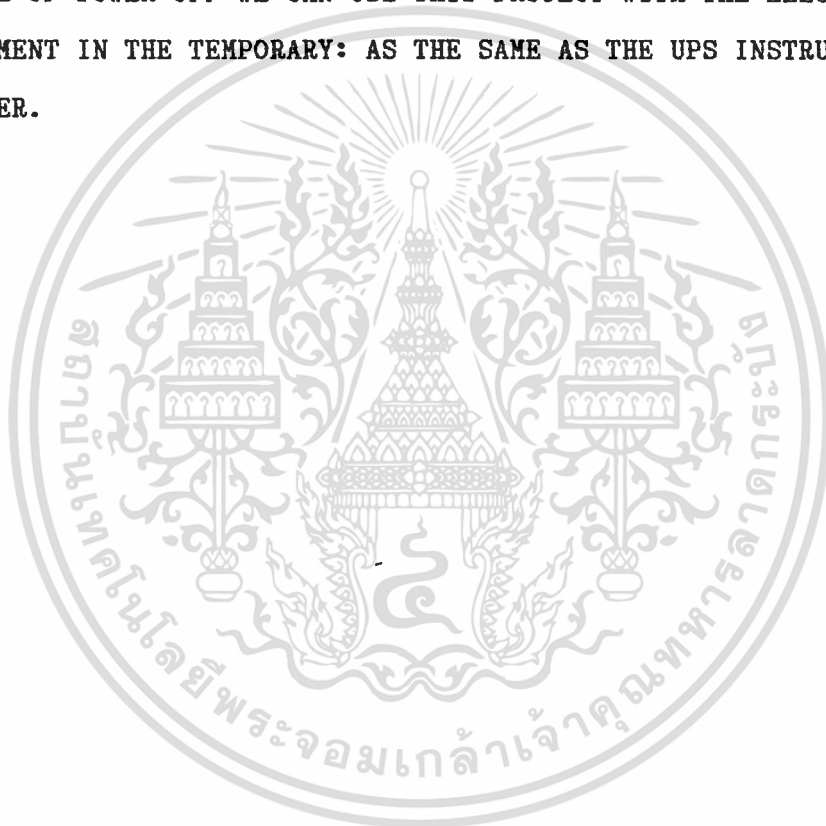
**บทคัดย่อ** โครงการนี้มีจุดมุ่งหมายเพื่อศึกษาการทำงานวงจร DC TO AC CONVERTER ซึ่งทำให้ผมและผู้ร่วมกลุ่มมีความรู้อย่างมาก เพราะว่าโครงการนี้มีการวิวัฒนาการการออกแบบ ปรับปรุงวงจรมาช้านาน ซึ่งในโครงการนี้ประกอบด้วยวงจรจำกัดกระแสอินพุท วงจรตรวจจับอุณหภูมิ, วงจรควบคุมแรงดัน, วงจรกำเนิดความถี่ และวงจรส่วนเพาเวอร์เป็นต้น ในกรณีที่ไฟฟ้าดับเราสามารถที่ใช้โครงการนี้กับอุปกรณ์ไฟฟ้าแทนได้ชั่วคราว ในลักษณะการใช้งานแบบ อุปกรณ์ UPS กับคอมพิวเตอร์



เอกสารนี้เป็นเอกสารที่สงวนไว้สำหรับการใช้งานเพื่อการศึกษาเท่านั้น ไม่อนุญาตให้นำไปใช้ประโยชน์ด้านการค้า  
ไม่ว่ากรณีใดๆทั้งสิ้น อีกทั้งห้ามมิให้ตัดแปลงเนื้อหา และต้องอ้างอิงถึงเจ้าของเอกสารทุกครั้งที่มีการนำไปใช้

## DC TO AC CONVERTER

**ABSTRACT** THIS PROJECT HAVE APPOINTMENT TO STUDY; HOW TO WORK OF DC TO AC CONVERTER CIRCUIT. THAT I AND MY WORKING GROUP CAN TAKE A LOT OF KNOWLEDGE. BECAUSE OF THIS PROJECT HAVE THE DEVELOPEMENT TO ADJUST THE CIRCUIT IN THE LONGTIME. THAT IN THIS PROJECT CONSIST OF LIMITED INPUT CORRENT CIRCUIT; TEMPERATURE SENSING CURCUTI; CONTROL VOLTAGE CIRCUIT; GENERATING FREQUENCY CIRCUIT AND POWER CIRCUIT ETC. IN CASE OF POWER OFF WE CAN USE THIS PROJECT WITH THE ELECTRICAL INSTRUMENT IN THE TEMPORARY: AS THE SAME AS THE UPS INSTRUMENT WITH COMPUTER.



เอกสารนี้เป็นเอกสารที่สงวนไว้สำหรับการใช้งานเพื่อการศึกษาเท่านั้น ไม่อนุญาตให้นำไปใช้ประโยชน์ด้านการค้า  
ไม่ว่ากรณีใดๆทั้งสิ้น อีกทั้งห้ามมิให้ดัดแปลงเนื้อหา และต้องอ้างอิงถึงเจ้าของเอกสารทุกครั้งที่มีการนำไปใช้

# สารบัญ

		หน้า
บทที่ 1	บทนำ	1
	1.1 แนวเหตุผล	1
	1.2 ขอบเขตโครงการ	1
	1.3 ขั้นตอนวิธีการดำเนินงานและขอบเขตโครงการ	2
บทที่ 2	ชนิดของคอนเวอร์เตอร์	4
	2.1 หลักการทำงานของคอนเวอร์เตอร์	4
	2.2 ชนิดของคอนเวอร์เตอร์	5
	2.3 วงจรคอนเวอร์เตอร์แบบขนาน (PARALIEL CONVERTER)	9
	2.4 MCMURRAY BEDFORD CONVERTER	12
	2.5 MCMURRAY CONVERTER	16
	2.6 SINGLE PHASE BRIDGE CONVERTER	20
	2.7 วงจรคอนเวอร์เตอร์แบบอนุกรม (SERIES CONVERTER)	25
	2.8 CONSTANT CURRENT SOURCE CONVERTER	28
	2.9 คอนเวอร์เตอร์ชนิด 3 เฟส	30
	2.10 คอนเวอร์เตอร์ที่ใช้เพาเวอร์ทรานซิสเตอร์	33
บทที่ 3	RECTIFIER	35
	3.1 วงจรเรกติไฟเออร์แบบครึ่งคลื่น (HALF WAVE RECTIFIER)	35
	3.2 วงจรเรกติไฟเออร์แบบเต็มคลื่น (FULL WAVE RECTIFIER)	36
	3.3 ระบบฟิลเตอร์ที่ใช้ในวงจรจ่ายไฟตรง	38
บทที่ 4	การออกแบบหม้อแปลงความถี่สูงสำหรับแหล่งจ่ายไฟ	42
	4.1 ทฤษฎีแม่เหล็กไฟฟ้า	42
	4.2 ซีส์เตอร์รีซิสทิว	44
	4.3 ทฤษฎีหม้อแปลง	45
บทที่ 5	วงจรและการทำงานของโครงการ	48
	5.1 วงจรและการทำงานของโครงการ	48
	5.2 การทดสอบและปรับแต่ง	63
บทที่ 6	ผลการทดลองของโครงการ	67
	6.1 ผลการทดลอง	67

เอกสารนี้เป็นเอกสารที่สงวนไว้สำหรับการใช้งานเพื่อการศึกษาเท่านั้น ไม่อนุญาตให้นำไปใช้ประโยชน์ด้านการค้า  
ไม่ว่ากรณีใดๆทั้งสิ้น อีกทั้งห้ามมิให้ดัดแปลงเนื้อหา และต้องอ้างอิงถึงเจ้าของเอกสารทุกครั้งที่มีการนำไปใช้

เอกสารอ้างอิง  
ภาคผนวก

หน้า  
71  
72



เอกสารนี้เป็นเอกสารที่สงวนไว้สำหรับการใช้งานเพื่อการศึกษาเท่านั้น ไม่อนุญาตให้นำไปใช้ประโยชน์ด้านการค้า  
ไม่ว่ากรณีใดๆทั้งสิ้น อีกทั้งห้ามมิให้ดัดแปลงเนื้อหา และต้องอ้างอิงถึงเจ้าของเอกสารทุกครั้งที่มีการนำไปใช้

## กิตติกรรมประกาศ

ปริญญานิพนธ์ฉบับนี้ประสบความสำเร็จได้ด้วยดีด้วยความอนุเคราะห์ และการให้คำแนะนำต่อคณะผู้จัดทำจาก ท่านอาจารย์ ประดิษฐ์ วัชรนิมิตต์ ซึ่งเป็นอาจารย์ที่ปรึกษาของกลุ่มงาน DC TO AC CONVERTER และทั้งคณาจารย์ทุก ๆ ท่านในภาควิชาเทคนิคอุตสาหกรรมที่ให้คำปรึกษา แนะนำด้วยดีตลอดมา รวมทั้งทางคณะผู้จัดทำขอขอบคุณองค์การโทรทัศน์แห่งประเทศไทย ที่ได้ให้ความสะดวกต่อการทำงานทั้งหมดของคณะผู้จัดทำจนประสบความสำเร็จ ดังนั้นคณะผู้จัดทำขอขอบคุณเป็นอย่างสูง มา ณ ที่นี้



นายสุชาติ ตระนันท์สิน  
นายสมภพ เวชตระกูล

เอกสารนี้เป็นเอกสารที่สงวนไว้สำหรับการใช้งานเพื่อการศึกษาเท่านั้น ไม่อนุญาตให้นำไปใช้ประโยชน์ด้านการค้า  
ไม่ว่ากรณีใดๆทั้งสิ้น อีกทั้งห้ามมิให้ตัดแปลงเนื้อหา และต้องอ้างอิงถึงเจ้าของเอกสารทุกครั้งที่มีการนำไปใช้

# บทที่ 1

## บทนำ

### 1.1 แนวเหตุผล

หากคุณเป็นคนที่ต้องเดินทางอยู่บ่อย ๆ ด้วยพาหนะรถยนต์ส่วนตัวของคุณ บางครั้งไม่สามารถนำหลอดไฟฟ้า วิทกู และโทรทัศน์ ซึ่งเป็นสิ่งอำนวยความสะดวกติดตามไปใช้ได้ เหตุก็เพราะไม่มีไฟฟ้าใช้ (หมายถึง ไฟ AC 220 โวลต์ 50 เฮิร์ตซ์) แต่นั่นก็ไม่ถึงกับหมดโอกาสเสียทีเดียว เพราะเราสามารถนำแบตเตอรี่ในรถยนต์มาเป็นอุปกรณ์ในการทำงานได้อย่างดี โดยหาวิธีการเปลี่ยนไฟตรงให้เป็นไฟสลับที่ต้องการเสียก่อน

เครื่องมือที่ใช้ในการเปลี่ยนไฟฟ้ากระแสตรงให้เป็นไฟฟ้ากระแสสลับนี้เรียกว่า " คอนเวอร์เตอร์ CONVERTER )" ซึ่งคอนเวอร์เตอร์นี้มีวิวัฒนาการออกแบบปรับปรุงมาช้านาน นักออกแบบพยายามคิดค้นหาวิธีทำอย่างไรจึงจะได้ไฟฟ้าสลับรูปสัญญาณชานอ้อยที่ต้องการ ในความเป็นจริงสามารถทำได้ใกล้เคียงมาก แต่สิ่งที่ประสบคือ เกิดค่าความสูญเสียของพลังงานค่อนข้างสูง (ประสิทธิภาพต่ำ) ทำให้คอนเวอร์เตอร์นี้มีขนาดใหญ่เกินกำลัง จึงได้มีความพยายามคิดกันอีกแบบว่า ถ้ารูปสัญญาณชานอ้อยทำให้เกิดความสูญเสียสูงก็ควรที่จะเปลี่ยนให้เป็นรูปคลื่นไฟสลับที่มีพื้นที่ (ค่าแรงดันเฉลี่ย) มากขึ้นกว่าเก่า โดยเปลี่ยนให้เป็นไฟสลับรูปสัญญาณสี่เหลี่ยม ซึ่งก็ได้ผลตามที่ต้องการ คือลดทั้งค่าความสูญเสียและน้ำหนักต่อกำลังงานลง คอนเวอร์เตอร์แบบนี้จึงมีขนาดเล็กลงในขนาดกำลังเท่า ๆ กัน แต่ปัญหาที่ตามมาคือ จะมีเครื่องมือเครื่องใช้ไฟฟ้าที่มากน้อยที่สามารถทำงานได้ดีกับกระแสไฟสลับที่มีรูปร่างแบบนี้ ซึ่งตอบได้เลือนว่ามีน้อยมาก และสิ่งที่พบคือคอนเวอร์เตอร์แบบนี้ก่อให้เกิดฮาร์มอนิกนอกระบบสูงรบกวนอุปกรณ์อิเล็กทรอนิกส์ และเครื่องใช้ไฟฟ้าอื่น ๆ

แต่คอนเวอร์เตอร์ในโครงการนี้ไม่ได้ออกแบบให้เอาต์พุตเป็นอย่างไรทั้งสองแบบข้างต้น แต่จะอยู่ระหว่างกลาง คือให้รูปสัญญาณเป็นรูปคางหมู โดยคงคุณสมบัติที่ดีของค่าความสูญเสีย และขนาดน้ำหนักต่อกำลังในระดับที่ยอมรับได้ จึงเป็นที่แน่ใจได้ว่าใช้งานได้ดีกับอุปกรณ์ไฟฟ้าทั่ว ๆ ไปตามปกติ

### 1.2 ขอบเขตของโครงการ

เพื่อให้การใช้อุปกรณ์ไฟฟ้าสามารถทำงานได้อย่างมีประสิทธิภาพ และประสิทธิผลโดยปราศจากการรบกวนคอนเวอร์เตอร์ในโครงการนี้จึงต้องมีคุณสมบัติบางประการดังนี้

1. VOLTAGE OUTPUT REGULATION 220 V. +/-2%
2. FERQUENCY OUTPUT REGULATION 50 HZ. +/- .05%
3. สัญญาณ OUTPUT ของ CONVERTER จะต้องเป็นรูปคางหมู
4. ค่าความผิดเพี้ยนของรูปคลื่น < 5%
5. มีระบบป้องกันความปลอดภัยของวงจร
  - 5.1 วงจรจำกัดอุณหภูมิ
  - 5.2 วงจรควบคุมแรงดัน
  - 5.3 วงจรจำกัดกระแส
  - 5.4 วงจรกำเนิดความถี่

เอกสารนี้เป็นเอกสารที่สงวนไว้สำหรับการใช้งานเพื่อการศึกษาเท่านั้น ไม่นอนุญาตให้นำไปใช้ประโยชน์ด้านการค้าไม่ว่ากรณีใดๆทั้งสิ้น อีกทั้งห้ามมิให้ตัดแปลงเนื้อหา และต้องอ้างอิงถึงเจ้าของเอกสารทุกครั้งที่มีการนำไปใช้

### 1.3 ขั้นตอนวิธีการดำเนินงาน และขอบเขตโครงการ

#### ขั้นตอนที่ 1

ศึกษารายละเอียดโครงสร้าง และหลักการทำงานของคอนเวอร์เตอร์ โดยเฉพาะคอนเวอร์เตอร์ที่ใช้หลักการของ PULSE WIDTH MODULATION (PWM)

#### ขั้นตอนที่ 2

จัดท้าวจรออกแบบ และปรับปรุงวงจรต่าง ๆ ที่เกี่ยวข้อง

#### ขั้นตอนที่ 3

จัดท้าวุปกรณ์ และทดลองวงจรตามวงจรในขั้นตอนที่ 2 พร้อมทั้งแก้ไขปรับปรุงให้ได้ผลลัพธ์ตามที่ต้องการ

#### ขั้นตอนที่ 4

ออกแบบบลายปรินต์ พร้อมทั้งวางอุปกรณ์บนปรินต์

#### ขั้นตอนที่ 5

ประกอบ และวางอุปกรณ์ที่เกี่ยวข้องลงบนแท่น

#### ขั้นตอนที่ 6

ทดสอบผลงานโดย

- 6.1 วัดค่าแรงดัน OUTPUT ของคอนเวอร์เตอร์ให้ได้ตามสมมุติฐาน
- 6.2 วัดค่า RATE FREQUENCY ได้ตามสมมุติฐาน และ WAVE FROM OUT PUT
- 6.3 ทดลองจ่าย Load ตั้งแต่ NON LOAD

และใช้ LOAD โดยใช้หลอดไฟขนาด 100 WATTS. จำนวน 6 ดวง โดยเริ่มจาก 100 WATTS และเพิ่มหลอดไฟทีละ 1 ดวง จนถึง FULL LOAD คือ 6 ดวง (600 WATTS) ช่วง FULL LOAD หลอดไฟจะสว่างลดลงเล็กน้อย

ต่อมาทดลองใช้กับอุปกรณ์เครื่องใช้ไฟฟ้าประกอบด้วย โทรทัศน์ วิทยุกระเป่าหิ้ว วิทยุโอ ปรากฏว่าใช้งานได้

ส่วนการทดลองใช้งานกับพัดลม จะมีเสียงดังจากแบตเตอรี่ แต่ก็ใช้งานได้พร้อมทั้งดำเนินการตามขั้นตอนที่ 6.1 ถึง 6.3

**ขั้นตอนที่ 7**

ทดลองระบบป้องกันความปลอดภัยของวงจรต่าง ๆ เช่น

1. วงจรจำกัดอุณหภูมิ
2. วงจรควบคุมแรงดัน
3. วงจรจำกัดกระแส
4. วงจรกำเนิดความถี่

**ขั้นตอนที่ 8**

สรุปผลที่ได้รับจากการดำเนินงานตามโครงการทดลองที่ค้นคว้า และวิจัย พร้อมทั้งข้อเสนอแนะข้อปัญหาในการทำงาน, งานการเขียน, พิมพ์, ตรวจ และการเสนอรายงาน

**1.4 ประโยชน์ที่ได้รับจากโครงการงาน**

1. เป็นตัวอย่างในการวิจัย และพัฒนาเทคโนโลยีด้านอิเล็กทรอนิกส์ภายในประเทศ
2. เป็นพื้นฐานในการวิจัย และพัฒนาคอนเวอเตอร์ที่ได้มาตรฐานต่อไป
3. เพื่อลดการสั่งซื้อผลิตภัณฑ์ดังกล่าวจากต่างประเทศ ซึ่งจะลดการขาดดุลทางการค้าได้อีกทางหนึ่งและยังเป็นการช่วยพัฒนาเศรษฐกิจของประเทศ
4. สามารถนำผลิตภัณฑ์ดังกล่าวมาดำเนินการในเชิงธุรกิจได้

## บทที่ 2

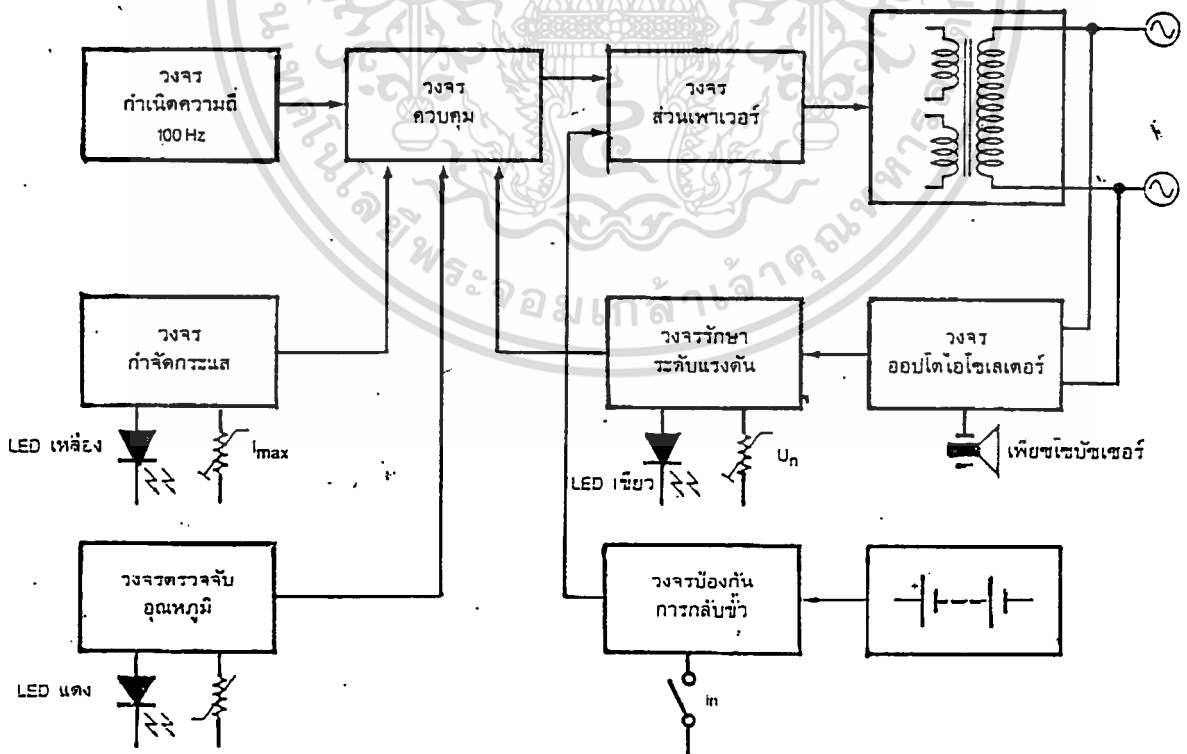
### ชนิดของคอนเวอเตอร์

#### 2.1 หลักการทำงานของคอนเวอเตอร์

ในรูปที่ 2.1 คือบล็อกไดอะแกรมแสดงการทำงานเชื่อมโยงการทำงานในส่วนต่าง ๆ ของคอนเวอเตอร์ชนิดนี้ แบตเตอรี่จะถูกต่อผ่านส่วนป้องกันการกลับขั้วก่อนส่งไปยังส่วนเพาเวอร์ ซึ่งส่วนเพาเวอร์นี้จะเปลี่ยนแรงดันไฟตรงจากแบตเตอรี่ไปเป็นสัญญาณไฟสลับขนาดไม่สูงนัก เพื่อจ่ายให้กับขดเค้นคานารีของหม้อแปลงหลัก จากอัตราส่วนจำนวนรอบของหม้อแปลงหลักก็จะทำให้เกิดแรงดันไฟสลับขึ้นที่ขดไฟร์มารีในระดับ 220-240 โวลต์ โดยที่ส่วนเพาเวอร์จะได้รับแรงดันควบคุมมาจากส่วนควบคุมอีกทอดหนึ่ง ซึ่งส่วนควบคุมนี้จะได้รับการควบคุมมาจากหลาย ๆ ส่วนของวงจร เช่น วงจรจำกัดกระแสอินพุต วงจรตรวจจับอุณหภูมิ วงจรควบคุมแรงดัน และวงจรกำเนิดความถี่

วงจรกำเนิดความถี่ของคอนเวอเตอร์ชนิดนี้ถูกกำหนดตายตัวที่ 100 เฮิรตซ์ ด้วยคริสตอลเพื่อหลีกเลี่ยงปัญหาเนื่องจากแรงดันและอุณหภูมิแปรเปลี่ยน ที่อาจทำให้ความถี่ของวงจรเปลี่ยนแปลง

สำหรับส่วนของวงจรควบคุมแรงดันนั้นจะทำงานประสานกับวงจรควบคุมแรงดัน เพื่อปรับให้แรงดันเอาต์พุตอยู่ในสภาวะปกติตลอดเวลา หากวงจรตรวจจับแรงดันเอาต์พุตด้วยแสงซาร์คูหรือบัพฟองก็จะมีซีเซอร์คอยเตือนเพื่อให้มาแก้ไขในส่วนนี้ให้เรียบร้อยก่อนจะนำไปใช้งานอีก

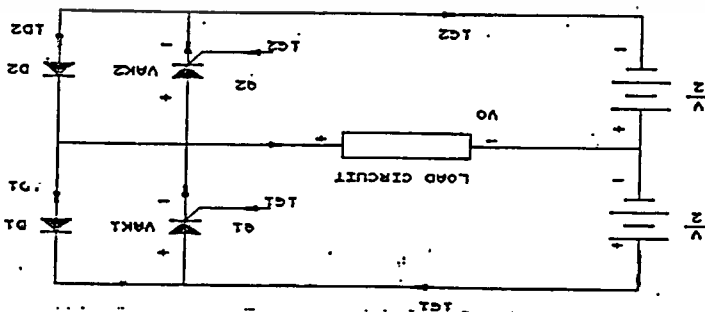
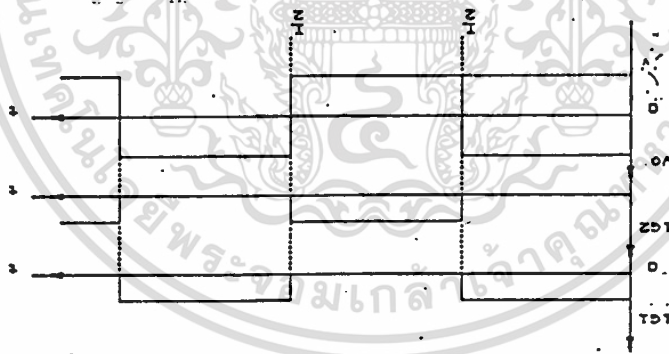


เอกสารนี้เป็นเอกสารที่ 2.1 บล็อกไดอะแกรมแสดงการทำงานของคอนเวอเตอร์ไปใช้ประโยชน์ด้านการค้า  
ไม่ว่ากรณีใดๆทั้งสิ้น อีกทั้งห้ามมิให้ตัดแปลงเนื้อหา และต้องอ้างอิงถึงเจ้าของเอกสารทุกครั้งที่มีการนำไปใช้

## 2.2 ชนิดของคอนเวอร์เตอร์

สิ่งสำคัญของวงจรคอนเวอร์เตอร์ที่ใช้เอสซีอาร์เป็นอุปกรณ์หลักก็คือ วิธีการทำให้เอสซีอาร์หยุดนำกระแสซึ่งจะกล่าวถึงในหัวข้อต่อไป วงจรคอนเวอร์เตอร์มีด้วยกันหลายแบบหลายชนิด แต่ในเบื้องต้นนี้จะกล่าวถึงวงจรคอนเวอร์เตอร์แบบต่าง ๆ ที่ไม่มีอุปกรณ์ที่จะทำให้เอสซีอาร์หยุดนำกระแส ที่เรียกว่า วงจรคอมมูเตชัน (commutation circuit) โดยพิจารณาแรงดันเอาต์พุตขณะที่โหลด เป็นความต้านทานอย่างเดี่ยว ซึ่งสามารถแบ่งออกได้ดังนี้

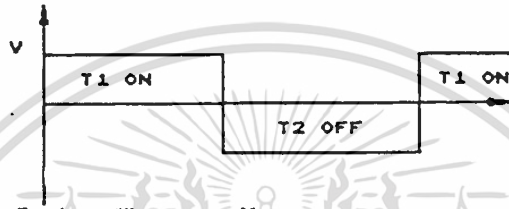
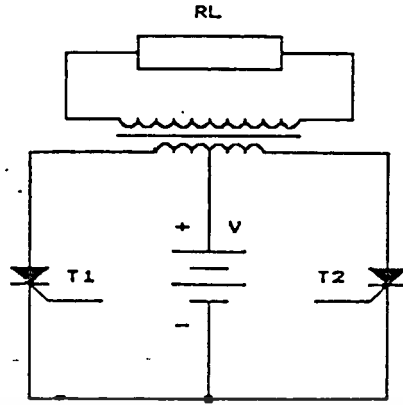
1. คอนเวอร์เตอร์ชนิด 1 เฟส ที่ใช้แหล่งจ่ายไฟกระแสตรงที่มีจุดกึ่งกลาง (single-phase center-tapped supply converter) ดังแสดงในรูป 2.2
2. คอนเวอร์เตอร์ชนิด 1 เฟส โดยที่โหลดมีจุดกึ่งกลาง (single-phase center tapped load converter) เอสซีอาร์แต่ละตัวจะผลิตคลื่นนำกระแส และหยุดนำกระแสตัวละครึ่งไซเคิล ดังแสดงวงจรในรูป 2.3
3. คอนเวอร์เตอร์ชนิด 1 เฟส แบบบริดจ์ (single-phase bridge converter) ดังแสดงวงจรในรูป 2.4
4. คอนเวอร์เตอร์ชนิด 3 เฟส แบบบริดจ์ (three-phase bridge converter) ดังแสดงในรูป 2.5



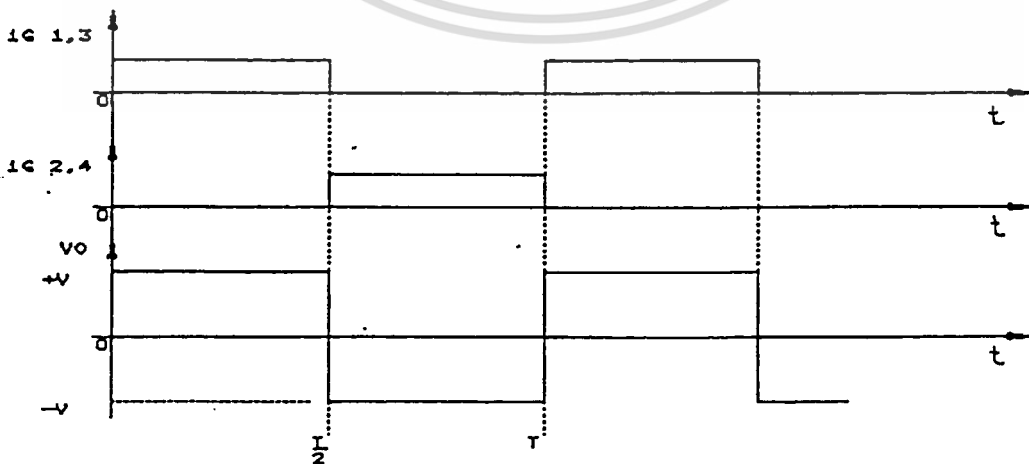
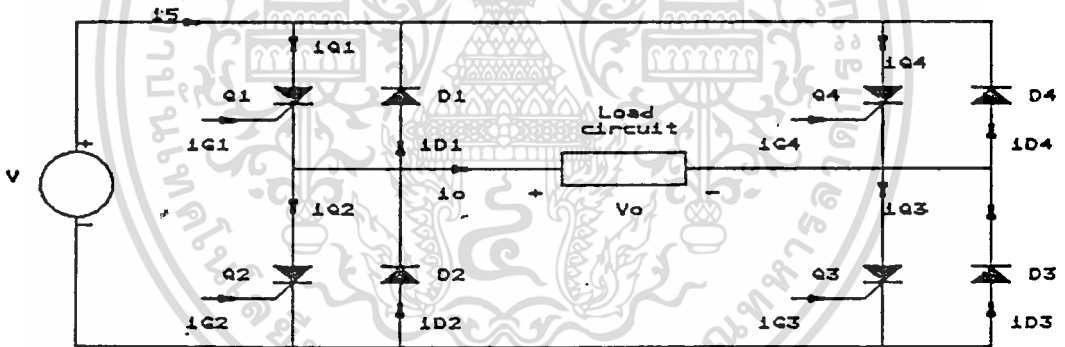
รูปที่ 2.2 SINGLE-PHASE CENTER-TAPPED SUPPLY CONVERTER

เอกสารนี้เป็นทรัพย์สินของมหาวิทยาลัยเทคโนโลยีพระจอมเกล้าธนบุรี ไม่อนุญาตให้เผยแพร่หรือใช้ประโยชน์ด้านการค้า

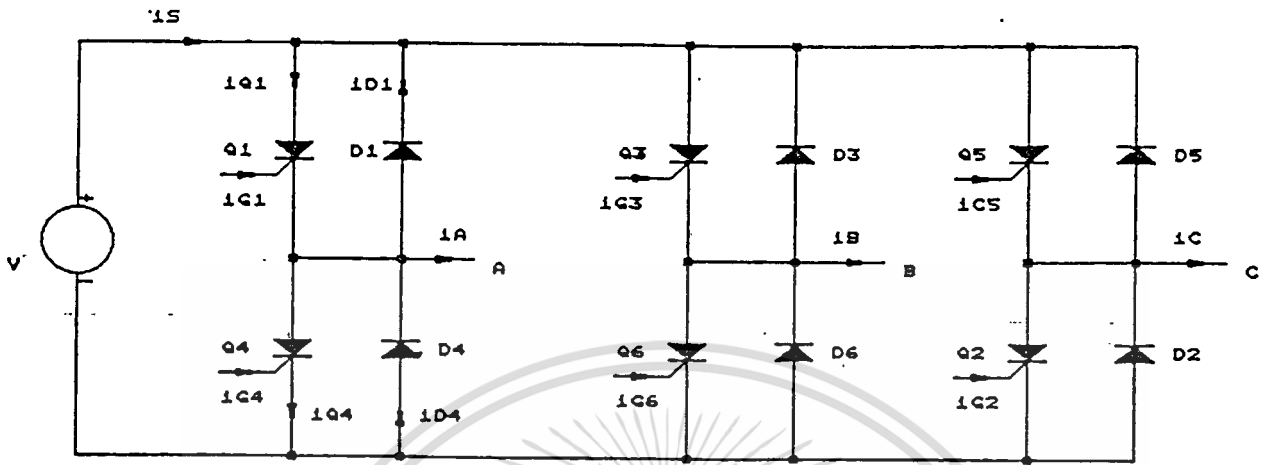
ไม่ว่ากรณีใดๆทั้งสิ้น อีกทั้งห้ามมิให้ดัดแปลงเนื้อหา และต้องอ้างอิงถึงเจ้าของเอกสารทุกครั้งที่มีการนำไปใช้



รูปที่ 2.3 (single-phase center-tapped load converter)



เอกสารนี้เป็นเอกสารที่สงวนลิขสิทธิ์ของมหาวิทยาลัยเทคโนโลยีพระจอมเกล้าเจ้าคุณทหารลาดกระบัง  
รูปที่ 2.4 (single-phase bridge converter)  
ไม่ว่ากรณีใดๆทั้งสิ้น อีกทั้งห้ามมิให้ตัดแปลงเนื้อหา และต้องอ้างอิงถึงเจ้าของเอกสารทุกครั้งที่มีการนำไปใช้



รูป 2.5 Three-phase bridge converter

เมื่อโวลตจของคอนเวอร์เตอร์เปลี่ยนแปลงไป กระแสในเอสซีอาร์ และไดโอดจะเปลี่ยนแปลงไป ด้วย โดยพิจารณาจากวงจรรูป 2.3 นำมาเขียน equivalent circuit ได้ดังแสดงในรูป 2.6 (ก)

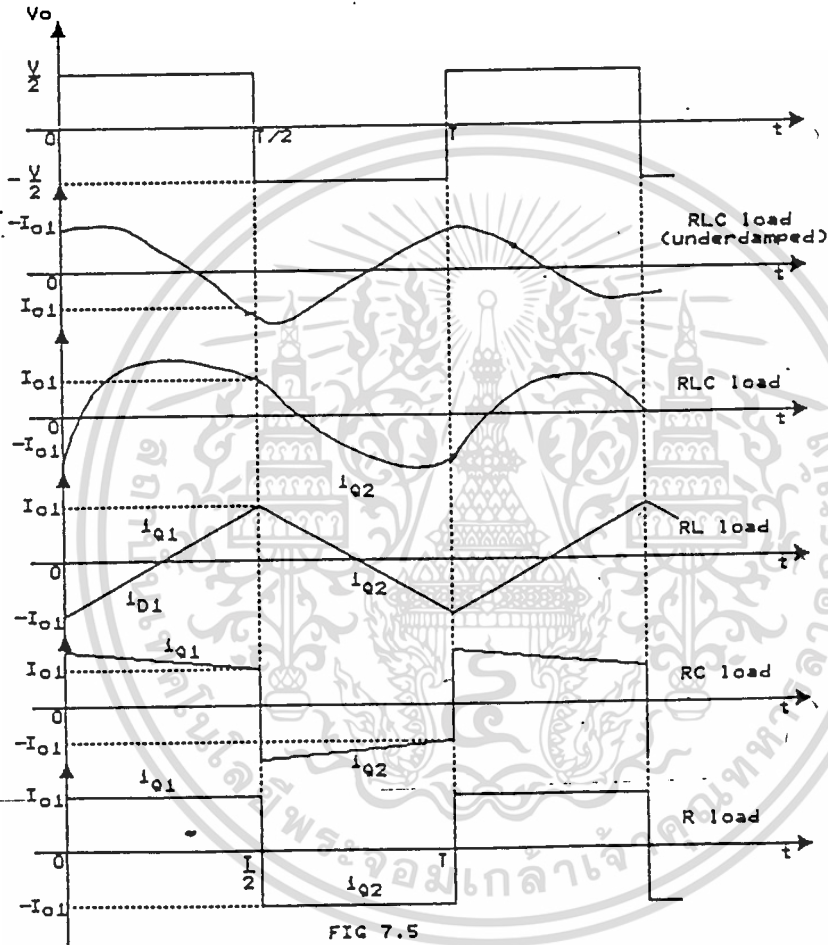
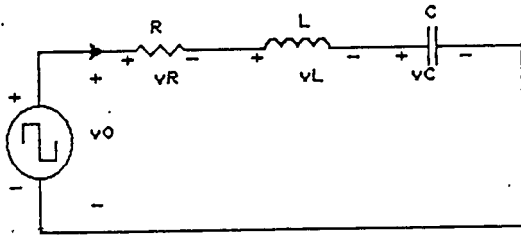


FIG 7.5

รูป 2.6 Equivalent Circuit

ในรูป 2.6 (ค) เป็นกรณีที่โหลดเป็น RLC ที่ต่ออยู่ในลักษณะ underdamped คือเมื่อทริกให้เอสซีอาร์  $Q_1$  ให้นำกระแส กระแสที่ไหลผ่านโหลดจะเพิ่มขึ้น และตกเป็นศูนย์ จะทำให้เอสซีอาร์  $Q_1$  หยุดนำกระแส ซึ่งเรียกกันว่า โหลดทำให้เอสซีอาร์ หยุดนำกระแส (load commutation) แล้วจึงต่อทริกให้เอสซีอาร์  $Q_2$  นำกระแสก็จะได้สัญญาณของแรงดันเอาต์พุตตามรูป 2.6 (ข)

เอกสารนี้เป็นเอกสารที่สงวนไว้สำหรับการใช้งานเพื่อการศึกษาเท่านั้น ไม่อนุญาตให้นำไปใช้ประโยชน์ด้านการค้า ไม่ว่าจะกรณีใดๆทั้งสิ้น อีกทั้งห้ามมิให้ดัดแปลงเนื้อหา และต้องอ้างอิงถึงเจ้าของเอกสารทุกครั้งที่มีการนำไปใช้



ในรูป 2.6 (ง) โหลดเป็น RLC ซึ่งอยู่ในลักษณะ overdamped

ในรูป 2.6 (จ) โหลดเป็นอินดักทีฟโหลด (RL load)

ในรูป 2.6 (ฉ) โหลดเป็นคาปาซิทีฟโหลด (RC load)

ในรูป 2.6 (ช) โหลดเป็นความต้านทาน

เป็นวงจรที่เมื่อทริกให้เอสซีอาร์นำกระแสแล้ว กระแสไหลผ่านโหลดหรือไหลผ่านเอสซีอาร์ ไม่ลดลงสู่ศูนย์ จึงจำเป็นต้องมีวงจรคอมมูเตชันมาบังคับให้เอสซีอาร์หยุดนำกระแส เรียกว่า Forced commutation จึงจะสามารถทริกให้เอสซีอาร์อีกตัวนำกระแส

### 2.3 วงจรคอนเวอร์เตอร์แบบขนาน (Parallel converter)

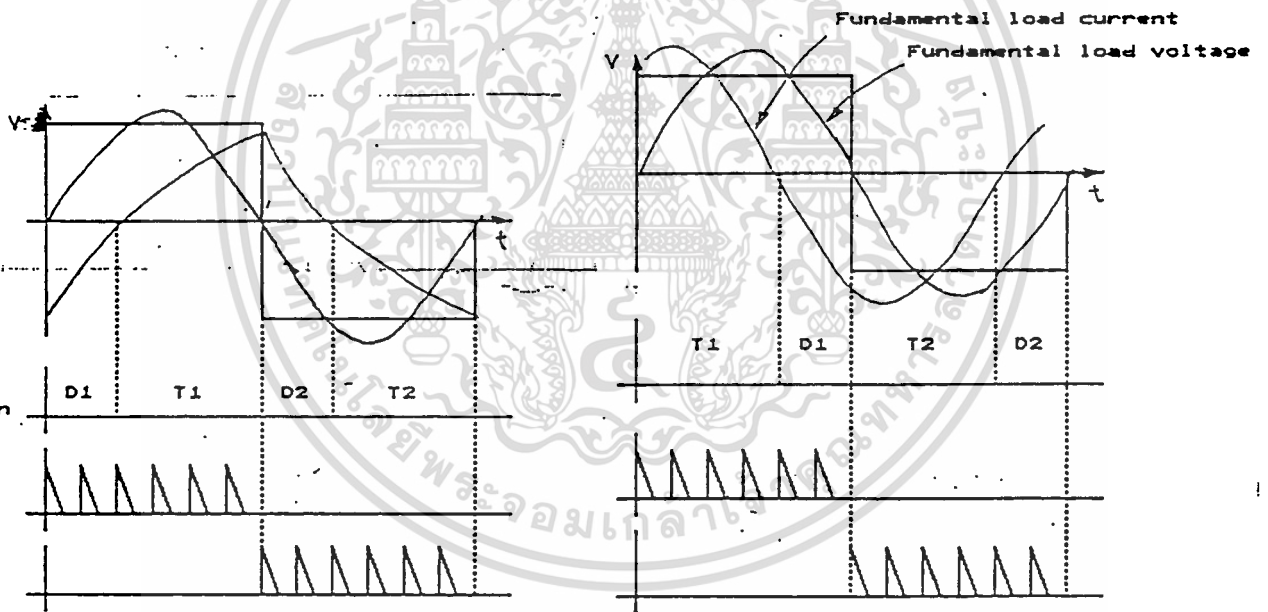
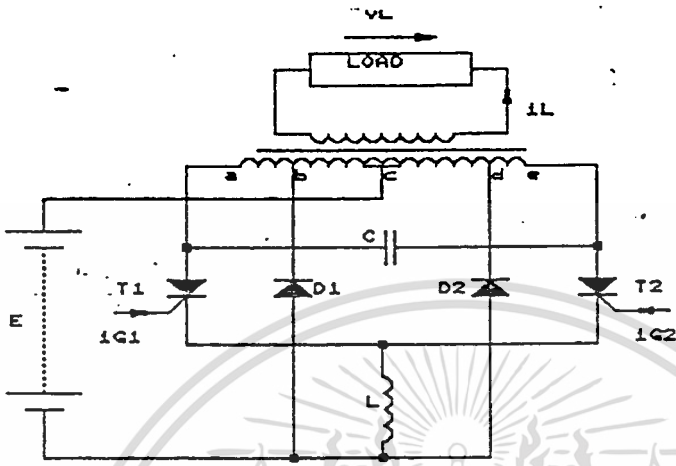
การแปลงไฟกระแสตรงเป็นไฟฟ้ากระแสสลับ โดยใช้หม้อแปลงที่มีจุดกึ่งกลาง ดังแสดงในรูป 2.7 เรียกว่า วงจรคอนเวอร์เตอร์แบบขนาน (Parallel converter) เอสซีอาร์ทั้งสองจะผลัดกันนำกระแส เพื่อต่อแหล่งจ่ายไฟกระแสตรงเข้ากับขดปฐมภูมิทั้งสองของหม้อแปลง ซึ่งจะทำให้เกิดแรงดันรูปสี่เหลี่ยมผืนผ้ารวม โหลดที่ต่ออยู่ทางด้านขดทุติยภูมิ

การทำงานของวงจร คือ เมื่อเอสซีอาร์  $T_1$  ถูกทริกให้นำกระแส แรงดันไฟฟ้ากระแสตรง  $E$  จะตกคร่อมครึ่งหนึ่งของขดปฐมภูมิ ซึ่งจะทำให้ขดปฐมภูมิทั้งหมดมีแรงดัน  $2E$  เมื่อทำการทริกให้เอสซีอาร์  $T_2$  นำกระแสเอสซีอาร์  $T_1$  จะได้รับรีเวิร์สไบอัส ค่าเท่ากับ  $2E$  และกระแสที่ไหลผ่านเอสซีอาร์  $T_1$  ก็จะลดลงเป็นศูนย์โดยมีระยะเวลาสั้นกว่า turn-off-time ของเอสซีอาร์  $T_1$  ดังนั้น เอสซีอาร์  $T_1$  ก็จะหยุดนำกระแส ซึ่งคาปาซิเตอร์จะต้องขนานกับโหลด หรือหม้อแปลง โดยที่อินดักเตอร์  $L$  ที่ต่ออนุกรมกับแหล่งจ่ายไฟตรงจะป้องกันไม่ให้คาปาซิเตอร์  $C$  คายประจุสู่แหล่งจ่ายไฟกระแสตรง เมื่อเอสซีอาร์เริ่มนำกระแส ในระหว่างคอมมูเตชันอัตราการเปลี่ยนแปลงของกระแสมีค่าสูงมาก จึงนิยมใช้อินดักเตอร์ต่ออนุกรมกับคาปาซิเตอร์ เพื่อลดอัตราการเปลี่ยนแปลงของกระแสต่อเวลาสูง ทำให้กระแสที่ไหลผ่าน SCR ลดลง

สำหรับโหลดที่ไม่ใช่เป็นความต้านทานอย่างเดียว กระแสที่ไหลผ่านโหลดจะเกิดความต่าง phase กับแรงดัน ซึ่งต้องต่อไดโอดอีก 2 ตัว ดังแสดงในรูป 2.8 (ก) เพื่อจะจ่ายพลังงานที่สะสมในโหลดกลับคืนระหว่างช่วงเวลาที่กระแสไหลกลับเป็นบวก เมื่อแรงดันเอาต์พุตเปลี่ยนแปลงเป็นลบ

เมื่อโหลดเป็นอินดักทีฟโหลด กระแสไหลจะเพิ่มขึ้นและลดลงดังแสดงในรูป 2.8 (ข) เมื่อเอสซีอาร์  $T_1$  นำกระแส กระแสจะไหลจาก  $c$  ไป  $a$  โดยที่แรงดันที่  $c$  เป็นบวกเมื่อเทียบกับ  $a$  พลังงานจะถูกจ่ายให้โหลด และเมื่อเอสซีอาร์  $T_2$  ถูกทริกให้นำกระแส แรงดันที่โหลดเปลี่ยนกลับ เอสซีอาร์  $T_1$  จะหยุดนำกระแสแต่โหลดไม่สามารถไหลกลับทันทีทันใด ดังนั้น ทิศทางการไหลของกระแสในขดปฐมภูมิจะไม่เปลี่ยนแปลงขณะที่เอสซีอาร์  $T_2$  หยุดนำกระแส กระแสจะไหลจาก  $d$  ไป  $c$  โดยผ่านไดโอด  $D_2$  นำกระแส เอสซีอาร์  $T_2$  จะหยุดนำกระแส แรงดันที่จุด  $d$  เป็นลบ เมื่อเทียบกับ  $c$  ซึ่งหมายความว่าพลังงานถูกจ่ายกลับจากโหลดสู่แหล่งจ่ายไฟกระแสตรง





รูปที่ 2.8 Center-tapped load converter with feedback diode  
(ข) โหลดเป็นอินดักทีฟโหลด (ค) โหลดเป็นคาปาซิทีฟโหลด

เอกสารนี้เป็นเอกสารที่สงวนไว้สำหรับการใช้งานเพื่อการศึกษาเท่านั้น ไม่อนุญาตให้นำไปใช้ประโยชน์ด้านการค้า  
ไม่ว่ากรณีใดๆทั้งสิ้น อีกทั้งห้ามมิให้ดัดแปลงเนื้อหา และต้องอ้างอิงถึงเจ้าของเอกสารทุกครั้งที่มีการนำไปใช้

ในรูป 2.8 (ข) ที่เวลา  $t_2$  กระแสไหลจะตกลงสู่ศูนย์ ไดโอด  $D_2$  จะหยุดนำกระแส และ  
 เอสซีอาร์  $T_2$  จะนำกระแสแทน กระแสไหลจะไหลกลับเป็นลบ และพลังงานจะจ่ายเข้าสู่โหนดเพื่อจะให้  
 แน่ใจว่า เอสซีอาร์  $T_2$  จะนำกระแสที่เวลา  $t_2$  สัญญาณทริกที่จ่ายเข้าเกตของเอสซีอาร์จะต้องเป็นพัลส์  
 ต่อเนื่อง การทำงานจะเหมือนกับครึ่งไซเคิลแรก เมื่อเริ่มทริกเอสซีอาร์  $T_1$  เพื่อให้ เอสซีอาร์  $T_2$  หยุด  
 นำกระแส กระแสจะเปลี่ยนไปไหลผ่านไดโอด  $D_{1,4}$  และเอสซีอาร์  $T_1$  จึงนำกระแส Feedback diode  
 $D_1$  และ  $D_2$  สามารถต่อที่ขั้วปลายของขดปฐมภูมิ แต่จะเกิดการสูญเสียของพลังงาน ขณะคอมมูเตชันใน  
 อินดักเตอร์  $L$  ในการต่อไดโอดนี้ห่างจากขั้วปลายของปฐมภูมิ พลังงานที่สะสมใน  $L$  จะได้กลับคืนสู่แหล่ง  
 จ่ายไฟหลังจากคอมมูเตชันแล้ว ดังนั้นจะลดการสูญเสียในการคอมมูเตชันลง

เมื่อโหนดมีสภาวะเพาเวอร์แฟคเตอร์ leading สัญญาณต่าง ๆ แสดงในรูป 2.8 (ค)  
 กระแสจะเปลี่ยนแปลงสู่ไดโอดที่  $t_3$  และ  $t_4$  ก่อนเอสซีอาร์จะถูกทริกให้จ่ายแรงดันกลับทิศทางแก์โหนด  
 ในทางปฏิบัติสัญญาณจะไม่เป็น sinewave ที่แสดงในรูป 2.8 (ค) เป็นการแสดงพื้นฐานการทำงานที่  
 เพาเวอร์แฟคเตอร์ leading

**ข้อดีของคอนเวอร์เตอร์แบบขนาน (parallel converter)**

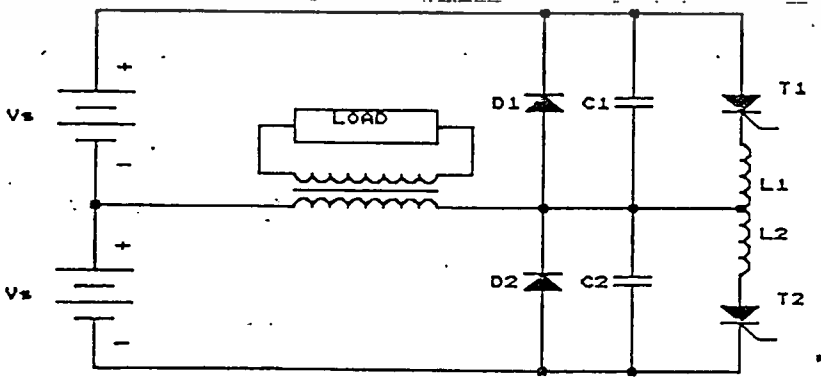
1. เป็นวงจรที่ใช้วงจรคอมมูเตชันอย่างง่าย
2. สามารถทำให้เอาท์พุทเป็น sinusoidal โดยใช้วงจรฟิลเตอร์ช่วย

**ข้อเสียของคอนเวอร์เตอร์แบบขนาน**

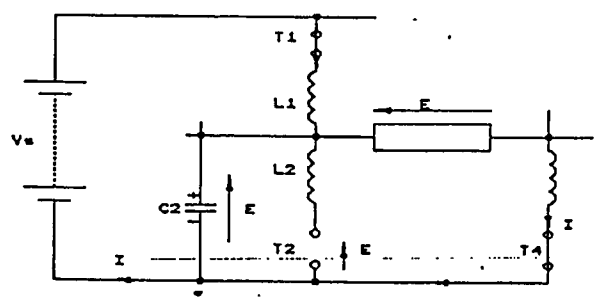
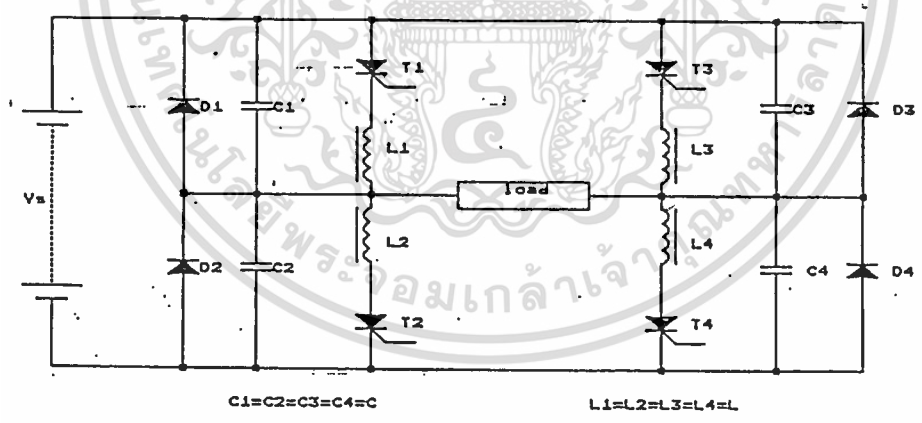
1. ค่าของ  $L$  และ  $C$  จะมีค่ามาก และไม่เหมาะสำหรับในงานที่ใช้พลังงานสูง ๆ
2. วงจรนี้เหมาะสมเมื่อโหนดคงที่ เมื่อเปลี่ยนแปลงโหนดสัญญาณเอาท์พุทจะเปลี่ยนแปลงไม่คงที่  
 เมื่อแรงดันเปลี่ยนแปลงจึงไม่สะดวกต่อการออกแบบ

**2.4 McMurry Bedford Converter**

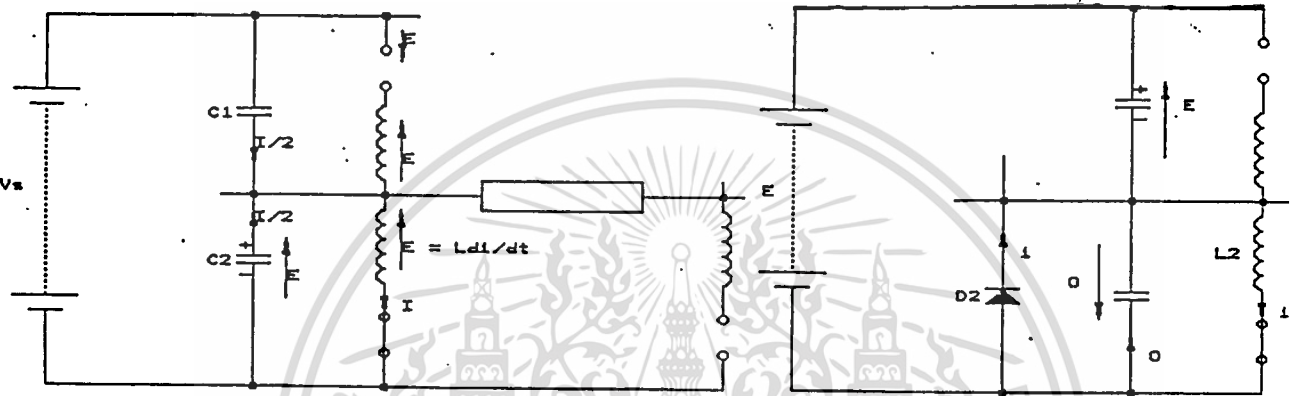
วงจรในรูป 2.9 (ก) เป็นวงจร McMurry Bedford Converter แบบ center-tapped supply



ในรูป 2.9 (ก) เมื่อเอสซีอาร์  $T_1$  ถูกทริกให้น่ากระแส คาปาซิเตอร์  $C_2$  ถูกประจุให้มีแรงดันทางด้านบนเป็นบวก มีค่าเป็น 2 เท่าของค่า  $V$  ในการทำให้เอสซีอาร์  $T_1$  หยุดนำกระแสจะต้องทริกให้เอสซีอาร์  $T_2$  นำกระแส ในการที่เอสซีอาร์  $T_2$  ในการที่เอสซีอาร์  $T_2$  นำกระแสคาปาซิเตอร์  $C_2$  จะคายประจุผ่านขดลวด  $L_2$  กับเอสซีอาร์  $T_2$  และไหลลงแรงดัน  $2V$  ที่ประจุในคาปาซิเตอร์  $C_2$  จะปรากฏคร่อมขดลวด  $L_2$  เนื่องจาก  $L_1$  และ  $L_2$  พันอยู่ในแกนเดียวกัน และมีการ coupling กันอย่างดี แรงดัน  $2V$  จะเกิดคร่อม  $L_1$  และทำให้เอสซีอาร์  $T_1$  ได้รับวีโวลต์สไป๊ส เอสซีอาร์  $T_1$  จึงหยุดนำกระแส คาปาซิเตอร์  $C_2$  จะคายประจุ และคาปาซิเตอร์  $C_1$  จะถูกประจุด้วยอัตราที่เท่ากัน แต่ไหลในทิศทางตรงข้ามกัน แรงดันคร่อมคาปาซิเตอร์  $C_2$  ลดลง แรงดันคร่อม  $L_2$  และ  $L$  ลดลง แรงดันคร่อม  $C_1$  จะเพิ่มขึ้นเป็น  $2V$  ขณะที่แรงดันคร่อม  $C_2$  เป็นศูนย์ ถ้าไดโอด  $D_2$  ถูกต่อที่จุดต่อของ  $L_1$  และ  $L_2$  จะเกิดกระแสไหลวนใน  $D_2$ ,  $L$  และ  $T_2$  จะสูญเสียพลังงานเป็นความร้อนไป แต่ถ้าไดโอด  $D_2$  ถูกต่อในเขตของหม้อแปลงดังแสดงในรูป พลังงานนี้จะถูกจ่ายกลับสู่แหล่งจ่ายไฟตรง จนกระทั่งกระแสไหลกลับ ในกรณีของอินดิคทีฟโหลด พลังงานที่สะสมในโหลดที่เวลาสุดท้ายของครึ่งไซเคิลจะถูกป้อนกลับสู่แหล่งจ่ายไฟกระแสตรงที่จุดเริ่มต้นของครึ่งไซเคิลต่อไปและในกรณีของคาปาซิทีฟโหลด พลังงานที่สะสมในโหลดที่จุดเริ่มต้นของครึ่งไซเคิลจะถูกป้อนกลับสู่แหล่งจ่ายไฟที่จุดสุดท้ายของครึ่งไซเคิลเดียวกัน ถ้าไม่ต้องการให้ประสิทธิภาพสูงแทนที่จะต่อไดโอดที่ขดหม้อแปลง อาจต่อที่จุดต่อของ  $L_1$  และ  $L_2$  และต่อความต้านทาน เพื่อให้พลังงานสูญเสียไปเป็นความร้อน



เอกสารนี้เป็นเอกสารที่ส่ง รูป 2.10 ก MC MURRAY BEDFORD CONVERTER ให้นำไปใช้ประโยชน์ด้านการค้า  
ไม่ว่ากรณีใดๆทั้งสิ้น อีกทั้งห้ามมิให้ดัดแปลงเนื้อหา และต้องอ้างอิงถึงเจ้าของเอกสารทุกครั้งที่มีการนำไปใช้



รูปที่ 2.10 ข McMurray-Bedford Converter

ในรูป 2.10 ก แสดงคอนเวอร์เตอร์ McMurray Bedford ที่ต่อแบบบริดจ์ถ้าเอสซีอาร์  $T_1$  และ  $T_2$  ถูกทริกให้นำกระแส เมื่อให้เอสซีอาร์  $T_2$  นำกระแสจะทำให้เอสซีอาร์  $T_1$  หยุดนำกระแส แต่ถ้าเอสซีอาร์  $T_3$  และ  $T_2$  ถูกทริกให้นำกระแสพร้อมกันแล้ว เอสซีอาร์  $T_1$  และ  $T_4$  จะหยุดนำกระแสพร้อมกัน แรงดันไฟฟ้าจากแหล่งจ่ายไฟจะจ่ายแรงดันในทิศทางกลับแก่โหลด

การทำงานในช่วงระหว่างคอมมูเตชันจากรูป 2.9 (ข) แสดงสภาวะที่เอสซีอาร์  $T_1$  และ  $T_4$  ถูกทริกให้นำกระแส คาปาซิเตอร์  $C_2$  จะถูกประจุจนมีแรงดัน  $V_c$  และพลังงานที่สะสมใน  $L_1$  คือ  $1/2 LI^2$  เมื่อทำการทริกให้เอสซีอาร์  $T_2$  นำกระแสดังแสดงสภาวะในรูป 2.9 (ค) เอสซีอาร์  $T_1$  จะได้รับรีเวอร์ไบอัส ทำให้เอสซีอาร์  $T_1$  หยุดนำกระแส

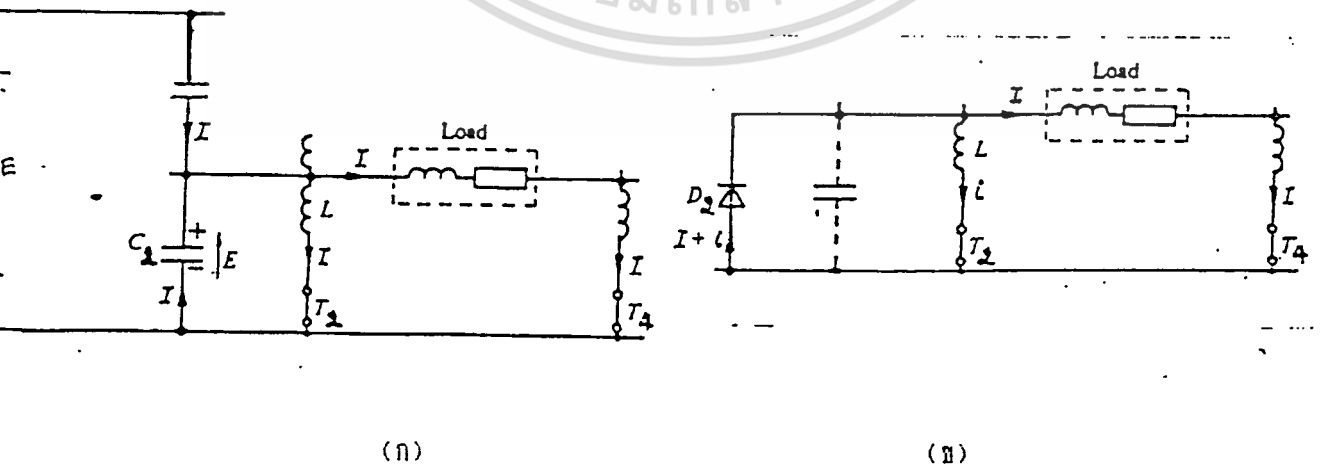
เอกสารนี้เป็นเอกสารที่สงวนไว้สำหรับการใช้งานเพื่อการศึกษาเท่านั้น ไม่อนุญาตให้นำไปใช้ประโยชน์ด้านการค้า  
ไม่ว่ากรณีใดๆทั้งสิ้น อีกทั้งห้ามมิให้ดัดแปลงเนื้อหา และต้องอ้างอิงถึงเจ้าของเอกสารทุกครั้งที่มีการนำไปใช้

กระแสที่ไหลในวงจรดังแสดงในรูป 2.10 (ง) ในช่วงเวลาที่เอสซีอาร์  $T_2$  ถูกทริกให้นำกระแสพลังงานที่สะสมอยู่ในรูปของสนามแม่เหล็กใน  $L_1$  และ  $L_2$  ไม่สามารถเปลี่ยนแปลง จึงทำให้กระแส  $I$  ซึ่งไหลใน  $L_1$  เปลี่ยนไปสู่  $L_2$  เพื่อรักษาระดับพลังงาน  $1/2 LI^2$  โหลดเป็นความต้านทาน กระแส  $I$  จะไหลจากคาปาซิเตอร์  $C_1$  และ  $C_2$  เท่า ๆ กัน ซึ่งเริ่มต้น oscillation กับ  $L_2$  ด้วยความถี่

$$f = \frac{1}{2 LC}$$

เมื่อแรงดันคร่อมคาปาซิเตอร์  $C_2$  ลดลงเหลือ  $1/2 V_{cs}$  แอนโอดของเอสซีอาร์  $T_1$  จะเริ่มเป็นบวก ดังนั้นเวลานับจากทริกให้เอสซีอาร์  $T_2$  นำกระแสจนถึงเวลาที่แรงดันคร่อม  $C_2$  ลดเหลือ  $1/2 V_{cs}$  จะต้องมากกว่า turn-off time ของเอสซีอาร์ มิฉะนั้นเอสซีอาร์  $T_1$  และ  $T_2$  จะนำกระแสพร้อมกัน จะทำให้เกิดการลัดวงจรถ้าไม่มีไดโอด การ oscillation จะทำให้แรงดันคร่อมคาปาซิเตอร์  $C_1$  มากกว่า  $2V_{cs}$  แต่เมื่อมีไดโอด  $D_2$  จะเป็นการป้องกันไม่ให้แรงดันคร่อมคาปาซิเตอร์  $C_2$  กลับทิศทางและกระแสใน  $L_2$  จะลดลง ในรูป 2.10 (ง) แสดงขณะคาปาซิเตอร์  $C_1$  ประจุสู่แรงดัน  $V_{cs}$  กระแสในเอสซีอาร์  $T_2$  จะลดลงสู่ศูนย์ เนื่องจากการสูญเสียในไดโอด  $D_2$  และ  $L_2$

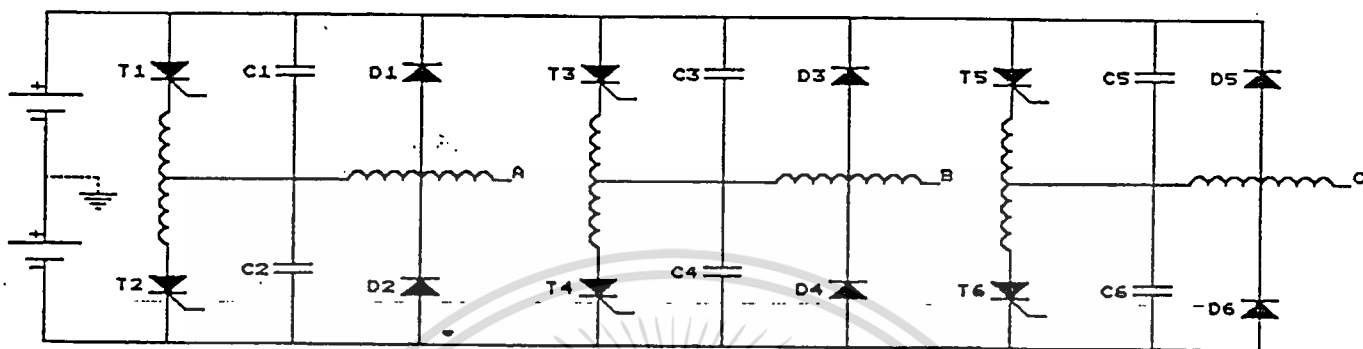
โดยทั่วไปโหลดจะเป็นอินดักทีฟโหลด ซึ่งจะมีอินดักแตนซ์มากกว่า  $L_1, L_2$  (ซึ่งเป็นวงจรคอมมูเตชัน) ในกรณีนี้กระแสไหล  $I$  จะไหลต่อเนื่อง ทำให้มีกระแสไหลดังแสดงในรูป 2.11 (ก) ช่วงเวลาที่หลังจากเอสซีอาร์  $T_2$  ถูกทริกให้นำกระแส กระแสที่เกิดจากการคายประจุของคาปาซิเตอร์  $C_2$  จะเป็น 2 เท่ากับในกรณี 2.10 (ค) ในขณะที่คาปาซิเตอร์จ่ายกระแสสู่เอสซีอาร์  $T_2$  และโหลด โดยสมมุติว่ากระแสไหลไม่เปลี่ยนแปลงในช่วงของการคอมมูเตชัน เมื่อไดโอด  $D_2$  เริ่มต้นนำกระแส สภาวะจะเป็นดังเช่นในรูป 2.11 (ข) กระแสไหลในเอสซีอาร์  $T_2$  ที่ลดลง และกระแสไหลที่ไหลผ่านเอสซีอาร์  $T_4$  จะไหลผ่านไดโอด  $D_2$  ซึ่งขณะนี้แรงดันคร่อมโหลดจะเป็นศูนย์



รูป 2.11 สภาวะขณะเกิดคอมมูเตชันให้เอสซีอาร์หยุดนำกระแส

เอกสารนี้เป็นเอกสารที่สงวนไว้สำหรับกรณีที่เกิดเป็นอินดักทีฟโหลดนั้น ไม่นิยามให้นำไปใช้ประโยชน์ด้านการค้าไม่ว่ากรณีใดๆทั้งสิ้น อีกทั้งห้ามมิให้ตัดแปลงเนื้อหา และต้องอ้างอิงถึงเจ้าของเอกสารทุกครั้งที่มีการนำไปใช้

ในรูป 2.12 แสดงคอนเวอร์เตอร์ 3 เฟส แบบ McMurray Bedford ซึ่งมีการทำงานในช่วงคอมมูเตชันให้เอสซีอาร์หยุดนำกระแสเหมือนกับที่กล่าวมาแล้ว

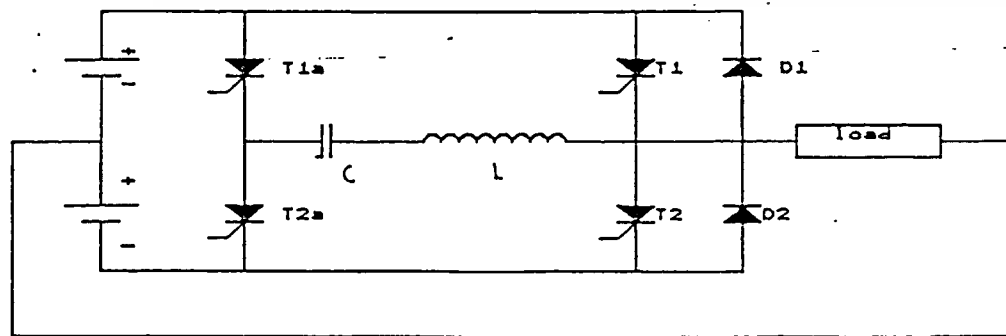


รูป 2.12 คอนเวอร์เตอร์ 3 เฟส แบบ McMurray Bedford

### 2.5 McMurray Converter

วงจรคอนเวอร์เตอร์แบบ McMurray แสดงในรูป 2.13 มีอยู่ด้วยกัน 2 แบบ

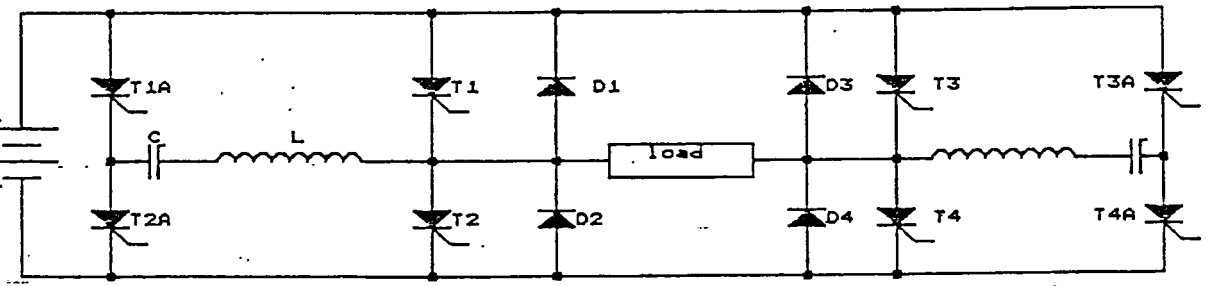
1. แบบแหล่งจ่ายไฟกระแสตรง มีจุดกึ่งกลางตั้งแสดงในรูป 2.13 (ก) เอสซีอาร์  $T_1$  และ  $T_2$  จะผลิตกันนำกระแสจ่ายไฟให้โหลด ไดโอด  $D_1$  และ  $D_2$  จะเป็นทางผ่านของกระแสที่ป้อนกลับสู่แหล่งจ่ายไฟเมื่อโหลดเป็นอินดักทีฟโหลด การทำให้เอสซีอาร์หลัก  $T_2$  หยุดนำกระแส โดยการทริกให้เอสซีอาร์  $T_{1A}$  นำกระแส และในการทำให้เอสซีอาร์หลัก  $T_1$  หยุดนำกระแสก็โดยการทริกให้เอสซีอาร์  $T_{1A}$  นำกระแส
2. แบบบริดจ์ (bridge) ดังแสดงในรูป 2.13 (ข) ในการที่จะทำให้เอสซีอาร์  $T_1$ ,  $T_2$ ,  $T_3$  และ  $T_4$  หยุดนำกระแสโดยการทริกให้เอสซีอาร์  $T_{1A}$ ,  $T_{2A}$ ,  $T_{3A}$  และ  $T_{4A}$  นำกระแสตามลำดับ



เอกสารนี้เป็นเอกสารที่สงวนไว้สำหรับงานวิจัยเท่านั้น ไม่สามารถนำไปใช้ประโยชน์ด้านการค้า

รูป 2.13 (ก) McMurray Converter

ไม่ว่ากรณีใดๆทั้งสิ้น อีกทั้งห้ามมิให้ตัดแปลงเนื้อหา และต้องอ้างอิงถึงเจ้าของเอกสารทุกครั้งที่มีการนำไปใช้



รูปที่ 2.13 (ข) McMurray Converter

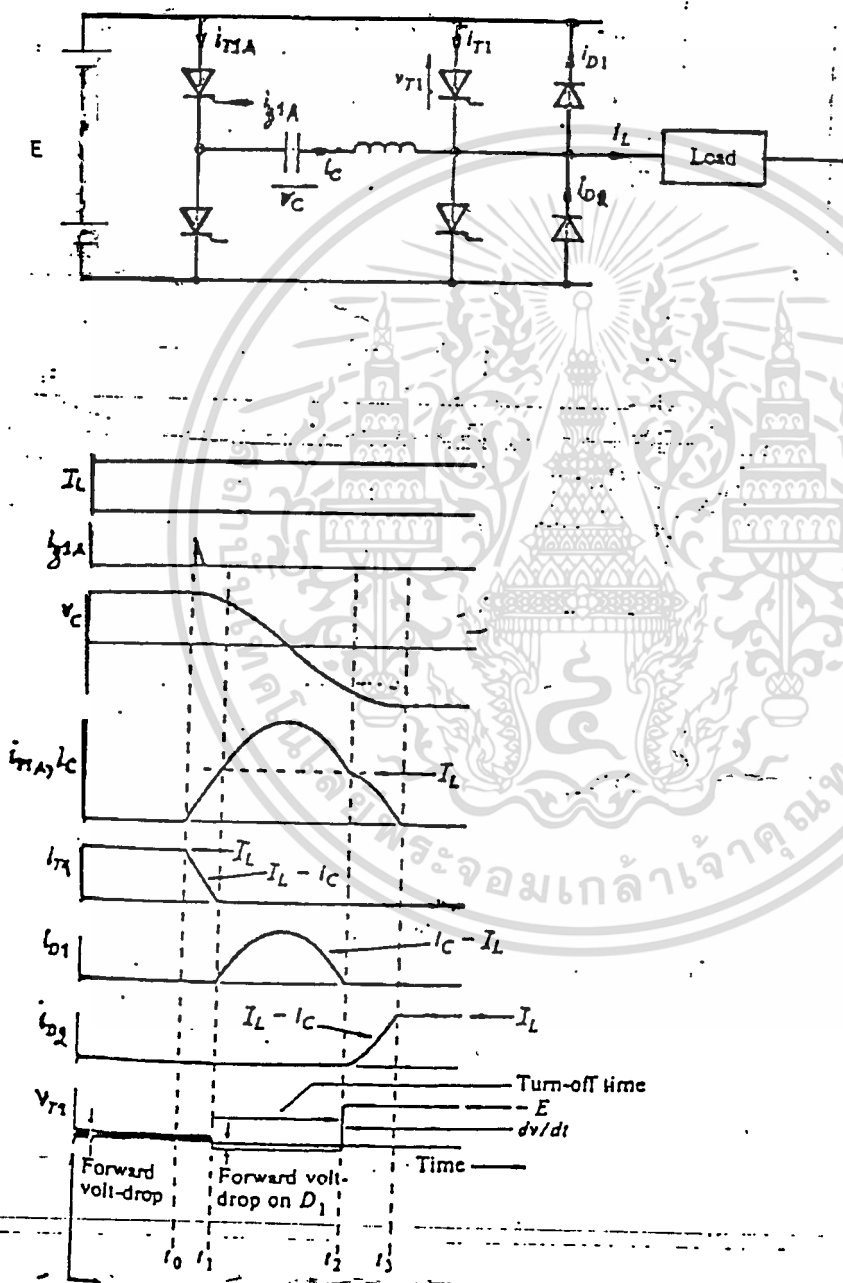
การทำงานของวงจรรูป 2.13 (ก) และ (ข) ในช่วงทำให้เอสซีอาร์หลักหยุดนำกระแสจะเหมือนกัน ในที่นี้จะกล่าวเฉพาะวงจรรูป 2.13 (ข) ทำการทริกให้เอสซีอาร์  $T_1$ ,  $T_{2A}$  และ  $T_4$  นำกระแส กระแสที่ไหลผ่านคาปาซิเตอร์และเอสซีอาร์  $T_{2A}$  จะลดลงเป็นศูนย์ เอสซีอาร์  $T_{2A}$  จะหยุดนำกระแส คาปาซิเตอร์จะประจุจนมีแรงดันเท่ากับ  $2V_{\theta}$  มีทิศทางดังแสดงในรูป 2.13 (ข) เอสซีอาร์  $T_1$  และ  $T_4$  ยังนำกระแสให้ผ่านโหลดอยู่ ในการทำให้เอสซีอาร์  $T_1$  หยุดนำกระแส สามารถทำได้โดยการทริกเอสซีอาร์  $T_{1A}$  ให้นำกระแสที่เวลา  $T_{\theta}$  ดังแสดงสัญญาณต่าง ๆ ในรูป 2.14 (ข) และตามสภาวะที่แสดงในรูป 2.15 (ก) คาปาซิเตอร์  $C_1$  จะคายประจุจนกระทั่งเวลา  $T_1$  กระแสจากการคายประจุของคาปาซิเตอร์  $C_1$  เท่ากับกระแสที่ไหลผ่านโหลด ซึ่งจะทำให้เอสซีอาร์  $T_1$  หยุดนำกระแส และจากการคายประจุของ  $C_1$  จะไหลต่อเนื่องจนมากกว่ากระแสที่ไหลเข้าโหลด จึงไหลเข้าสู่ไดโอด  $D_1$  ดังแสดงในรูป 2.15 (ข) หลังจากแรงดันคร่อมคาปาซิเตอร์มีทิศทางตรงข้าม กระแสไหลในคาปาซิเตอร์  $C_1$  จะลดต่ำกว่ากระแสที่ไหลในโหลด ไดโอด  $D_2$  จะหยุดนำกระแส และกระแสจะกลับมาไหลผ่านไดโอด  $D_2$  ดังแสดงในรูป 2.15 (ค) ดังนั้น  $L_1$  และ  $C_1$  จะต่อเข้ากับแหล่งจ่ายไฟตรง ทำให้คาปาซิเตอร์ประจุไฟจนมีแรงดันสูงขึ้น การคอมมูเตชันจะสมบูรณ์เมื่อกระแสไหลผ่านคาปาซิเตอร์เริ่มไหลกลับ ซึ่งจะทำให้เอสซีอาร์  $T_{1A}$  หยุดนำกระแสที่เวลา  $T_{\theta}$  และกระแสที่ไหลผ่านโหลดจะไหลเข้าสู่ไดโอด  $D_2$  แทน

ในกรณีที่โหลดเป็นอินดักทีฟโหลด เพื่อให้แน่ใจว่าจะเกิดการคอมมูเตชันอย่างแน่นอนจะต้องมีสัญญาณทริกให้เอสซีอาร์  $T_2$  นำกระแส ก่อนที่กระแสไหลในคาปาซิเตอร์จะลดลงต่ำกว่ากระแสที่ไหลผ่านโหลด หรือก่อนที่ไดโอด  $D_2$  จะนำกระแส สำหรับในกรณีไม่มีโหลดเอสซีอาร์  $T_2$  ก็จะถูกทริกให้นำกระแสและไดโอด  $D_2$  จะไม่มีกระแสไหลผ่าน

สภาวะการทำงานของวงจรรูป 2.14 (ก) สรุปได้ว่า  $i_c$  ต้องมีกระแสสูงสุดมากกว่ากระแส  $I_L$  และ turn-off-time ของเอสซีอาร์  $T_1$  จะต้องน้อยกว่าช่วงเวลาไดโอด  $D_1$  นำกระแส ซึ่งเป็นเวลาที่แรงดันคร่อมไดโอด  $D_1$  นำกระแส ซึ่งเป็นเวลาที่แรงดันคร่อมไดโอด  $D_1$  จ่ายรีเวอร์สไบอัส

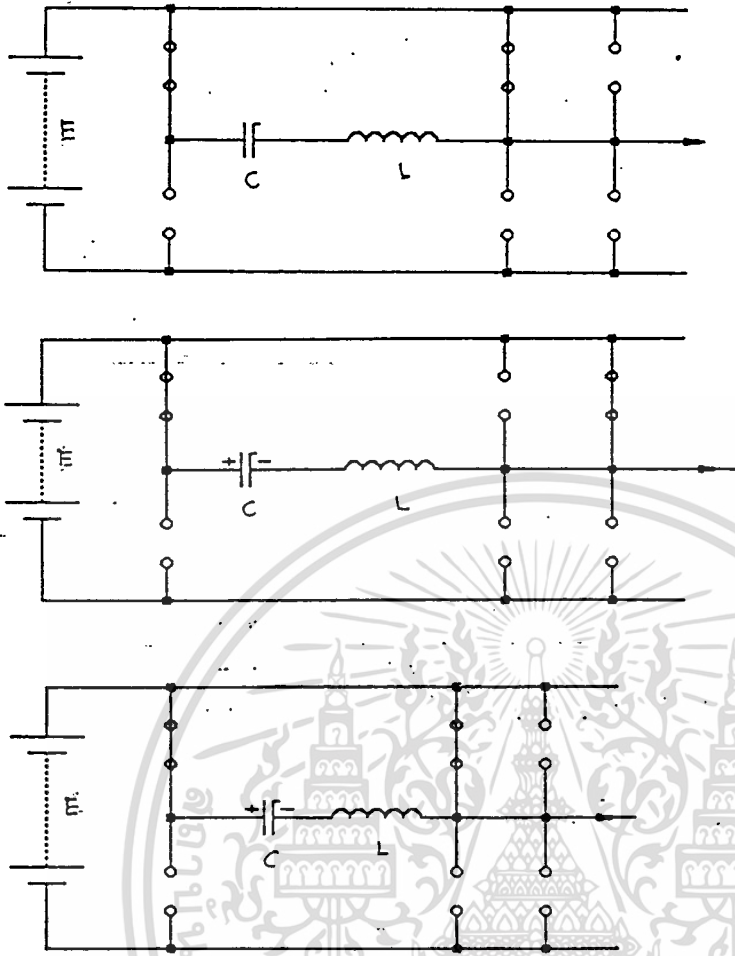
ไม่ว่ากรณีใดๆทั้งสิ้น อีกทั้งห้ามมิให้ดัดแปลงเนื้อหา และต้องอ้างอิงถึงเจ้าของเอกสารทุกครั้งที่มีการนำไปใช้

แก่อะซึอาร์ท  $T_1$  อัตราการเปลี่ยนแปลงของแรงดัน ( $dv/dt$ ) คร่อมอะซึอาร์ท  $T_1$  และ  $T_{1A}$  จะสูงมาก ในทางปฏิบัติจึงต้องมีวงจรมาลดอัตราการเปลี่ยนแปลงของแรงดันคร่อมอะซึอาร์ทลง ในกรณีที่กระแสไหลผ่านโหลดสูง ๆ จะมีกระแสซึ่งเปลี่ยนมาไหลผ่านไดโอด  $D_2$  เพื่อให้กระแสประจุเข้าคาปาซิเตอร์  $C$  มากขึ้น จะทำให้แรงดันประจุเข้าคาปาซิเตอร์เพิ่มสูงขึ้น ซึ่งจะทำการคอมมูเตชันในคราวต่อไปดีขึ้น

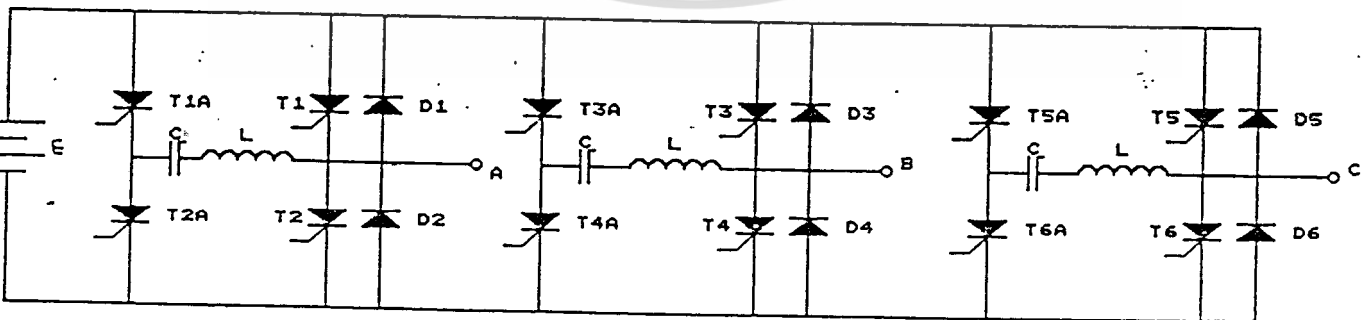


$T_1$  ON WITH C CHARGE BY THE PREVIOUS COMMUTATION

เอกสารนี้เป็นเอกสารที่สงวนลิขสิทธิ์ไว้สำหรับใช้ในงานวิจัยและการค้า  
 ไม่ว่าการตีพิมพ์นี้เป็นการให้คำปรึกษาหรือการรับประกันผลใด ๆ และต้องอ้างอิงถึงเจ้าของเอกสารทุกครั้งที่มีการนำไปใช้



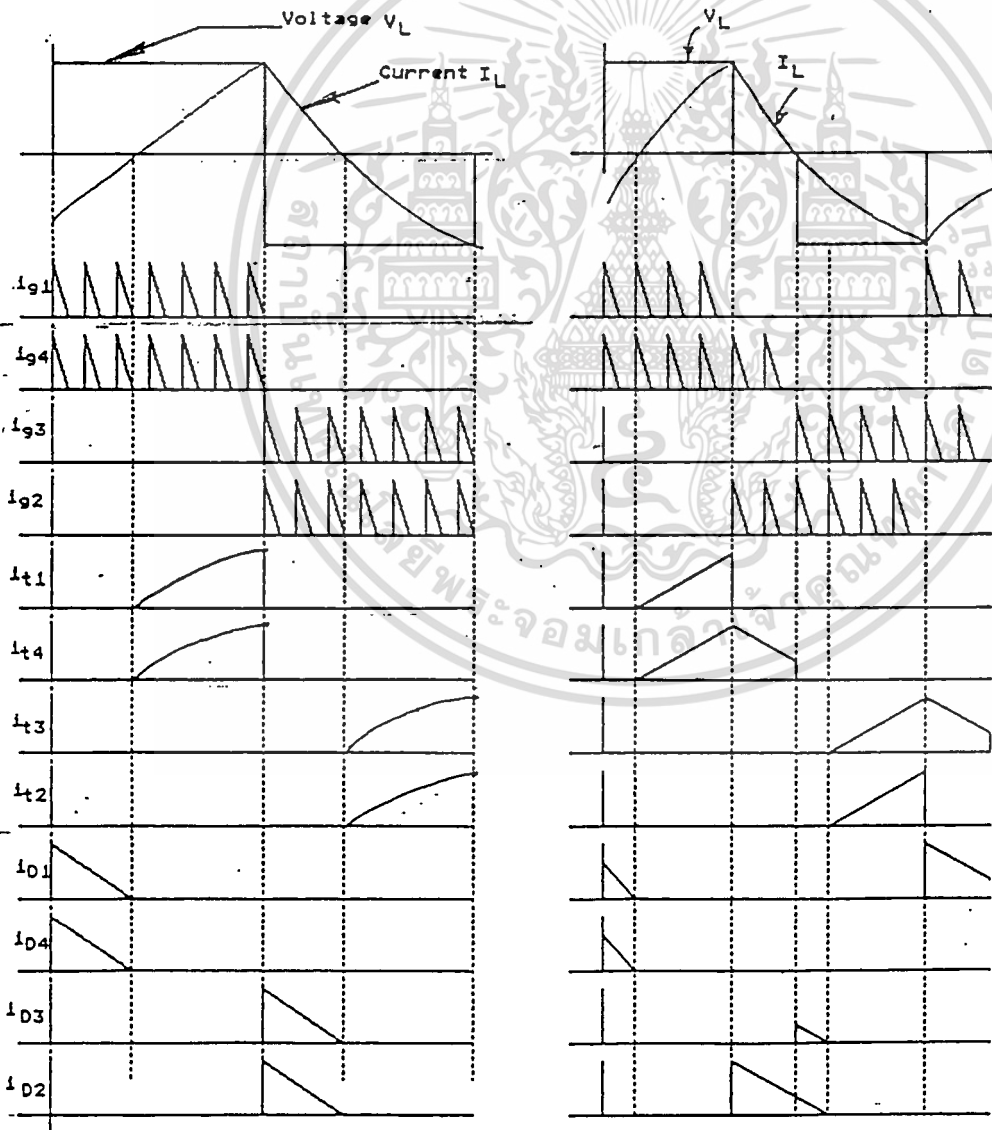
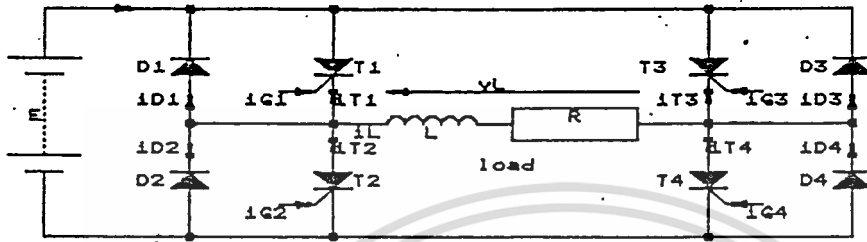
รูป 2.15 สภาวะการทำงานในช่วงการคอมมูเตชันของวงจรรูป 2.14 (ก) จาก  $t_0$  ถึง  $t_1$  (ข) จาก  $t_1$  ถึง  $t_2$  และ (ค) จาก  $t_2$  ถึง  $t_3$



รูป 2.16 คอนเวอร์เตอร์ 3 เฟส แบบ McMurray เอกสารนี้เป็นเอกสารที่สงวนลิขสิทธิ์ของสถาบันเทคโนโลยีพระจอมเกล้าเจ้าคุณทหารลาดกระบัง ไม่ว่ากรณีใดๆทั้งสิ้น อีกทั้งห้ามมิให้ดัดแปลงเนื้อหา และต้องอ้างอิงถึงเจ้าของเอกสารทุกครั้งที่มีการนำไปใช้

### 2.6 Single-phase bridge converter

สำหรับคอนเวอร์เตอร์แบบ 1 เฟส ที่ต่อเอสซีอาร์แบบบริดจ์ (Bridge) เขียนเป็นวงจรที่ไม่มีอุปกรณ์การคอมมูเตชันให้เอสซีอาร์หยุดนำกระแส ตามรูป 2.17



เอกสารนี้เป็นรูป 2.17 การทำงานของคอนเวอร์เตอร์แบบบริดจ์เมื่อโหลดเป็นอินดักทีฟโหลดเขียนขึ้นด้านการค้า  
ไม่ว่ากรณีใดๆทั้งสิ้น อีกทั้งห้ามมิให้คัดแปลงเนื้อหา และต้องอ้างอิงถึงเจ้าของเอกสารทุกครั้งที่มีการนำไปใช้

ในช่วงที่จะทำให้เอสซีอาร์  $T_1$  หยุดนำกระแส และเริ่มต้นทริกให้เอสซีอาร์  $T_2$  นำกระแส ในกรณีที่โหลดเป็นอินดักทีฟโหลดในโหลดจะไม่ไหลกลับอย่างทันทีเมื่อช่วงระยะเวลาการคอมมูเตชันหมดไป เอสซีอาร์  $T_2$  จะหยุดนำกระแสด้วย กระแสที่ไหลในโหลดจะไหลไปทางไดโอด  $D_2$  โดยทั่วไปช่วงระยะเวลาการคอมมูเตชันจะสั้นมาก เมื่อเทียบกับความถี่ที่คอนเวอร์เตอร์จ่ายให้กับโหลด สัญญาณต่าง ๆ ซึ่งแสดงการทำงานของวงจรขณะที่โหลดเป็นอินดักทีฟโหลดในรูป 2.17 (ข) และ (ค)

ถ้าโหลดของวงจรในรูป 2.17 (ก) เป็นความต้านทานอย่างเดี่ยว แรงดันและกระแสที่โหลดจะมีสัญญาณเหมือนกัน สำหรับอินดักทีฟโหลด รูปคลื่นของกระแสจะล่าหลังสัญญาณของแรงดัน ดังแสดงในรูป 2.17 (ข) และ (ค) ในรูป 2.17 (ข) รูปคลื่นของแรงดันคร่อมโหลดเป็นรูปสี่เหลี่ยม เอสซีอาร์ถูกทริกด้วยสัญญาณทริกเกอร์เป็นพัลส์ ความถี่สูงที่ต่อเนื่อง 180 องศาของรูปคลื่นของแรงดันคร่อมโหลด พิจารณาที่จุดสุดท้ายของไซเคิลบวก กระแสที่ไหลในโหลดจะยังไหลอยู่ ในรูปจะเห็นว่ากระแสยังเป็นบวกอยู่ เมื่อเอสซีอาร์  $T_2$  และ  $T_3$  ถูกทริกให้นำกระแสเพื่อจะทำให้เอสซีอาร์  $T_1$  และ  $T_4$  หยุดนำกระแส แรงดันคร่อมโหลดกับทิศทาง แต่ทว่ากระแสที่ไหลในโหลดยังไม่เปลี่ยนทิศทาง ดังนั้นกระแสที่ไหลในโหลดจึงไหลผ่านไดโอด  $D_3$  และ  $D_2$  แทน ซึ่งจะเห็นว่าเป็นการต่อแหล่งจ่ายไฟกระแสตรงเข้าโหลดจะทำให้พลังงานที่สะสมในอินดักทีฟโหลด ไหลกลับสู่แหล่งจ่ายไฟกระแสตรง จนกระแสที่ไหลผ่านโหลดตกเป็นศูนย์ ในช่วงที่ไดโอด  $D_3$  และ  $D_2$  นำกระแส เอสซีอาร์ทุกตัวจะหยุดนำกระแส เมื่อมีสัญญาณทริกเกอร์ตลอด 180 องศาของรูปคลื่นเอาท์พุท จึงทำให้เอสซีอาร์  $T_2$  และ  $T_3$  สามารถนำกระแสจ่ายพลังงานจากแหล่งจ่ายไฟเข้าสู่โหลด กระแสที่ไหลในโหลดจะเพิ่มขึ้นด้วย exponential จะเห็นว่าเอสซีอาร์ต้องการสัญญาณทริกขณะที่ไหลผ่านโหลดตกเป็นศูนย์ ในทางปฏิบัติจึงจำเป็นต้องใช้สัญญาณทริกที่เป็นความถี่สูงในช่วงกว้างถึงตลอดครึ่งไซเคิล

การควบคุมแรงดันเอาท์พุท สามารถทำได้โดยการเปลี่ยนแปลงช่วงเวลาที่รูปคลื่นเป็นศูนย์ของรูปคลื่นสี่เหลี่ยม โดยแรงดันจากแหล่งจ่ายไฟยังคงที่อยู่ รูปร่างของแรงดันเอาท์พุท ซึ่งเป็นแรงดันคร่อมที่โหลด ดังแสดงในรูป 2.17 (ค) เป็นลักษณะ quasi-square wave ทำได้โดยให้สัญญาณทริกเอสซีอาร์  $T_1$  และ  $T_2$  ล่วงหน้า เมื่อเทียบกับสัญญาณทริกเอสซีอาร์  $T_4$  และ  $T_3$  ในรูป 2.17 (ค) สัญญาณทริกเอสซีอาร์  $T_1$  ล่วงหน้าเอสซีอาร์  $T_4$  เป็นมุม 0 และสัญญาณทริกเอสซีอาร์  $T_2$  ล่วงหน้าเอสซีอาร์  $T_3$  เป็นมุม 0

ขณะที่เอสซีอาร์  $T_2$  ถูกทริกให้นำกระแสเพื่อจะให้เอสซีอาร์  $T_1$  หยุดนำกระแส กระแสไหลในโหลดจะเปลี่ยนไปไหลผ่าน  $D_2$  ขณะที่เอสซีอาร์  $T_4$  ยังนำกระแสอยู่ กระแสจากโหลดจะไหลผ่าน  $D_2$  และ  $T_4$  เป็นการลัดวงจรโหลดให้แรงดันคร่อมโหลดเป็นศูนย์ และเมื่อเอสซีอาร์  $T_3$  ถูกทริกให้นำกระแสเอสซีอาร์  $T_4$  จะหยุดนำกระแส กระแสที่ไหลในโหลดจะผ่านไดโอด  $D_3$ ,  $D_2$  ซึ่งต่อแหล่งจ่ายไฟเข้าโหลดในช่วงไซเคิลลบในช่วงเวลานี้เอสซีอาร์ทั้งหมดจะหยุดนำกระแส จนกระทั่งเมื่อมีสัญญาณทริกเอสซีอาร์  $T_3$  พร้อมกับเอสซีอาร์  $T_2$  เอสซีอาร์  $T_2$  และ  $T_3$  จะนำกระแสทำให้รูปคลื่นแรงดันคร่อมโหลดเป็นลบ

นี่เป็นเอกสารที่สงวนไว้สำหรับการใช้งานเพื่อการศึกษาเท่านั้น ไม่อนุญาตให้นำไปใช้ประโยชน์ด้านการค้า

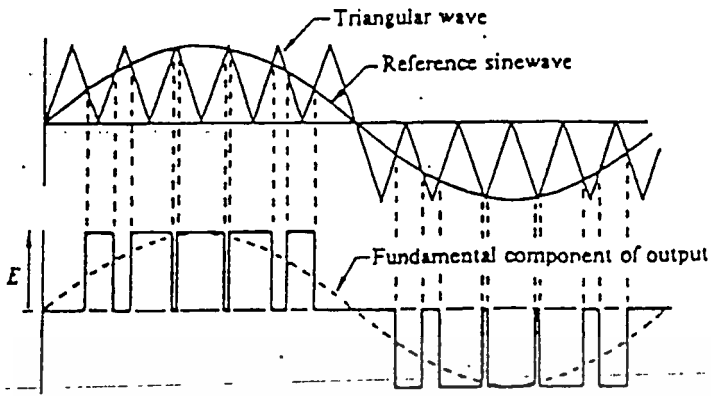
ไม่ว่ากรณีใดๆทั้งสิ้น อีกทั้งห้ามมิให้ดัดแปลงเนื้อหา และต้องอ้างอิงถึงเจ้าของเอกสารทุกครั้งที่มีการนำไปใช้

การควบคุมแรงดันเอาต์พุต และปรับปรุงให้แรงดันเอาต์พุตมีฮาร์โมนิกส์น้อยมาก สามารถใช้การควบคุมโดยวิธีที่เรียกว่า pulse-width modulation ดังแสดงในรูป 2.18 เป็นการควบคุมให้เอสซีอาร์นำกระแสและหยุดนำกระแส เพื่อให้ได้รูปคลื่นของแรงดันเอาต์พุตเปลี่ยนแปลงความกว้างของพัลส์ วิธีการทำให้รูปคลื่นของแรงดันเอาต์พุตเป็นพัลส์ขนาดที่ถูกต้อง จะใช้รูปคลื่น sine wave เป็นรูปคลื่นอ้างอิงที่มีความถี่ที่ต้องการเปรียบเทียบกับรูปคลื่นสามเหลี่ยม ดังแสดงในรูป 2.18

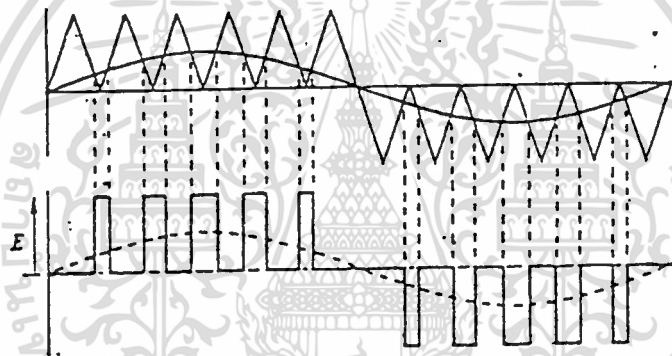
จุดตัดกันของสองรูปคลื่นจะเป็นสภาวะที่สร้างสัญญาณทริกเอสซีอาร์ ในรูป 2.18 (ก) แสดงรูปคลื่นของแรงดันเอาต์พุต มีค่าสูงสุด การลดแรงดันเอาต์พุตโดยการลดรูปคลื่น sine wave อ้างอิงลงในรูป 2.18 (ข) แสดงการลดรูปคลื่น sine wave ลงครึ่งหนึ่ง จะได้รับแรงดันเอาต์พุตลดลงครึ่งหนึ่ง

การควบคุมแรงดันเอาต์พุต ลักษณะ pulse-width modulation ด้วยวงจรถอนเวอร์เตอร์ ในรูป 2.17 สามารถควบคุมให้แหล่งจ่ายไฟกระแสตรงต่อกับโหลดเสมอ โดยการใช้ทริกเอสซีอาร์  $T_1$  พร้อม  $T_4$  และ  $T_2$  พร้อม  $T_3$  ซึ่งจะไม่มีการที่แรงดันเป็นศูนย์ ดังแสดงรูปคลื่นเอาต์พุตในรูป 2.19 การหาสัญญาณทริกเอสซีอาร์ทำได้โดยการสร้างรูปคลื่นสามเหลี่ยมเปรียบเทียบกับรูปคลื่น sine wave อ้างอิง

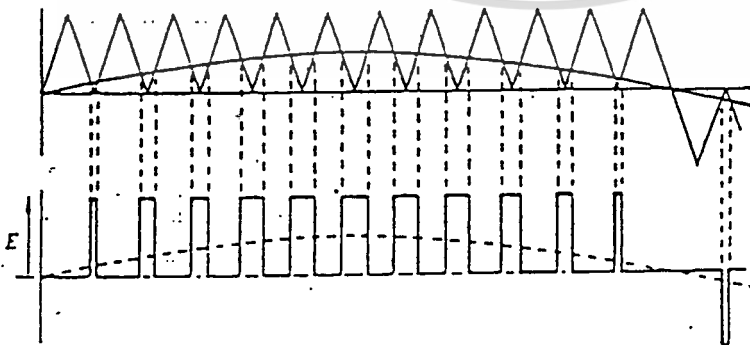
ถ้ามีการคอมมูเตชันในแต่ละครึ่งไซเคิลหลาย ๆ ครั้งในแต่ละไซเคิล จะทำให้เกิดการสูญเสียในการคอมมูเตชันสูง การเลือกกระหวางคอนเวอร์เตอร์ที่ให้รูปคลื่นแรงดันเอาต์พุตแบบ quasi-square wave และแบบ pulse-width modulated ให้พิจารณาถึงราคาของวงจรควบคุม และการสูญเสียในการคอมมูเตชัน และฮาร์โมนิกส์ของแรงดันเอาต์พุต



(ก)

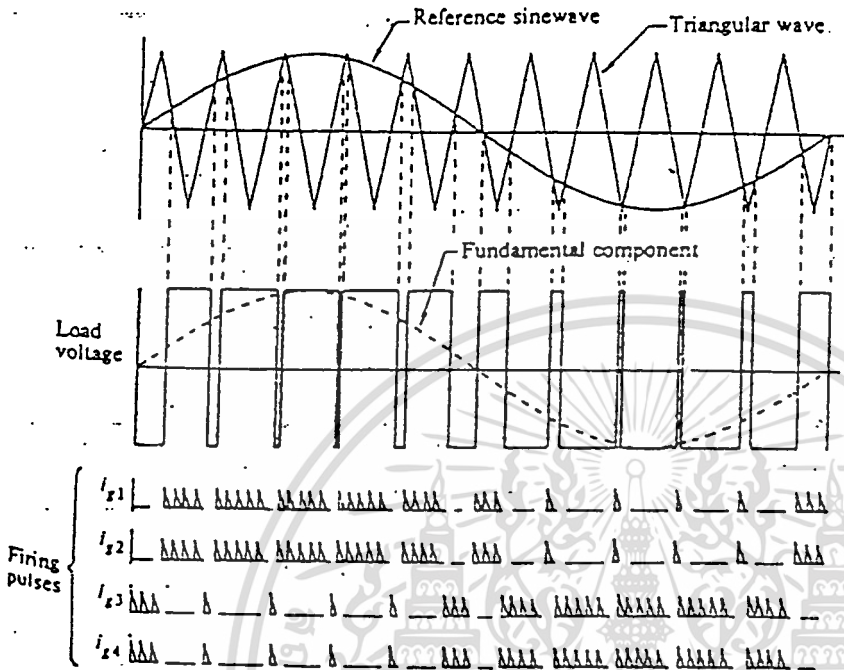


(ข)



(ค)

เอกสารนี้เป็นรูป 2.18 รูปคลื่นเอ้าท์พุทความถี่และ pulse-width modulation ประโยชน์ด้านการค้า  
ไม่ว่ากรณีใดๆทั้งสิ้น อีกทั้งห้ามมิให้ตัดแปลงเนื้อหา และต้องอ้างอิงถึงเจ้าของเอกสารทุกครั้งที่มีการนำไปใช้

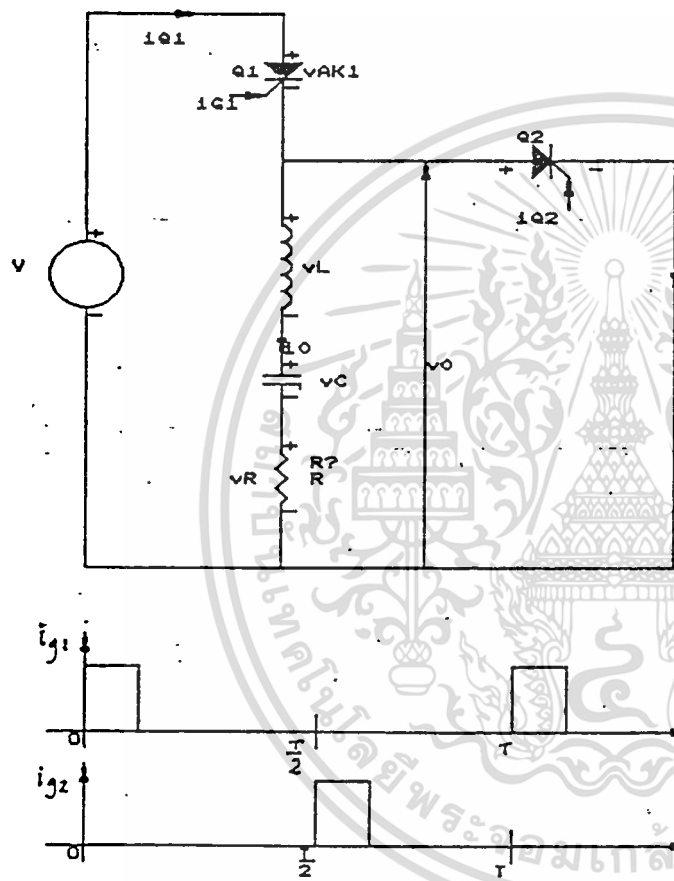


รูป 2.19 การควบคุมลักษณะ pulse-width modulation

เอกสารนี้เป็นเอกสารที่สงวนไว้สำหรับการใช้งานเพื่อการศึกษาเท่านั้น ไม่อนุญาตให้นำไปใช้ประโยชน์ด้านการค้า  
ไม่ว่ากรณีใดๆทั้งสิ้น อีกทั้งห้ามมิให้ตัดแปลงเนื้อหา และต้องอ้างอิงถึงเจ้าของเอกสารทุกครั้งที่มีการนำไปใช้

### 2.7 คอนเวอร์เตอร์แบบอนุกรม (Series Converter)

คอนเวอร์เตอร์แบบอนุกรม (series converter) เป็นการจัดวงจรให้อยู่ในลักษณะ load commutation ซึ่งนิยมใช้งานที่ความถี่สูง ๆ ระดับ 200 Hz จนถึงความถี่เป็น KHz

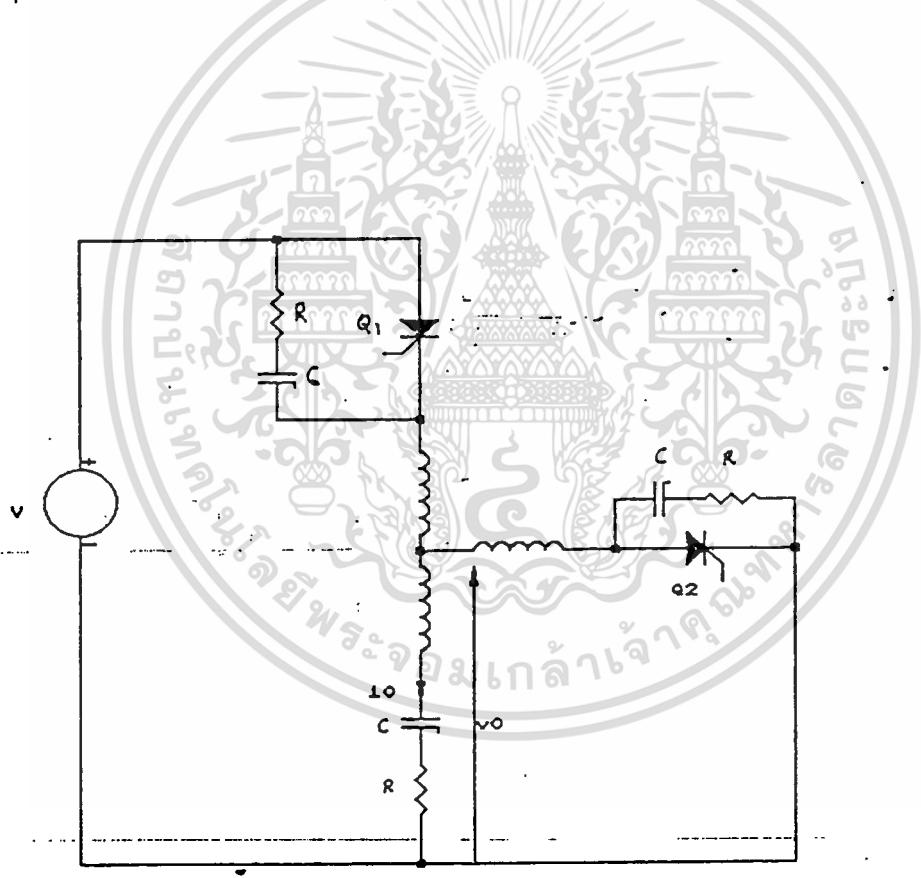


รูปที่ 2.20 วงจรพื้นฐานของคอนเวอร์เตอร์แบบอนุกรม

ในรูป 2.20 แสดงวงจรพื้นฐานของคอนเวอร์เตอร์แบบอนุกรม การทำงานของวงจรคือ เมื่อทริกให้เอสซีอาร์ 1 นำกระแสด้วยสัญญาณทริกที่แคบ ๆ เพื่อเป็นการสวิตช์ไฟจากแหล่งจ่ายไฟกระแสตรงจะเพิ่มขึ้น และลดลงสู่ศูนย์เป็นเวลานานกว่า turn-off-time ของเอสซีอาร์ ที่เวลานี้คาปาซิเตอร์จะประจุไฟจนมีแรงดันไฟฟ้าสูงกว่าแหล่งจ่ายไฟ และเมื่อทริกให้เอสซีอาร์ 2 นำกระแส คาปาซิเตอร์จะไม่ทำงานใดๆทั้งสิ้น อีกทั้งห้ามมิให้ตัดแปลงเนื้อหา และต้องอ้างอิงถึงเจ้าของเอกสารทุกครั้งที่มีการนำไปใช้

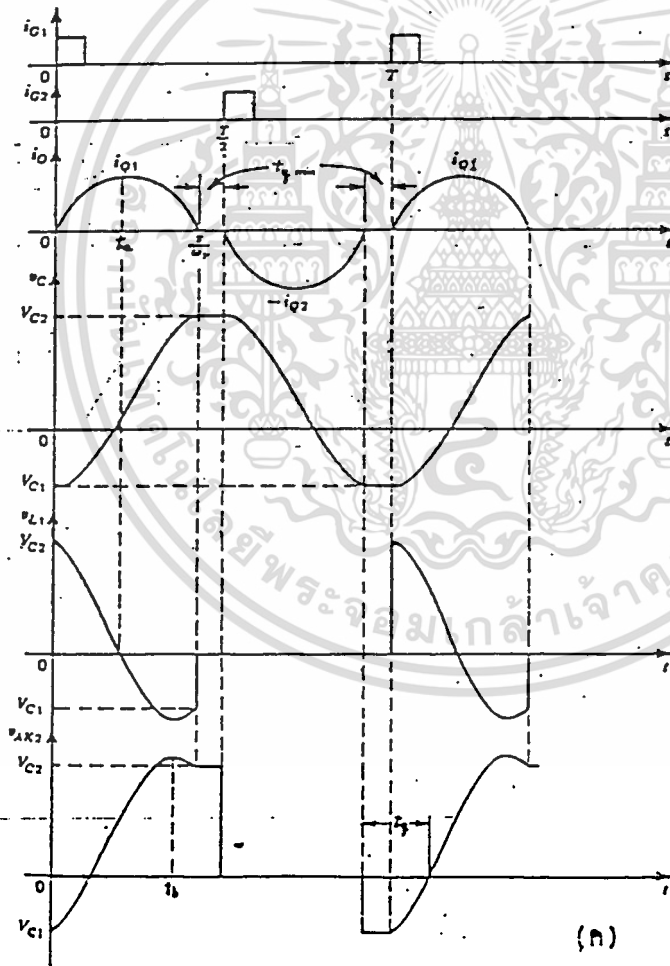
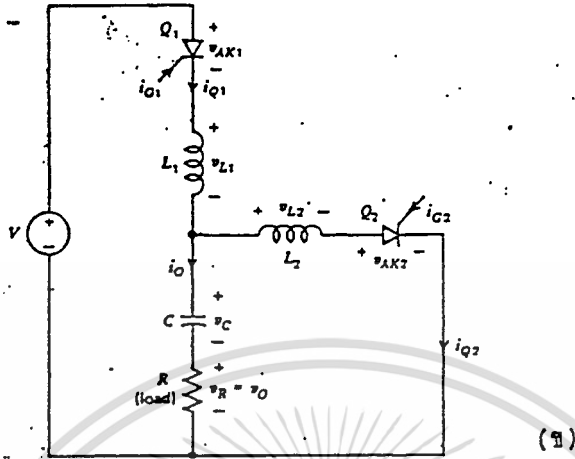
คาบประจุผ่านขดลวด L, SCR<sub>2</sub> และความต้านทาน R กระแสจากการคายประจุของคาปาซิเตอร์จะลดลงสู่ศูนย์ และแรงดันคร่อมคาปาซิเตอร์จะกลับทิศทาง และเอสซีอาร์ 2 จะหยุดนำกระแสผ่านตัวมันเป็นศูนย์นานกว่า *trun-off-time* และทำการทริกเอสซีอาร์ 1 ให้นำกระแสอีกครั้ง ซึ่งเป็นการเริ่มต้นไซเคิลใหม่ จะเห็นว่า จะเกิดไฟฟ้ากระแสสลับไหลในโหลด

อัตราการเปลี่ยนแปลงของแรงดันคร่อมเอสซีอาร์ จะเกิดขึ้นสูงมากจนอาจจะทำให้เอสซีอาร์ นำกระแส โดยที่ยังไม่มีสัญญาณทริกให้นำกระแส ซึ่งถ้าเอสซีอาร์ 1 และ 2 นำกระแสพร้อมกันจะทำให้เกิดการลัดวงจร จึงต้องมีวงจร snubber ต่อขนานกับเอสซีอาร์ และเกิดอัตราการเปลี่ยนแปลงของกระแสมีค่ามาก ถ้ากระแสที่เปลี่ยนแปลงมีค่ามากกว่ามีค่าจำกัดของเอสซีอาร์ จะทำให้เอสซีอาร์ เสียหายได้ จึงต้องอินดักเตอร์อนุกรมกับเอสซีอาร์ตามที่แสดงในรูป 2.21 (ก) และ รูป 2.21 (ข)



รูป 2.21 (ก) วงจร Snubber

เอกสารนี้เป็นเอกสารที่สงวนไว้สำหรับการใช้งานเพื่อการศึกษาเท่านั้น ไม่อนุญาตให้นำไปใช้ประโยชน์ด้านการค้า ไม่ว่าจะกรณีใดๆทั้งสิ้น อีกทั้งห้ามมิให้ตัดแปลงเนื้อหา และต้องอ้างอิงถึงเจ้าของเอกสารทุกครั้งที่มีการนำไปใช้

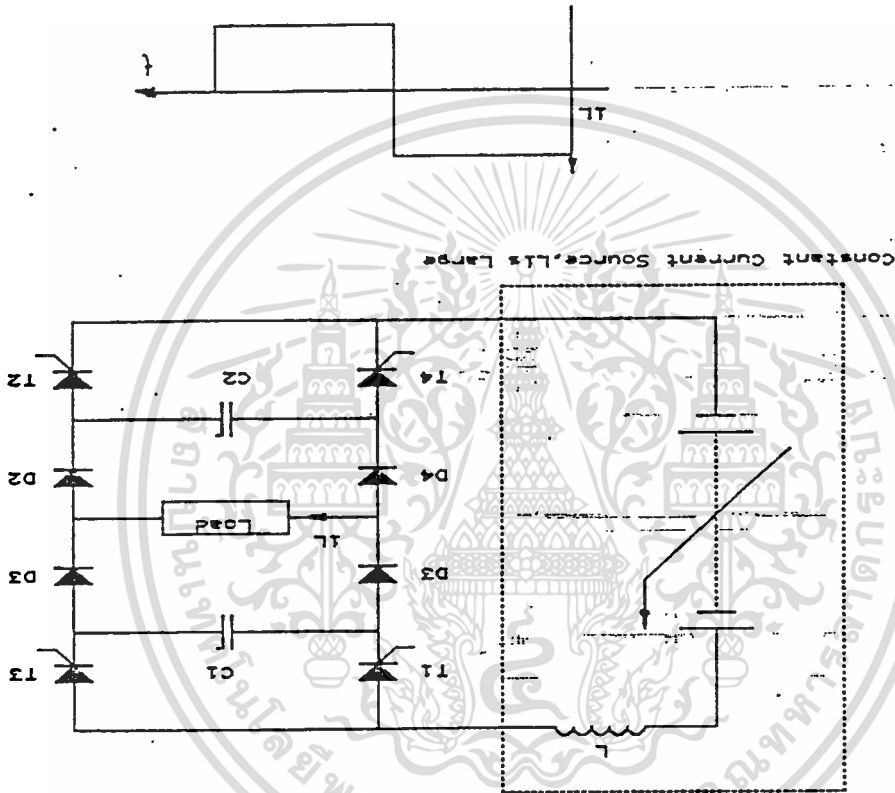


รูป 2.21 (ข) วงจรคอนเวอร์เตอร์แบบอนุกรม

เอกสารนี้เป็นเอกสารที่สงวนไว้สำหรับการใช้งานเพื่อการศึกษาเท่านั้น ไม่อนุญาตให้นำไปใช้ประโยชน์ด้านการค้า  
ไม่ว่ากรณีใดๆทั้งสิ้น อีกทั้งห้ามมิให้ตัดแปลงเนื้อหา และต้องอ้างอิงถึงเจ้าของเอกสารทุกครั้งที่มีการนำไปใช้

### 2.8 Constant-current source converter

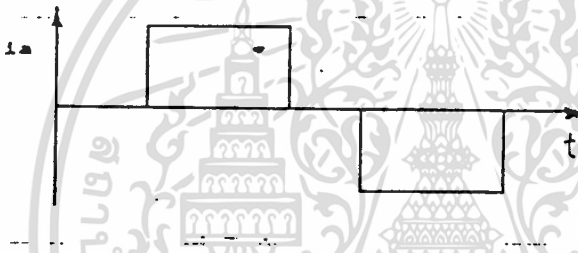
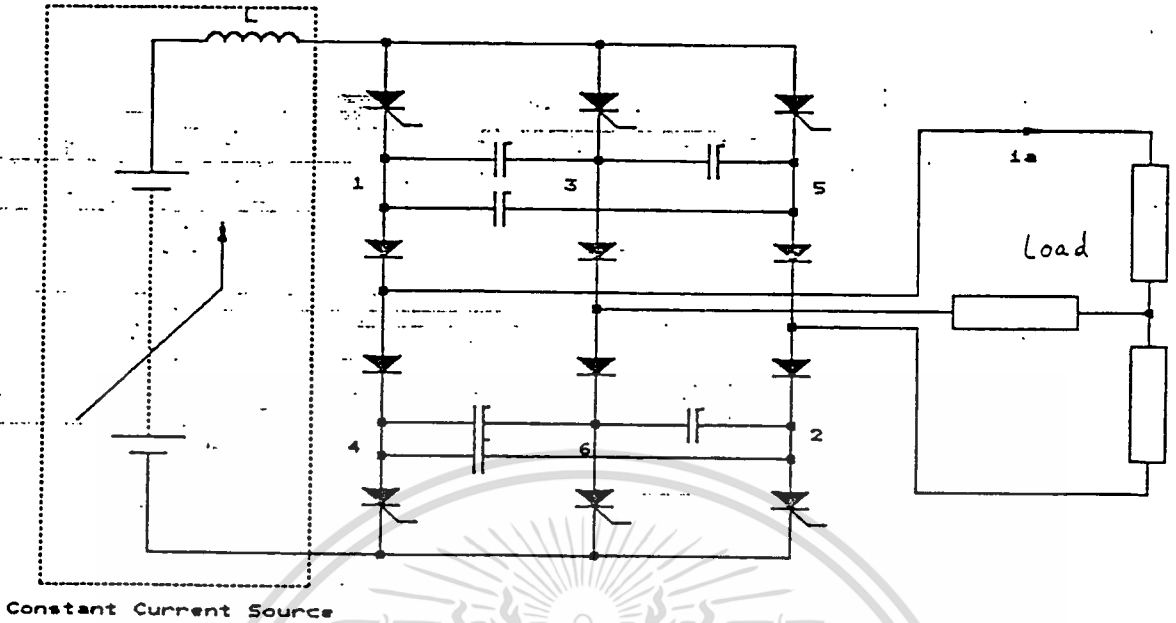
วงจรคอนเวอร์เตอร์ที่ใช้แหล่งจ่ายกระแสคงที่ซึ่งทำได้โดยการมีอินดักเตอร์ L ขนาดใหญ่ต่ออนุกรมกับแหล่งจ่ายไฟ ดังแสดงในรูป 2.22 ไดโอดที่ต่ออนุกรมกับเอสซีอาร์เพื่อไม่ให้คาปาซิเตอร์คายประจุผ่านโหลด



รูป 2.22 Constant-current source converter

ในวงจรรูป 2.22 เมื่อเอสซีอาร์  $T_1$  และ  $T_2$  ถูกทริกให้นำกระแส คาปาซิเตอร์ทั้งสองจะประจุให้ด้านซ้ายมีมีแรงดันเป็นบวก และเมื่อเอสซีอาร์  $T_3$  และ  $T_4$  ถูกทริกให้นำกระแส คาปาซิเตอร์จะจ่ายรีเวอร์สไบอัสให้เอสซีอาร์  $T_1$  และ  $T_2$  ทำให้เอสซีอาร์  $T_1$  และ  $T_2$  หยุดนำกระแส กระแสจะไหลผ่าน  $T_3$ ,  $C_1$ ,  $D_1$ , LOAD,  $D_2$ ,  $C_2$ ,  $T_4$  และเมื่อแรงดันคร่อมคาปาซิเตอร์กลับทิศทาง ไดโอด  $D_3$  และ  $D_4$  จะนำกระแสแทนไดโอด  $D_1$ ,  $D_2$

เอกสารนี้เป็นเอกสารที่สงวนไว้สำหรับการใช้งานเพื่อการศึกษาเท่านั้น ไม่อนุญาตให้นำไปใช้ประโยชน์ด้านการค้า ไม่ว่าจะกรณีใดๆทั้งสิ้น อีกทั้งห้ามมิให้ดัดแปลงเนื้อหา และต้องอ้างอิงถึงเจ้าของเอกสารทุกครั้งที่มีการนำไปใช้



รูป 2.23 Converter three-phase

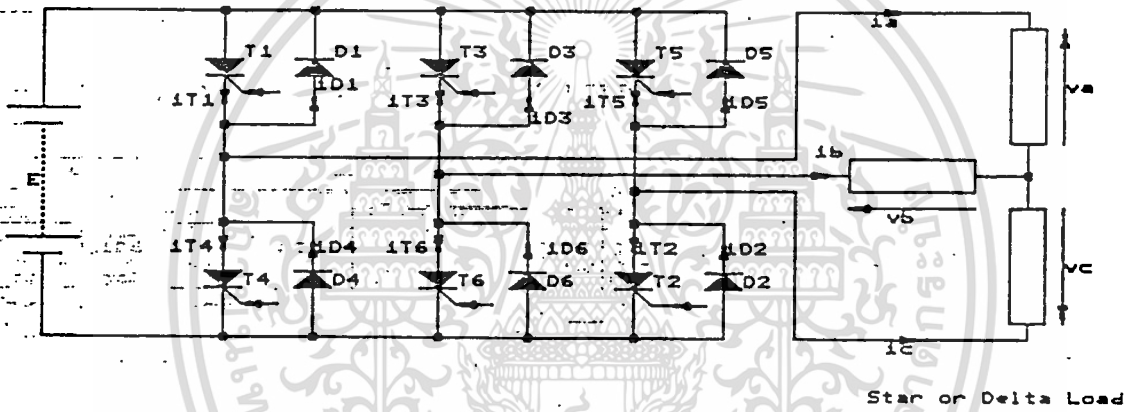
ในรูป 2.23 เป็นวงจรคอนเวอร์เตอร์ 3 เฟส ทุก ๆ เวลาจะมีเอสซีอาร์เพียง 2 ตัว นำกระแสพร้อมกัน เมื่อเอสซีอาร์  $T_3$  ถูกทริกให้นำกระแส เอสซีอาร์  $T_1$  จะถูกทำให้หยุดนำกระแส และเมื่อเอสซีอาร์  $T_4$  ถูกทริกให้นำกระแส เอสซีอาร์  $T_2$  จะหยุดนำกระแส

ข้อดีของคอนเวอร์เตอร์แบบให้แหล่งจ่ายกระแสคงที่ คือ

1. ไม่จำเป็นต้องใช้เอสซีอาร์ชนิดคอนเวอร์เตอร์เอสซีอาร์ หรือ Fast-switching SCR สามารถใช้เอสซีอาร์ชนิด Phase control SCR
2. การที่มีอินดักเตอร์ค่าสูงต่ออนุกรมกับแหล่งจ่ายไฟ จะทำให้มีกระแสไหลคงที่ จึงทำให้ถ้าการลัดวงจร กระแสจะไม่ไหลมาก
3. ไม่จำเป็นต้องมี commutating reactor

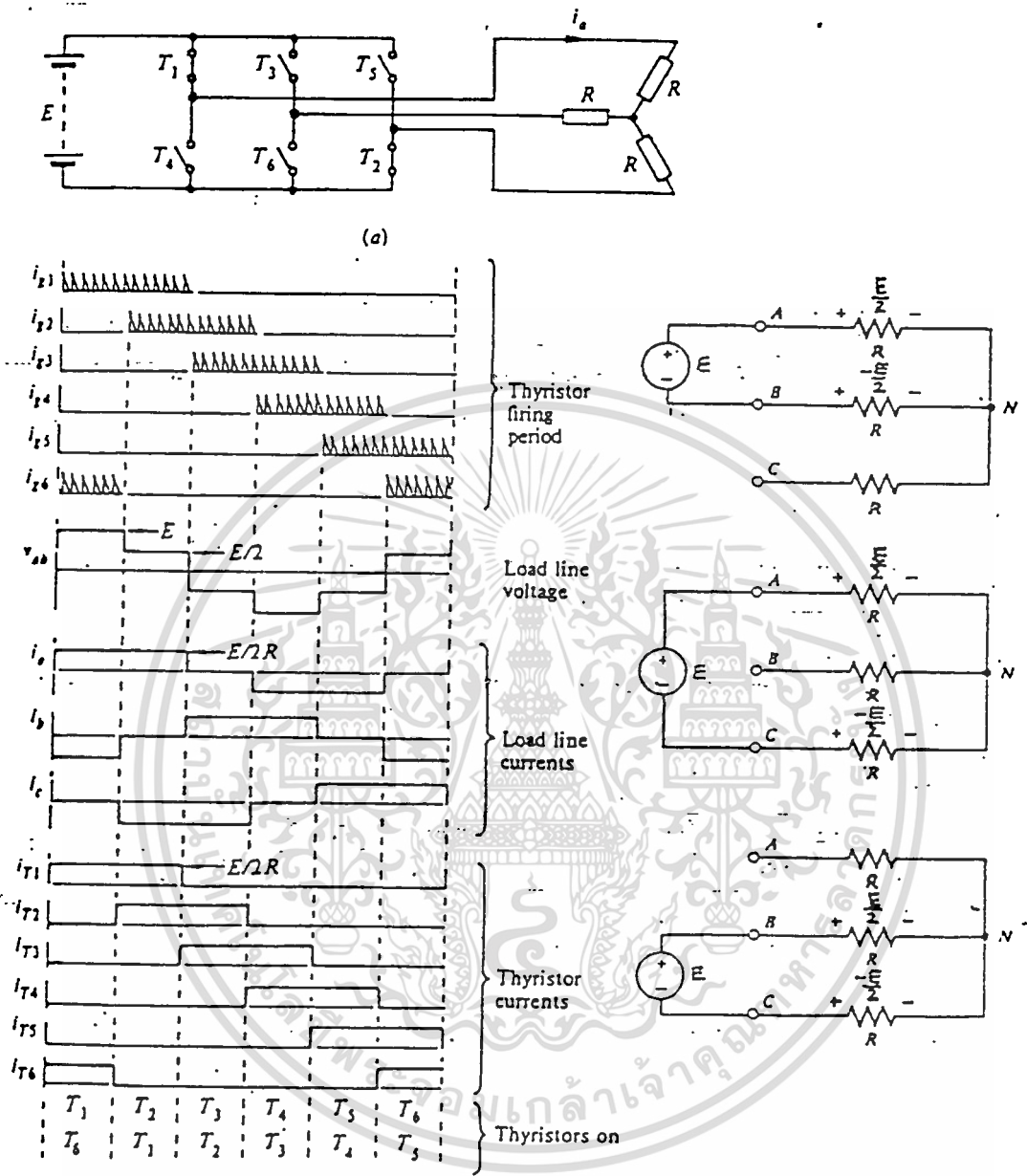
### 2.9 คอนเวอร์เตอร์ ชนิด 3 เฟส

วงจรพื้นฐานของคอนเวอร์เตอร์ชนิด 3 เฟส ได้แสดงไว้ในรูป 2.24 วงจรคอมมูเตชันดัง  
ได้อธิบายในหัวข้อที่ผ่านมาโดยไม่ได้แสดงในรูป 2.24 วงจรคอนเวอร์เตอร์ 3 เฟส ควบคุมให้เอสซีอาร์  
แต่ละตัวนำกระแส 120 องศาของไซเคิล รูปคลื่นดังแสดงในรูป 2.25 เป็นรูปคลื่นของวงจรรูป 2.24  
เมื่อโหลดเป็นความต้านทานอย่างเดี่ยว โดยกำหนดให้ที่จุดสุดท้ายของมุม 120 องศา วงจรคอมมูเตชัน  
เริ่มต้นทำให้เอสซีอาร์หยุดนำกระแส



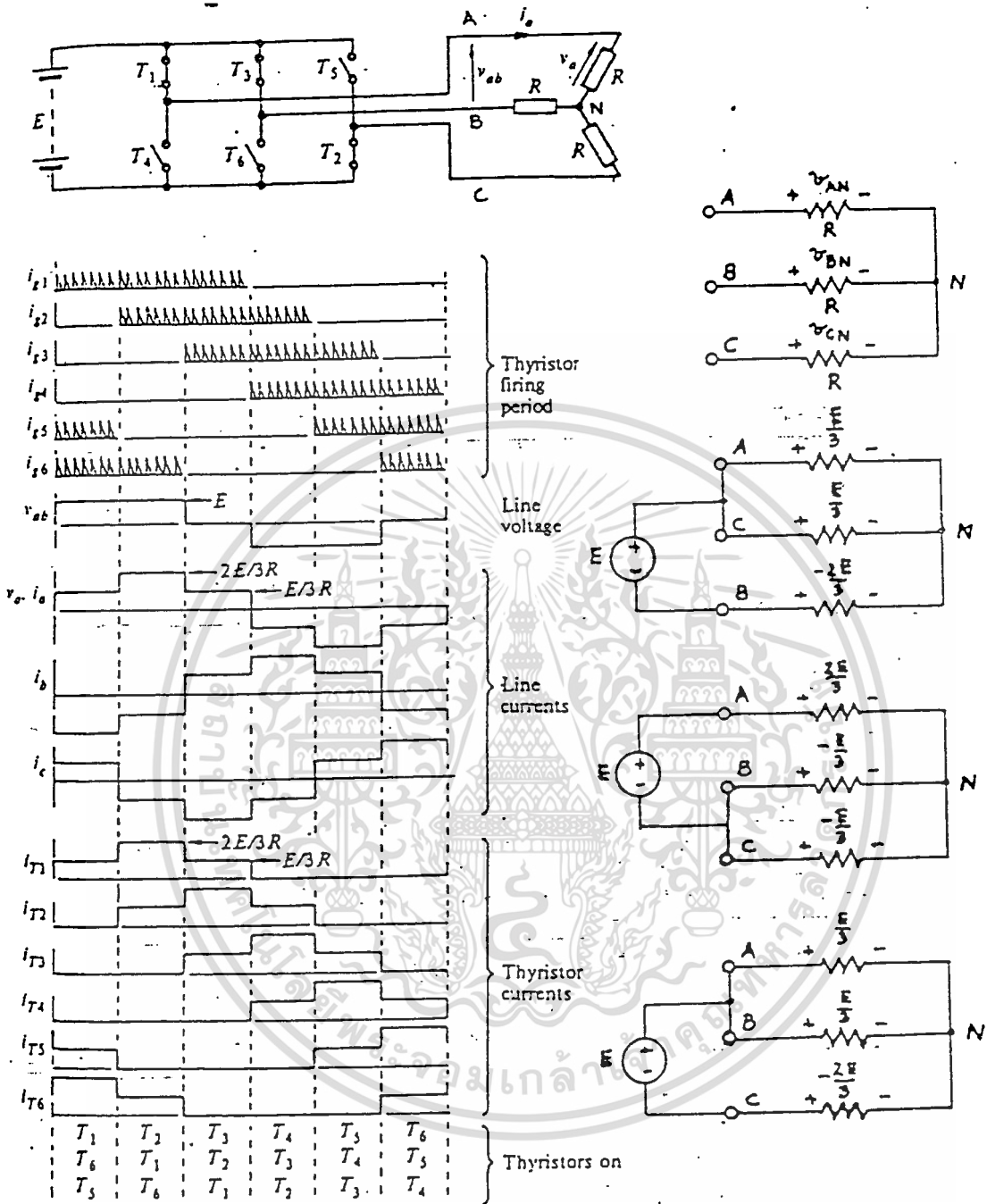
รูป 2.24 วงจรพื้นฐานของคอนเวอร์เตอร์ 3 เฟส

รูปคลื่นในรูป 2.25 (ข) แสดงกระแสที่ไหลในโหลดเป็น quasi-square wave ด้วยการ  
ที่เอสซีอาร์แต่ละตัวนำกระแสเพียงหนึ่งในสามของไซเคิล ในวงจรรูป 2.25 (ก) แทนเอสซีอาร์ด้วยสวิตช์  
แหล่งจ่ายไฟกระแสตรงถูกสวิตช์เข้าโหลดที่ต่อ ลักษณะ 3 เฟส เป็น 6 จังหวะ คือ  $T_1, T_6, T_2, T_1,$   
 $T_3, T_2, T_4, T_3, T_5, T_4, T_6, T_5$  ความเร็วในการสวิตช์ขึ้นอยู่กับความถี่เอาท์พุทที่ต้องการ รูปคลื่น  
ที่แสดงในรูป 2.25 (ข) เป็น linevoltage ถ้าโหลดเป็นอินดักทีฟโหลด กระแสที่ไหลในโหลดจะไหล  
ผ่านไดโอด จึงเหมือนกับสวิตช์ปิดวงจรมานกว่า 120 องศาไซเคิล



รูป 2.25 คอนเวอร์เตอร์ชนิด 3 เฟส ด้วยการทริกตลอด 120 องศา และโหลดเป็นความต้านทาน

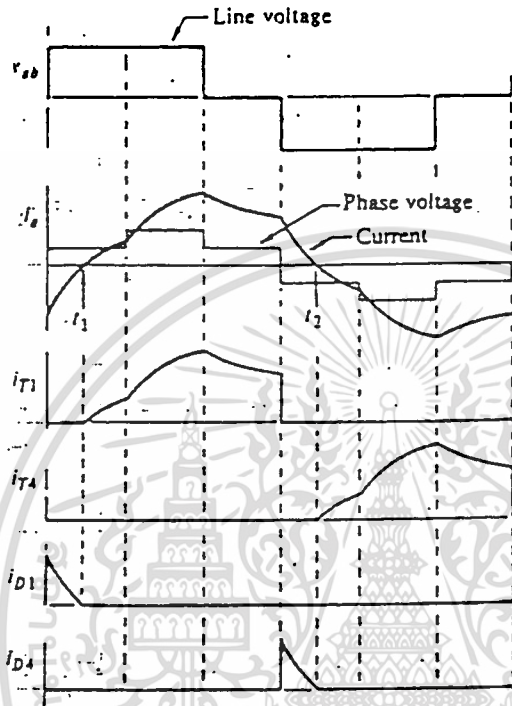
การทำงานของคอนเวอร์เตอร์ ในกรณีที่มีเอสซีอาร์นำกระแสเป็นมุม 180 องศาของไซเคิล ซึ่งเอสซีอาร์ 3 ตัวจะนำกระแสพร้อมกัน คือ แหล่งจ่ายไฟกระแสตรงกับโหลดโดยเอสซีอาร์ 1 ตัวในด้านหนึ่ง กับเอสซีอาร์ 2 ตัวในอีกด้านหนึ่ง ดังแสดงรูปคลื่นต่างในรูป 2.26 จะได้ Line voltage เป็น quasi-square wave ใช้สำหรับการใช้งานเพื่อการศึกษาเท่านั้น ไม่อนุญาตให้นำไปใช้ประโยชน์ด้านการค้า ไม่ว่ากรณีใดๆทั้งสิ้น อีกทั้งห้ามมิให้ตัดแปลงเนื้อหา และต้องอ้างอิงถึงเจ้าของเอกสารทุกครั้งที่มีการนำไปใช้



รูป 2.26 คอนเวอร์เตอร์ชนิด 3 เฟสด้วยการทริกตลอด 180 องศา และโหลดเป็นความต้านทาน

ถ้าโหลดเป็นอินดักทีฟโหลด กระแสที่ไหลในโหลดจะล่าหลังรูปคลื่นของแรงดัน ดังแสดงในรูป 2.27 เมื่อเอสซีอาร์  $T_1$  ถูกทริกให้นำกระแส เอสซีอาร์  $T_4$  จะถูกทำให้หยุดนำกระแส เนื่องจากกระแสไม่สามารถไหลย้อนกลับผ่านเอสซีอาร์ กระแสจึงไหลผ่านไดโอดที่แสดงในรูป 2.24

เอกสารนี้เป็นเอกสารที่สงวนไว้สำหรับการใช้งานเพื่อการศึกษาเท่านั้น ไม่อนุญาตให้นำไปใช้ประโยชน์ด้านการค้า ไม่ว่ากรณีใดๆทั้งสิ้น อีกทั้งห้ามมิให้ตัดแปลงเนื้อหา และต้องอ้างอิงถึงเจ้าของเอกสารทุกครั้งที่มีการนำไปใช้



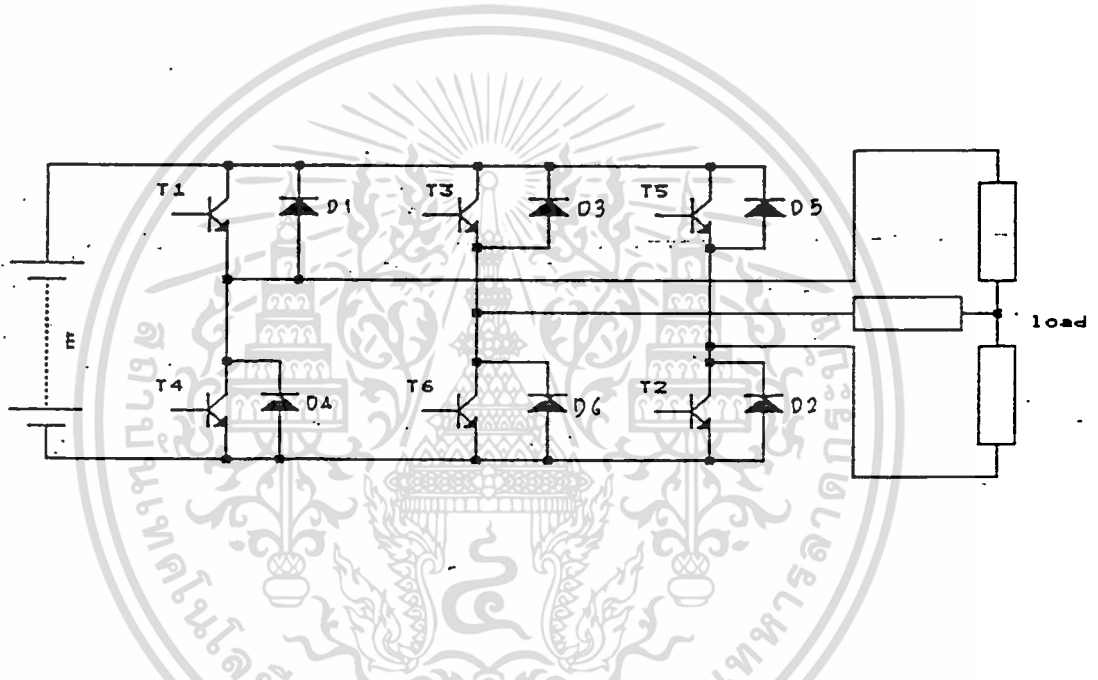
รูป 2.27 รูปคลื่นเมื่อทริกตลอด 180 องศา ขณะโหลดเป็นอินดักทีฟโหลด

### 2.10 คอนเวอร์เตอร์ที่ใช้เฟาเวอร์ทรานซิสเตอร์

วงจรคอนเวอร์เตอร์ที่กล่าวมาแล้วสามารถใช้ทรานซิสเตอร์แทนได้ การใช้ทรานซิสเตอร์จะไม่ต้องใช้อุปกรณ์ในการคอมมูเตชันให้ทรานซิสเตอร์หยุดนำกระแส การทำให้ทรานซิสเตอร์หยุดนำกระแสก็ด้วยการปลดแหล่งจ่ายกระแสเข้าขาเบสเท่านั้น เพื่อไม่ให้เกิดการสูญเสียในทรานซิสเตอร์มาก จึงต้องให้ทรานซิสเตอร์ทำงานในช่วงสภาวะที่เรียกว่า switching ถ้าทรานซิสเตอร์ไม่ทำงานในสภาวะที่เรียกว่า switching จะทำให้เกิดความร้อนในตัวทรานซิสเตอร์สูงขึ้นอย่างมากเช่น เมื่อต้องการให้แรงดันเป็น sine wave

เอกสารนี้เป็นเอกสารที่สงวนไว้สำหรับการใช้งานเพื่อการศึกษาเท่านั้น ไม่อนุญาตให้นำไปใช้ประโยชน์ด้านการค้า ไม่ว่าจะกรณีใดๆทั้งสิ้น อีกทั้งห้ามมิให้ตัดแปลงเนื้อหา และต้องอ้างอิงถึงเจ้าของเอกสารทุกครั้งที่มีการนำไปใช้

ในรูป 2.28 แสดงวงจรพื้นฐานสำหรับคอนเวอร์เตอร์ ชนิด 3 เฟส ที่ใช้เพาเวอร์ทรานซิสเตอร์ และมีไดโอดต่อขนานกับทรานซิสเตอร์ สำหรับในกรณีที่ไม่โหลดเป็นอินดักทีฟโหลด โดยมีความสัมพันธ์เหมือนกับวงจรที่ใช้เอสซีอาร์ ดังที่ได้กล่าวในหัวข้อที่ผ่านมาเปรียบเทียบกับระหว่างเอสซีอาร์กับทรานซิสเตอร์ ทรานซิสเตอร์สามารถนำกระแสได้เร็วกว่า จึงสามารถใช้ในคอนเวอร์เตอร์ที่มีความถี่สูง และให้ทำงานในลักษณะของ pulse-width modulation ข้อของทรานซิสเตอร์มีเพียงแต่จะต้องมีกระแสจ่ายเข้าเบสตลอดเมื่อต้องการให้นำกระแสอยู่ซึ่งกระแสที่ทำให้นำกระแสจะสูงกว่าเอสซีอาร์มาก แต่ทว่าจะประหยัดที่ไม่จำเป็นต้องมีวงจรคอมมุเตชันเหมือนกับการใช้เอสซีอาร์



รูป 2.28 วงจรพื้นฐานของคอนเวอร์เตอร์ 3 เฟส ที่ใช้เพาเวอร์ทรานซิสเตอร์

การทำงานของวงจรรูป 2.28 จะต้องระวังไม่ให้ทรานซิสเตอร์ในแนวเดียวกัน เช่น  $T_1$  และ  $T_4$  นำกระแสพร้อมกัน คือ ถ้าให้ทรานซิสเตอร์นำกระแส จะต้องรอให้ทรานซิสเตอร์ตัวที่อยู่ในแนวเดียวกันหยุดนำกระแส เป็นเวลาประมาณ 2-3 ไมโครวินาที เพราะทรานซิสเตอร์ก็มี turn-off-time เช่นเดียวกับเอสซีอาร์ แต่จะน้อยกว่าเอสซีอาร์ มิฉะนั้นจะเกิดการลัดวงจรผ่านทรานซิสเตอร์ 2 ตัวที่ต่อในแนวเดียวกัน

การใช้ไทรสเตอร์แบบควบคุมให้หยุดนำกระแสด้วยเกตที่เรียกว่า gate turn-off thyristor หรือเรียกย่อ ๆ ว่า GTO จะเป็นคู่แข่งของเพาเวอร์ทรานซิสเตอร์ อุปกรณ์ทั้งสองมีข้อดีคือ ไม่ต้องมีวงจรคอมมุเตชัน ซึ่งสะดวกกว่าการใช้เอสซีอาร์อย่างมาก แต่ทว่าในปัจจุบันเพาเวอร์ทรานซิสเตอร์ และ GTO ที่ผลิตจำหน่ายยังมีขีดจำกัดต่ำกว่าเอสซีอาร์มาก ฉะนั้น ในงานที่ควบคุมกำลังไฟฟ้าสูง ๆ จึงยังคงใช้เอสซีอาร์ไม่ว่าการณีใดๆทั้งสิ้น อีกทั้งห้ามมิให้ตัดแปลงเนื้อหา และต้องอ้างอิงถึงเจ้าของเอกสารทุกครั้งที่มีการนำไปใช้

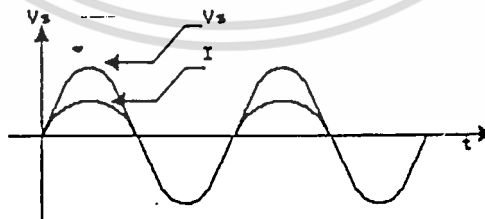
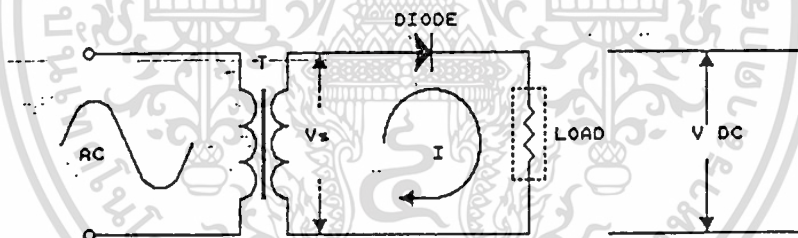
RECTIFIER

เรกติไฟเออร์ คือ วงจรไฟฟ้าที่มีคุณสมบัติในการแปลงสัญญาณไฟฟ้ากระแสสลับให้กลายเป็นสัญญาณไฟฟ้ากระแสตรง หรือมีคุณสมบัติยอมให้กระแสไฟฟ้าไหลผ่านในทิศทางใดทิศทางหนึ่งเท่านั้น แต่อุปกรณ์ที่ใช้ในวงจรกันแพร่หลายทั่วไปได้แก่ ไดโอด

3.1 วงจรเรกติไฟเออร์แบบครึ่งคลื่น (Half Wave rectifier)

หม้อแปลงทำหน้าที่เปลี่ยนแปลงแรงดันให้พอเหมาะกับความต้องการของผู้ใช้งาน แรงดันทางด้านทุติยภูมิของหม้อแปลง จะยังคงเป็นแรงดันไฟสลับอยู่ ในกรณีนี้ไดโอดจะนำกระแสได้ในขณะที่แรงดัน  $V_s$  อยู่ทางด้านบวกและจะไม่นำกระแสเมื่อแรงดัน  $V_s$  อยู่ทางด้านลบ กระแสที่ไหลผ่านโหลดจึงเป็นกระแสห้วง ๆ ตามจังหวะของแรงดันไฟสลับ

ผลของกระแสที่ไหลผ่านโหลดจึงมีลักษณะไหลในทิศทางเดียว คือ เป็นลักษณะของไฟตรงนั่นเอง แรงดันไฟตรงที่ตกคร่อมโหลดมีค่าขึ้นอยู่กับขนาดของแรงดัน  $V$  และมีความสัมพันธ์กันดังนี้



รูปที่ 3.1 การใช้ไดโอดในวงจรเรกติไฟเออร์ และแสดงสัญญาณรูปคลื่นของกระแสและแรงดัน

เอกสารนี้เป็นเอกสารที่สงวนไว้สำหรับการใช้งานเพื่อการศึกษาเท่านั้น ไม่อนุญาตให้นำไปใช้ประโยชน์ด้านการค้า ไม่ว่าจะกรณีใดๆทั้งสิ้น อีกทั้งห้ามมิให้ดัดแปลงเนื้อหา และต้องอ้างอิงถึงเจ้าของเอกสารทุกครั้งที่มีการนำไปใช้

ให้แรงดัน  $V_m$  มีค่าเท่ากับ  $V_m \sin \omega t$   
 $V_m$  เป็นแรงดันค่าสูงสุดของค่าไฟสลับ  
 เราจะได้ค่าแรงดัน  $V_{dc}$  ที่ไหลคเป็น

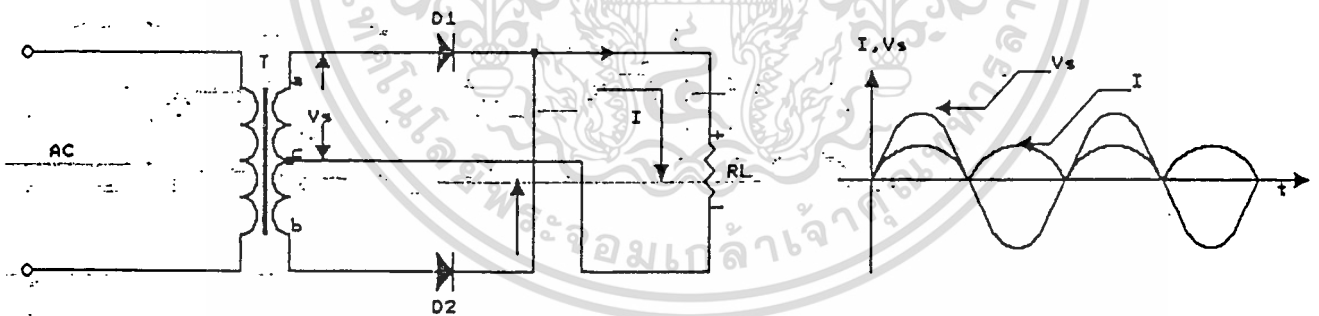
$$V_{dc} = V_m / \pi$$

$$= 0.3183 V_m$$

### 3.2 วงจรเรกติไฟเออร์แบบเต็มคลื่น (full Wave Rectifier)

ในกรณีของ วงจรเรกติไฟเออร์แบบครึ่งคลื่น ส่วนของกระแสตรงจะมีมาเพียงครึ่งไซเคิลเท่านั้น แต่ในกรณีของวงจรเรกติไฟเออร์แบบเต็มคลื่น ส่วนของกระแสตรงจะมาจากทั้งครึ่งไซเคิลบวกและครึ่งไซเคิลลบของไฟฟ้ากระแสสลับ วงจรจ่ายไฟตรงแบบนี้จึงมีข้อดีกว่าวงจรแบบครึ่งคลื่นหลายประการ ลักษณะของวงจรที่นิยมใช้กันมากมีสองแบบคือ

#### ก. วงจรที่ใช้หม้อแปลงที่มีแท่งกึ่งกลาง



รูป 3.2 วงจรเรกติไฟเออร์แบบเต็มคลื่นใช้หม้อแปลงที่มีแท่งกึ่งกลาง

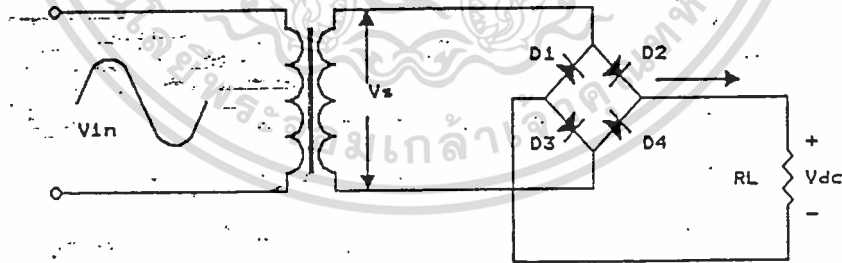
ในรูป 3.2 เมื่อการเปลี่ยนแปลงของไฟสลับที่จุด a เป็นบวกเมื่อเทียบกับจุด C ไดโอด  $D_1$  จะนำกระแส โดยที่  $D_2$  จะไม่นำกระแส เพราะที่จุด c มีศักดาเป็นบวกเมื่อเทียบกับจุด b ครั้นเมื่อศักดาที่จุด a เป็นลบเมื่อเทียบกับจุด C จุด b ก็จะมีค่าเป็นบวกเมื่อเทียบกับจุด c ไดโอด  $D_2$  จึงนำกระแสบ้าง กระแสที่ไหลผ่าน  $R_L$  จึงเป็นไปได้ทั้งครึ่งบวกและครึ่งลบ กระแสที่ไหลในกรณีนี้จึงมีค่ามากกว่ากรณีเรกติไฟเออร์แบบครึ่งคลื่น การหาค่าแรงไฟ DC หรือแรงดันค่าเฉลี่ยที่วัดได้จากโวลท์มิเตอร์ไฟตรงหาได้จาก

$$\text{เมื่อ } V_{\text{dc}} = V_p \sin \omega t$$

$V_p$  คือ ค่าแรงดันสูงสุดของ  $V_{\text{dc}}$

$$\begin{aligned} \text{แรงดัน } V_{\text{dc}} \text{ ครอบคลุม } R_L &= 2 V_p \\ &= 0.636 V_p \end{aligned}$$

### ข. วงจรบริดจ์เรกติไฟเออร์ (Bridge rectifier)



รูป 3.3 วงจรบริดจ์เรกติไฟเออร์

เอกสารนี้เป็นเอกสารที่สงวนไว้สำหรับการใช้งานเพื่อการศึกษาเท่านั้น ไม่อนุญาตให้นำไปใช้ประโยชน์ด้านการค้า ไม่ว่ากรณีใดๆทั้งสิ้น อีกทั้งห้ามมิให้ตัดแปลงเนื้อหา และต้องอ้างอิงถึงเจ้าของเอกสารทุกครั้งที่มีการนำไปใช้

การเรกติไฟเออร์สามารถทำได้โดยไม่ต้องใช้หม้อแปลงที่มีแท็ปกึ่งกลางได้ แต่ต้องเพิ่มจำนวน ไดโอดให้กับวงจรอีกเป็น 4 ตัว การจัดเรียงของไดโอดจะเรียงกันอยู่ในรูปของบริดจ์ที่เราเรียกว่า วงจร บริดจ์เรกติไฟเออร์

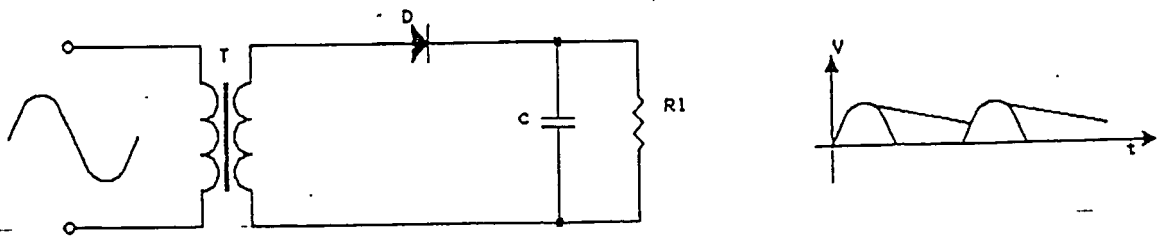
การทำงานของวงจรบริดจ์เรกติไฟเออร์ จะมีทิศทางการทำงานตามลักษณะของลูกศรนั้นคือ เมื่อ  $V_2$  เพิ่มขึ้นมาจากบวก ไดโอด  $D_2$  และ  $D_3$  จะนำกระแส ครึ่งแรงดัน  $V_2$  ลงไปทางลบไดโอด  $D_1$  และ  $D_4$  จะนำกระแส การนำกระแสของไดโอดทั้งสองชุดนี้ เป็นผลให้กระแสไหลผ่าน  $R_L$  ในทิศทางเดียว เท่านั้น

วงจรเรกติไฟเออร์แบบบริดจ์นี้เป็นที่นิยมกันมาก เพราะไม่ต้องยุ่งยากในการพันหม้อแปลงให้มีแท็ปกึ่งกลาง และในปัจจุบันบริษัทผู้ผลิตไดโอดหลายบริษัทได้ผลิตไดโอดในรูปแบบของบริดจ์รวมอยู่ในกล่อง ซึ่งสะดวกต่อการใช้ คือ สามารถต่อเข้ากับหม้อแปลง และโหลดได้ทันที ทำให้สะดวกต่อการใช้ยิ่งขึ้น

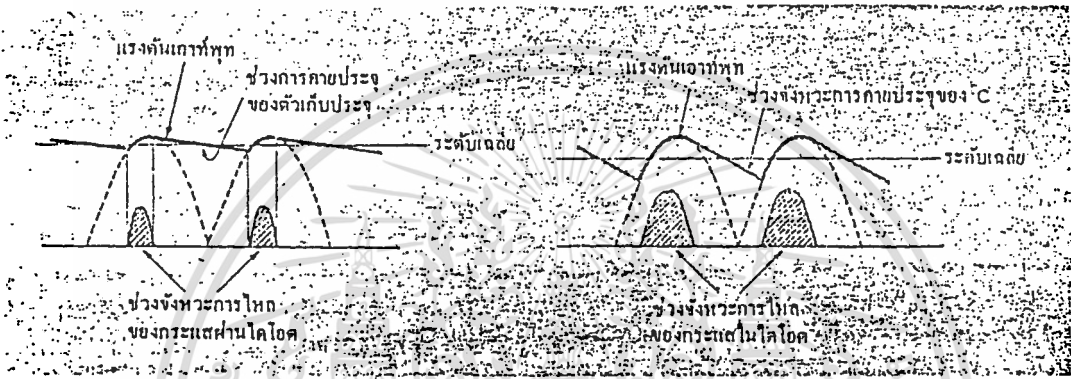
### 3.3 ระบบฟิลเตอร์ที่ใช้ในวงจรจ่ายไฟตรง

แรงดันที่ผ่านวงจรเรกติไฟเออร์แบบครึ่งคลื่นและเต็มคลื่น (ฮาร์ฟเวฟ และฟูลเวฟ) ออกมานั้น ถ้าพิจารณากันอย่างละเอียดแล้วจะเห็นว่า ลักษณะของแรงดันไฟตรงที่ได้มานั้นไม่ราบเรียบ จำเป็นจะต้องมีวงจรช่วยทำให้ลักษณะของกระแสและแรงดันราบเรียบขึ้น วิธีง่าย ๆ ที่เราใช้กันก็คือ การฟิลเตอร์ (Filter)

แรงดันไฟฟ้าที่ได้ที่โหล่นั้น เราต้องการให้เป็นไฟตรงที่เรียบ วิธีการง่าย ๆ ที่ทำให้แรงดันที่เป็นระลอกคลื่นเรียบขึ้นด้วยการใช้ตัวเก็บประจุ (Capacitor) ทั้งนี้เพราะตัวเก็บประจุทำหน้าที่หลักสำคัญ คือ การสะสมประจุไว้ในตัวมัน เมื่อใดที่กระแสป้อนน้อยมันก็จะเอาค่าประจุที่เก็บสะสมไว้ในตัวมันจ่ายแทน เมื่อใดที่จะต้องจ่ายกระแสไปให้โหล่น้อย (โพลดิ้งกระแสต่ำ) มันก็จะแบ่งมาเก็บสะสมไว้ ลักษณะของวงจรเขียนได้ดังรูปที่ 3.4

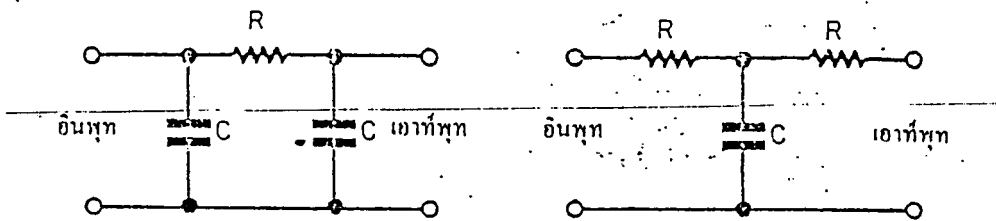


การใช้ตัวเก็บประจุฟิลเตอร์เป็นที่นิยมกันมาก เพราะใช้ง่าย แต่อย่างไรก็ตามการใช้ตัวเก็บประจุเพียงตัวเดียวจะยังคงมีผลต่อโหนดของกระแส เพราะเมื่อมีการไหลกระแสมากการจ่ายกระแสจากตัวเก็บประจุก็จะต้องมาก ทำให้แรงดันตกลง และมีขนาดของแรงดันมีการกระเพื่อมสูงขึ้น (ripple)



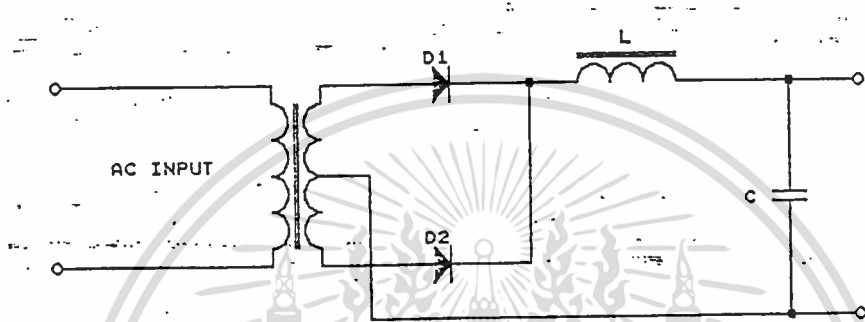
รูป 3.5 แสดงผลของการไหลที่มีต่อวงจรฟิลเตอร์ที่ใช้ C เพียงตัวเดียว

การใช้ตัวเก็บประจุ จะต้องเลือกขนาดของตัวเก็บประจุให้ใหญ่พอเพียง เพื่อการคายประจุไปยังโหนดได้อย่างพอเพียง มิฉะนั้นผลของริบเบิลจะปรากฏให้เห็นมาก คือ แรงดันเอาต์พุตไม่เรียบ และขนาดของแรงดันโดยเฉลี่ยจะตกลงด้วย การเพิ่มประสิทธิภาพของฟิลเตอร์วิธีหนึ่ง คือ การต่อวงจรฟิลเตอร์ในรูปของตัวพาส ( section) หรือตัวที (T section) โดยมีลักษณะของวงจรจะเป็นดังนี้

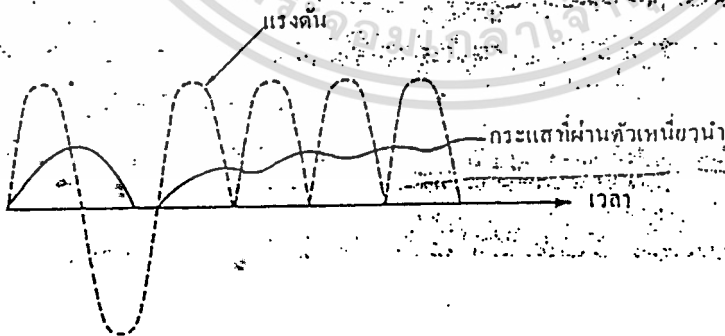


เอกสารนี้เป็นเอกสารที่สงวนลิขสิทธิ์ 3.6 วงจรฟิลเตอร์ใช้ R-C ประกอบเป็นรูปตัวพาสและที่ โยชน์ด้านการค้า ไม่ว่ากรณีใดๆทั้งสิ้น อีกทั้งห้ามมิให้คัดแปลงเนื้อหา และต้องอ้างอิงถึงเจ้าของเอกสารทุกครั้งที่มีการนำไปใช้

ในกรณีของรูปที่ 3.6 จะทำให้ขนาดของแรงดันรีปเปิลมีค่าลดน้อยลง แต่ก็ยังมีข้อเสียในแง่ของกำลังสูญเสียที่จะเกิดขึ้นในตัวต้านทาน ดังนั้นถ้าต้องการจ่ายกระแสสูง ๆ วิธีนี้จะทำให้เกิดกำลังสูญเสียขึ้นได้มาก และหนทางที่จะลดกำลังสูญเสียในความต้านทาน R คือ ใช้ตัวเหนี่ยวนำต่อร่วมกับตัวเก็บประจุ



รูปที่ 3.7 (ก) วงจรฟิลเตอร์ที่ใช้ L กับ C ประกอบกัน



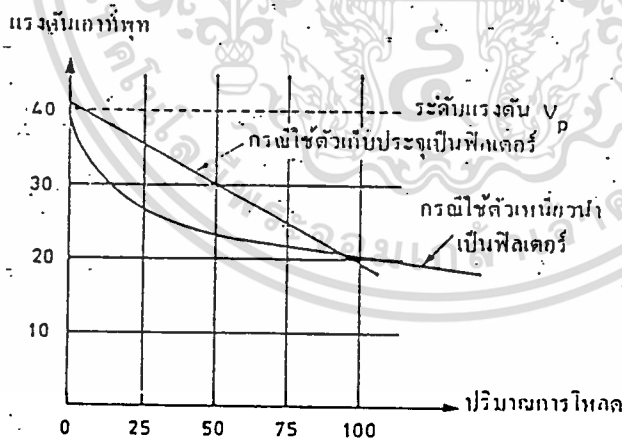
รูปที่ 3.7 (ข) แสดงให้เห็นถึงกระแสที่ได้อาบเรียบ

เอกสารนี้เป็นเอกสารที่สงวนไว้สำหรับการใช้งานในกรณีที่ใช้ตัวเหนี่ยวนำเป็นฟิลเตอร์ ใช้ประโยชน์ด้านการค้าไม่ว่ากรณีใดๆทั้งสิ้น อีกทั้งห้ามมิให้ตัดแปลงเนื้อหา และต้องอ้างอิงถึงเจ้าของเอกสารทุกครั้งที่มีการนำไปใช้

การใช้ตัวเหนี่ยวนำมาช่วยในวงจรฟิลเตอร์นับว่าเป็นข้อดี เพราะคุณสมบัติของตัวเหนี่ยวนำจะต่อต้านการเปลี่ยนแปลงของกระแสที่ทันใด ลักษณะของกระแสที่ได้จะราบเรียบ และจ่ายไปยังโหลดได้ดี แม้ว่าโหลดจะเปลี่ยนแปลงก็จะไม่ทำให้แรงดันคร่อมโหลดเปลี่ยนแปลงมากนัก

และเพื่อรวมคุณสมบัติข้อดีของตัวเหนี่ยวนำและตัวเก็บประจุ วงจรฟิลเตอร์ที่ใช้จึงประกอบด้วยระหว่างตัวนำเหนี่ยวนำกับตัวเก็บประจุ (โดยทั่วไปมักจะให้ตัวเหนี่ยวนำต่อขั้วกับวงจรไดโอด เพื่อกรองกระแสค่าเฉลี่ยก่อน แล้วจึงใช้ตัวเก็บประจุประกอบ ดังแสดงในรูปที่ 3.7)

ในการพิจารณาในแง่เรขาคณิตของวงจร หรือกระแสโหลดมีผลต่อแรงดันเอาต์พุตอย่างไร เราจะใช้หลักการที่กล่าวมาแล้วอธิบายได้ โดยการใช้ตัวเหนี่ยวนำอย่างเดี่ยวเป็นตัวฟิลเตอร์ ในกรณีที่กระแสโหลดเป็น 0 ค่าแรงดันก็จะอยู่ที่ประมาณ  $V_p$  หรือแรงดันจุดสูงสุด ครั้นเมื่อโหลดด้วยกระแสเพียงเล็กน้อย แรงดันก็จะตกลงมามากต่อจากนั้นก็ลดลงน้อยลงเมื่อกระแสโหลดเพิ่มขึ้น ซึ่งถ้าเป็นตัวเก็บประจุอย่างเดี่ยวลักษณะของแรงดันจะลดลงแปรตามกับค่าของจำนวนกระแสโหลด ซึ่งสามารถเขียนเป็นกราฟได้ดังรูปที่ 3.8



รูปที่ 3.8 กราฟแสดงผลของการใช้ L หรือ C เป็นฟิลเตอร์

เอกสารนี้เป็นเอกสารที่สงวนไว้สำหรับการใช้งานเพื่อการศึกษาเท่านั้น ไม่อนุญาตให้นำไปใช้ประโยชน์ด้านการค้า ไม่ว่าจะกรณีใดๆทั้งสิ้น อีกทั้งห้ามมิให้ตัดแปลงเนื้อหา และต้องอ้างอิงถึงเจ้าของเอกสารทุกครั้งที่มีการนำไปใช้

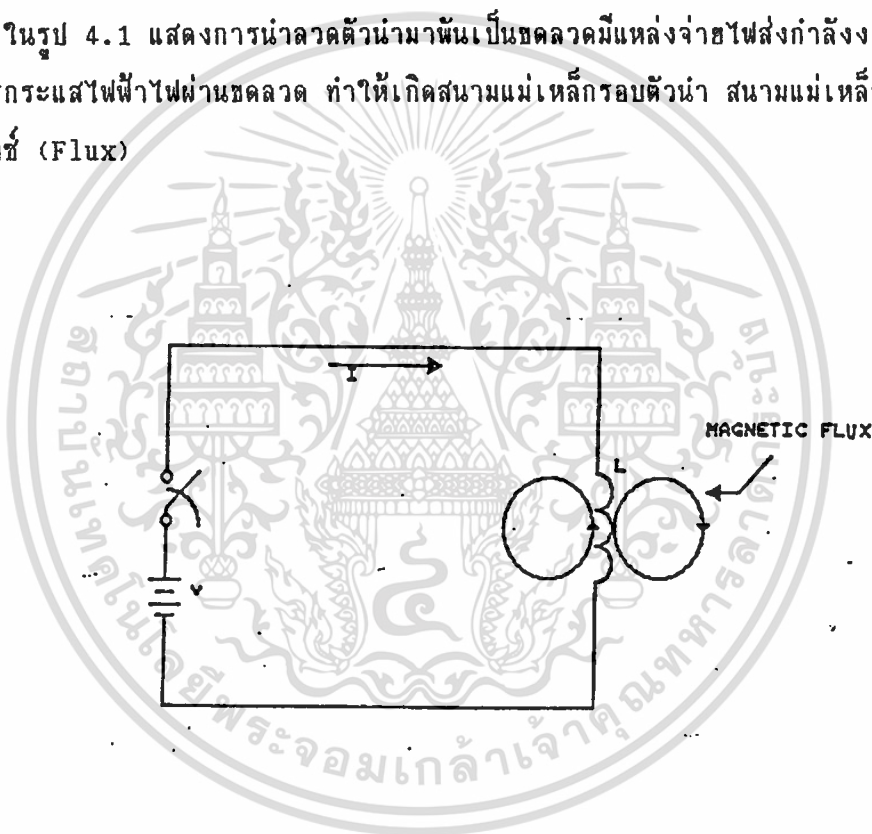
## บทที่ 4

### การออกแบบหม้อแปลงความถี่สูงสำหรับแหล่งจ่ายไฟ

หม้อแปลงไฟฟ้าที่ใช้เพิ่ม หรือลดแรงดันไฟสลับ โดยทั่วไปแล้ววิธีการออกแบบไม่ยุ่งยากเหมือนกับหม้อแปลงที่ใช้กับแหล่งจ่ายไฟแบบสวิตซ์ซิ่ง เนื่องจากแหล่งจ่ายแบบหลังนี้มีรูปคลื่นเป็นสี่เหลี่ยมมีความถี่สูงถึง 20 KHz หรือมากกว่า และยังให้กำลังไฟสูงด้วย สำหรับสิ่งที่จะกล่าวต่อไปนี้เป็นทฤษฎีเบื้องต้นของหม้อแปลง และวิธีการออกแบบหม้อแปลง ใช้หลักการของสนามแม่เหล็กไฟฟ้าในการส่งผ่านพลังงาน

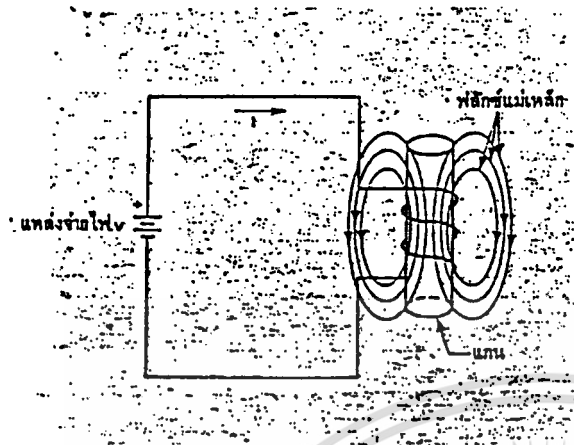
#### 4.1 ทฤษฎีแม่เหล็กไฟฟ้า

ในรูป 4.1 แสดงการนำลวดตัวนำมาพันเป็นขดลวดมีแหล่งจ่ายไฟส่งกำลังงานผ่านสวิตซ์เมื่อสวิตซ์ต่อวงจรกระแสไฟฟ้าไปผ่านขดลวด ทำให้เกิดสนามแม่เหล็กรอบตัวนำ สนามแม่เหล็กรอบขดลวดนี้เรียกว่า ฟลักซ์ (Flux)

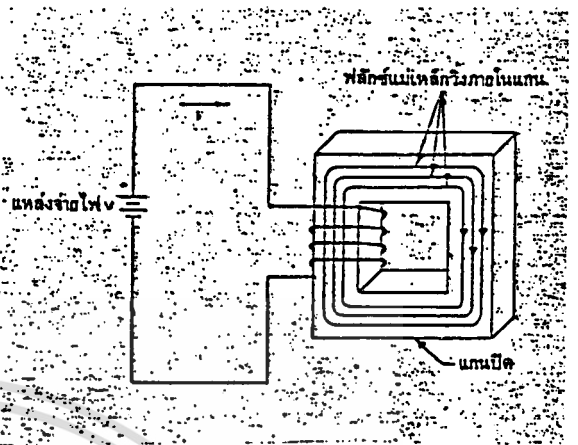


รูป 4.1 แสดงฟลักซ์แม่เหล็กที่เกิดจากการผ่านกระแสเข้าขดลวด

ในรูป 4.2 แสดงการพันขดลวดรอบแท่งวัสดุที่กลายเป็นแม่เหล็กได้ (เช่น เหล็ก, นิกเกิล, โคบอลต์ เรียกรวม ๆ ว่า "เฟอร์โรแมกเนติก") แท่งวัสดุนี้ทำให้เกิดการเหนี่ยวนำสนามแม่เหล็กผลจึงทำให้ฟลักซ์หนาแน่นกว่า ฟลักซ์จะวิ่งอยู่ในแท่งวัสดุถ้าให้แท่งวัสดุต่อถึงกันตลอดการเหนี่ยวนำแม่เหล็กจะสูงขึ้น ดังแสดงในรูปที่ 4.3



รูปที่ 4.2 การวางแท่งวัสดุที่เป็นแม่เหล็กตรงกลางทำให้ฟลักซ์เพิ่มขึ้น



รูปที่ 4.3 ถ้าใช้แกนแบบปลาปิด ฟลักซ์จะวิ่งอยู่ภายใน

ปกติฟลักซ์แม่เหล็กจะถูกระบุเป็นความหนาแน่น (Flux density) มีสัญลักษณ์เป็น B มีหน่วยเป็นเกาส์ (ปัจจุบันนิยมใช้เวเบอร์ต่อตารางเมตร) และความเข้มของสนามแม่เหล็ก (magnetic field intensity) มีสัญลักษณ์เป็น H มีหน่วยเป็นเออร์สเตด (ปัจจุบันนิยมใช้แอมป์ต่อเมตร) โดย

$$H = 0.4 \frac{NI}{L_1} \dots\dots\dots 1.$$

เมื่อ N คือ จำนวนรอบของขดลวด

I คือ กระแสที่ไหลผ่านขดลวด

$L_1$  คือ ความยาวของแกน

ความสัมพันธ์ระหว่างความหนาแน่นของฟลักซ์ต่อความเข้มของสนามแม่เหล็กจะเป็น

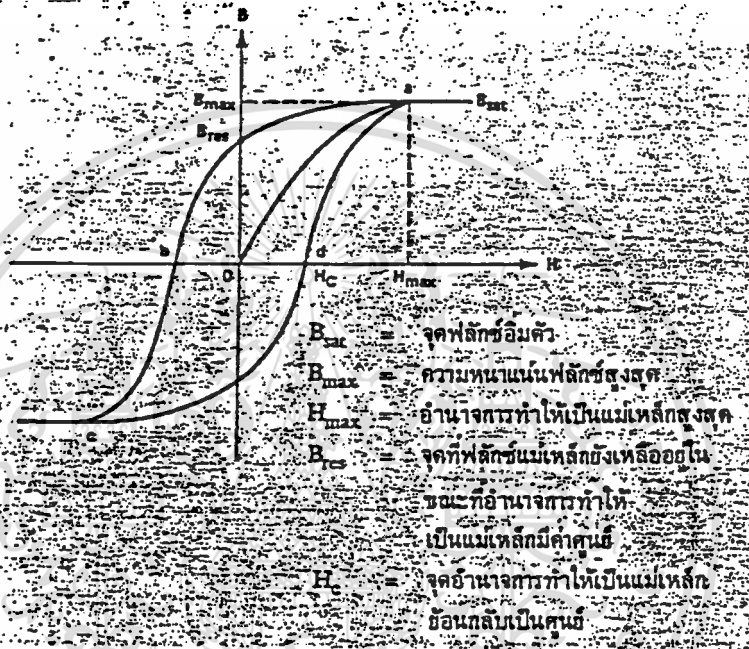
$$= B/H \dots\dots\dots 2.$$

(มิว) คือ ค่าซึมซับ (permeability) ของแกน หมายถึง คุณสมบัติของวัตถุในอันที่ยอมให้อ่านาจแม่เหล็กผ่านไปได้อ่างหรือออส สำหรับอากาศที่  $\mu_r = 1$

เอกสารนี้เป็นเอกสารที่สงวนไว้สำหรับกรใช้งานเพื่อการศึกษาเท่านั้น ไม่อนุญาตให้นำไปใช้ประโยชน์ด้านการค้าไม่ว่ากรณีใดๆทั้งสิ้น อีกทั้งห้ามมิให้ดัดแปลงเนื้อหา และต้องอ้างอิงถึงเจ้าของเอกสารทุกครั้งที่มีการนำไปใช้

### 4.2 ฮีสเทอรีซิส

ฮีสเทอรีซิส (hysteresis) คือ คุณสมบัติการเป็นแม่เหล็กของวัสดุ โดยที่ความสัมพันธ์ของความหนาแน่นของฟลักซ์แม่เหล็ก (B) และความเข้มของเส้นแรงแม่เหล็ก (H) สามารถหาค่าคุณสมบัตินี้ได้โดยใช้ B-H curve จากรูปที่ 4.4



รูปที่ 4.4 แสดงคุณสมบัติของฮีสเทอรีซิสในแกน B-H

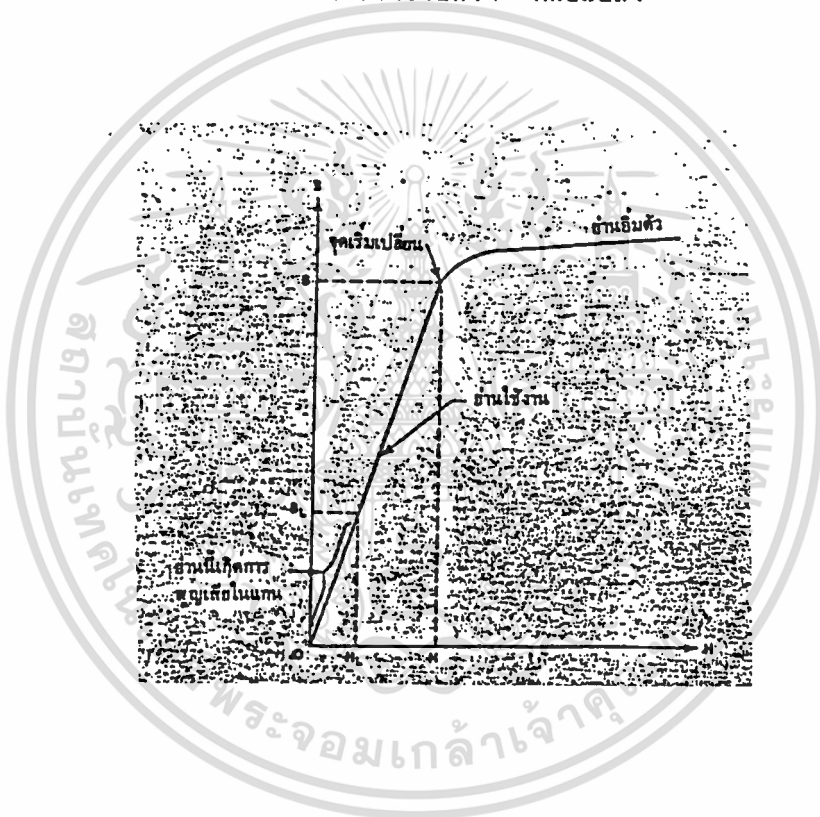
- B<sub>sat</sub> = จุดฟลักซ์อิ่มตัว
- B<sub>max</sub> = ความหนาแน่นฟลักซ์สูงสุด
- H<sub>max</sub> = อำนาจการทำให้แม่เหล็กสูงสุด
- B<sub>res</sub> = จุดฟลักซ์แม่เหล็กยังเหลืออยู่ในขณะที่อำนาจการทำให้เป็นแม่เหล็กมีค่าศูนย์
- H<sub>c</sub> = จุดอำนาจการทำให้เป็นแม่เหล็กย้อนกลับเป็นศูนย์

สมบัติเริ่มที่จุดศูนย์ เมื่อเพิ่มความเข้มของสนามแม่เหล็กค่าของความหนาแน่นฟลักซ์เพิ่มขึ้นเป็นเชิงเส้น จนกระทั่งถึงจุด a ที่ความหนาแน่นของฟลักซ์ไม่เพิ่มขึ้นเรียกว่า ฟลักซ์อิ่มตัว (B<sub>sat</sub>) หลังจากลดความเข้มของสนามแม่เหล็ก จนกระทั่งเป็นศูนย์ความหนาแน่นของฟลักซ์จะไม่ตกเป็นศูนย์ตาม ถ้าให้ความเข้มใดๆทั้งสิ้น อีกทั้งยังมีให้คิดแปลงเนื้อหา และต้องอ้างอิงถึงเจ้าของเอกสารทุกครั้งที่มีการนำไปใช้

เข็มสนามแม่เหล็กกลับทาง ความหนาแน่นของฟลักซ์จะลดลง เป็นศูนย์และมีคุณสมบัติในทางตรงกันข้ามเหมือนกัน จึงได้เส้นโค้งลักษณะตัว S รูปที่ 4.5 แสดงคุณสมบัติของแกนที่ใช้งาน ปกติจะให้ทำงานในช่วงที่เป็นเส้นตรงเพื่อลดการสูญเสีย

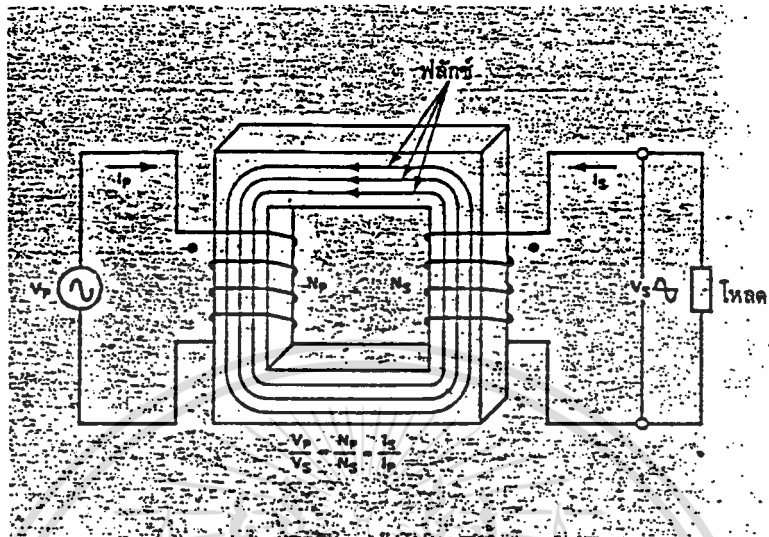
#### 4.3 ทฤษฎีหม้อแปลง

จากที่ได้กล่าวมาแล้วว่า เมื่อมีกระแสไหลผ่านขดลวดที่พันรอบแกนปิด จะเกิดฟลักซ์เหนี่ยวนำในแกน ถ้ากระแสที่จ่ายให้มีการเปลี่ยนแปลงไปมา ฟลักซ์จะเปลี่ยนไปมาด้วย ถ้าเรานำขดลวดอีกขดมาพันรอบแกนนี้จะเกิดแรงดันและกระแสเหนี่ยวนำ เราเรียกว่า "หม้อแปลง"



รูปที่ 4.5 แสดงลักษณะของการเป็นแม่เหล็กในช่วงเป็นเส้นตรงและอิ่มตัว

เอกสารนี้เป็นเอกสารที่สงวนไว้สำหรับการใช้งานเพื่อการศึกษาเท่านั้น ไม่อนุญาตให้นำไปใช้ประโยชน์ด้านการค้า ไม่ว่าจะกรณีใดๆทั้งสิ้น อีกทั้งห้ามมิให้ตัดแปลงเนื้อหา และต้องอ้างอิงถึงเจ้าของเอกสารทุกครั้งที่มีการนำไปใช้



รูปที่ 4.6 แสดงหม้อแปลงแบบสองขด

จากรูปที่ 4.6 แสดงลักษณะหม้อแปลงแบบง่าย ๆ ขดลวดทางอินพุทเรียกว่า ขดปฐมภูมิ และทางเอาต์พุทเรียกว่า ทติชภูมิ ความสัมพันธ์ของจำนวนรอบขดลวดและแรงดัน จะมีอัตราส่วนคงที่ คือ

$$N_p / N_s = V_p / V_s \dots\dots\dots 3.$$

$N_p$  และ  $V_p$  คือ จำนวนรอบขดลวดและแรงดันด้านปฐมภูมิ

$N_s$  และ  $V_s$  คือ จำนวนรอบขดลวดและแรงดันด้านทติชภูมิ

แรงดันเหนี่ยวนำจะเป็นไปตามการเปลี่ยนแปลงของฟลักซ์ ถ้าเราให้  $B$  อยู่ในช่วงที่เป็นเส้นตรง เราจะได้

$$B_{max} = V_p * 10^8 / KfN_p A_s \dots\dots\dots 4.$$

เมื่อ  $B_{max}$  คือ ความหนาแน่นของฟลักซ์สูงสุด

$V_p$  คือ แรงดันด้านปฐมภูมิเป็นโวลต์

$f$  คือ ความถี่เป็นเฮิรตซ์

เอกสารนี้เป็นเอกสารที่สงวนไว้สำหรับการใช้งานเพื่อการศึกษาเท่านั้น ไม่อนุญาตให้นำไปใช้ประโยชน์ด้านการค้าไม่ว่ากรณีใดๆทั้งสิ้น อีกทั้งห้ามมิให้ดัดแปลงเนื้อหา และต้องอ้างอิงถึงเจ้าของเอกสารทุกครั้งที่มีการนำไปใช้

- $N_p$  คือ จำนวนรอบขอลวดปฐมภูมิ
- $A_w$  คือ พื้นที่หน้าตัดของแกนเป็นตารางเซนติเมตร
- $K$  คือ ค่าคงที่มีค่า 4.44 สำหรับแรงดันรูปไซน์ และ 4.0 สำหรับแรงดันรูปสี่เหลี่ยม

ปกติค่า  $B_{max}$  จะเลือกที่ค่า  $B_{max}/2$  เพื่อให้แน่ใจว่าทำงานในช่วงที่เป็นเส้นตรง

ตัวประกอบที่สำคัญอีกสิ่งหนึ่งคือ พื้นที่สำหรับการวางเส้นลวดตัวนำ ซึ่งปกติจะพันอยู่บนตัวบ็อบบิน (Bobbin) ค่านี้จะเลือกให้เหมาะสมด้วย สำหรับความสามารถในการจ่ายกำลังของแกนเหล็กคำนวณจาก

$$P_{out} = (1.16B_{max} f d A_w A_c) * 10^{-6} \dots\dots\dots 5.$$

- เมื่อ  $P_{out}$  คือ กำลังที่จ่ายให้เป็นวัตต์
- $d$  คือ ความหนาแน่นของกระแสไฟในลวดตัวนำเป็นแอมป์ต่อตารางเมตร
- $A_w$  คือ พื้นที่หน้าตัดของแกนเป็นตารางเซนติเมตร
- $A_c$  คือ พื้นที่สำหรับพันขลวดบนบ็อบบินเป็นตารางเซนติเมตร

บางบริษัทพื้นที่ของบ็อบบินใช้สัญลักษณ์  $P_w$  หรือหน้าตัดบ็อบบินและความหนาแน่นของกระแสในสายใช้หน่วยเซอร์คูลาร์มิลล์ต่อแอมป์ (c.m/A) ใช้สัญลักษณ์  $D$  โดย

$$d = 1.27 * 10^6 / D \dots\dots\dots 6.$$

นำค่า  $d$  แทนลงในสมการ 5 จะได้

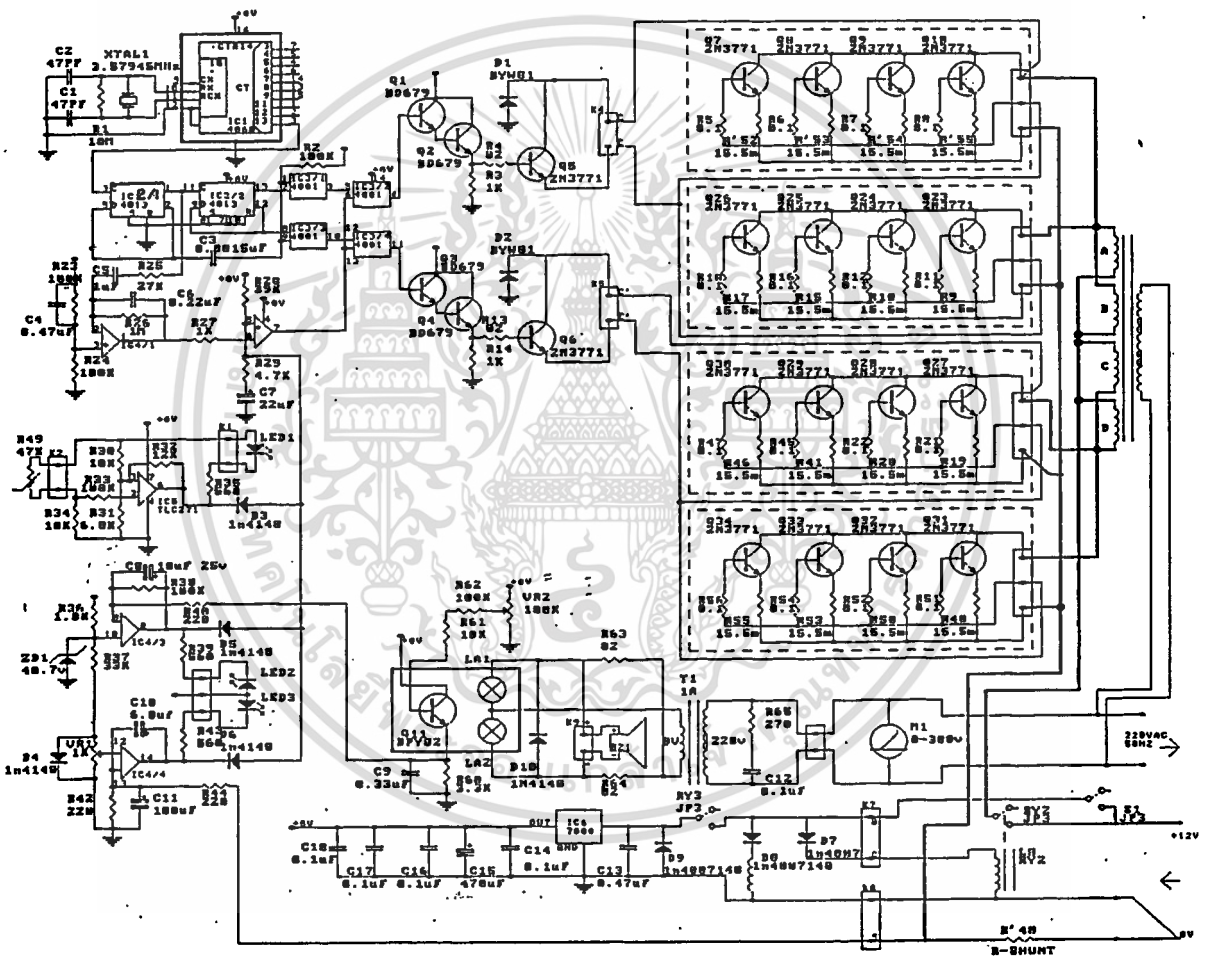
$$P_{out} = (1.47 f B_{max} A_w A_c) * 10^{-3} / D \dots\dots\dots 7.$$

ค่า  $D$  จะเทียบกับค่า 1000 เซอร์คูลาร์มิลล์ต่อแอมป์ ในทางปฏิบัติจะใช้ค่าเพียง 200-400 เพื่อความปลอดภัยของสาย

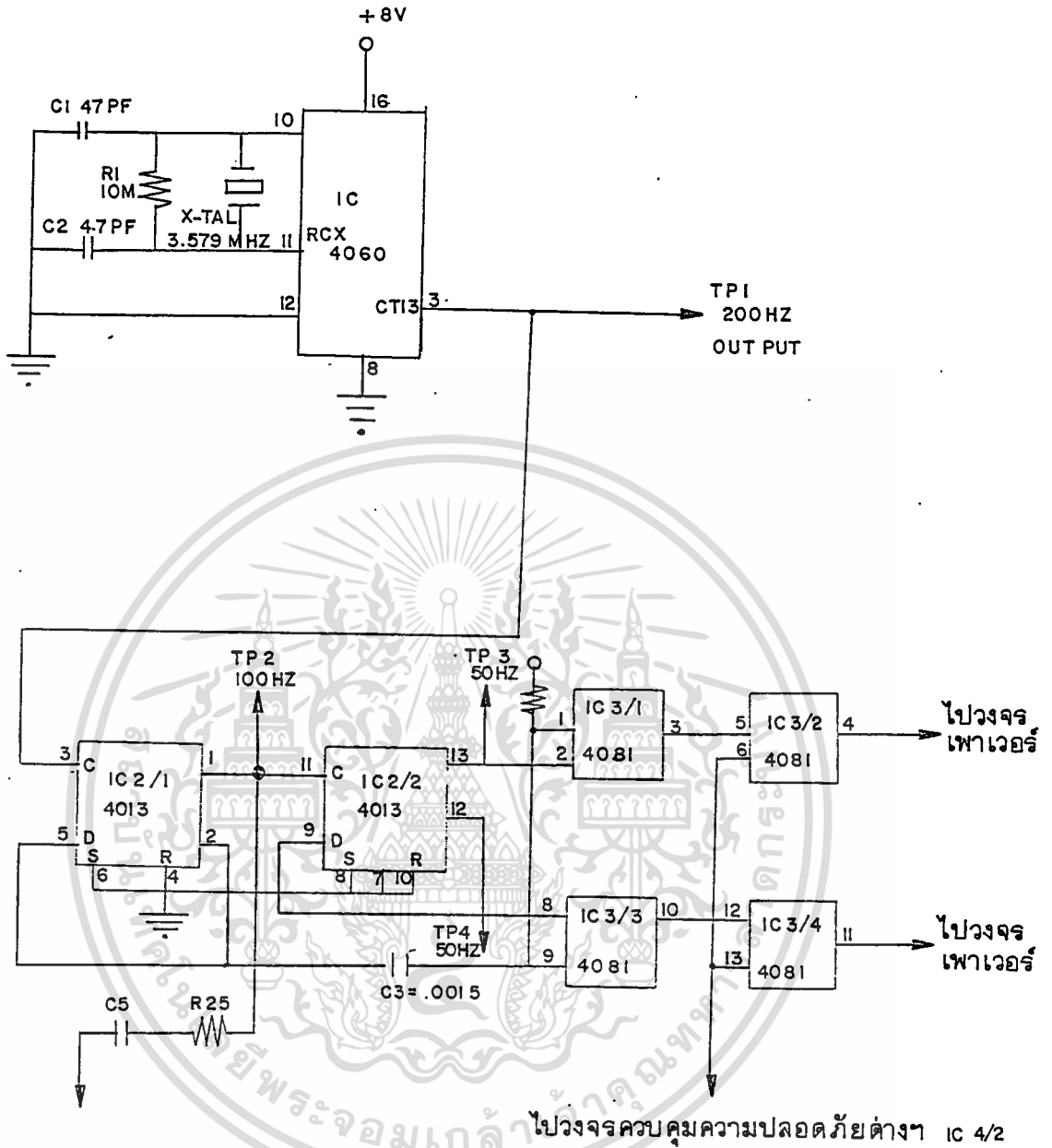
# บทที่ 5

## วงจรและการทำงานของโครงงาน (DC TO AC CONVERTER CIRCUIT)

### 5.1 วงจรและการทำงานของโครงงาน



เอกสารนี้เป็นเอกสารที่สงวนไว้รูปที่ 5.1 วงจรสมมุติของคอนเวอร์เตอร์ 600 VA ให้ใช้ประโยชน์ด้านการค้า  
ไม่ว่ากรณีใดๆทั้งสิ้น อีกทั้งห้ามมิให้ดัดแปลงเนื้อหา และต้องอ้างอิงถึงเจ้าของเอกสารทุกครั้งที่มีการนำไปใช้



รูปที่ 5.2 ก. วงจรกำเนิดความถี่

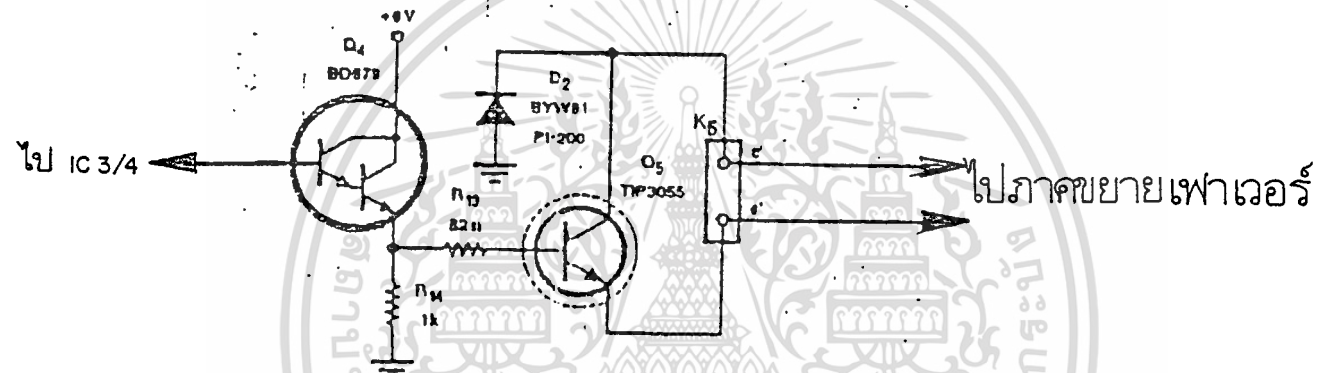
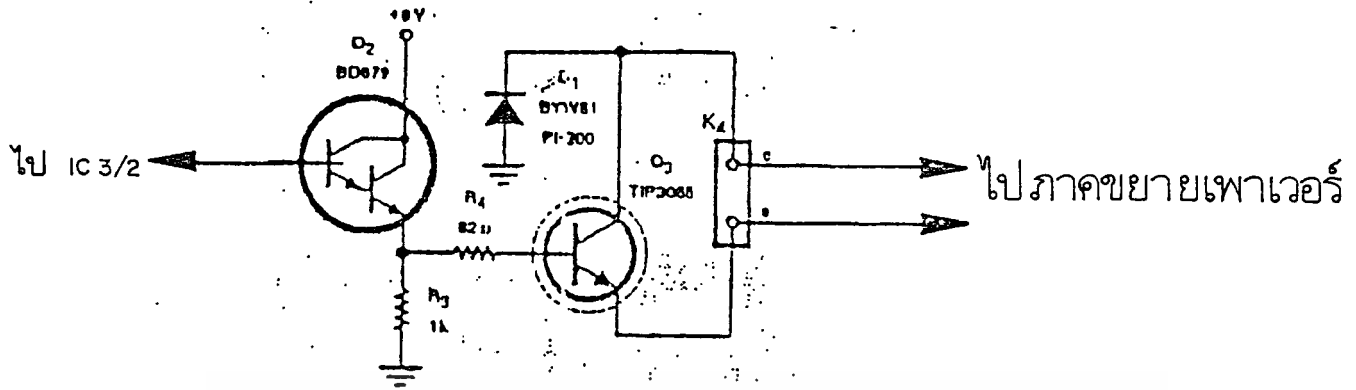
จุดทดสอบ (โดยใช้ออสซิลโลสโคป เครื่องวัดความถี่)

วัดที่ TP<sub>1</sub> จะได้ความถี่ 200 Hz

วัดที่ TP<sub>2</sub> จะได้ความถี่ 100 Hz

วัดที่ TP<sub>3</sub> และ TP<sub>4</sub> จะได้ความถี่ 50 Hz กลับเฟสกัน

ไม่มีจุดปรับแต่ง



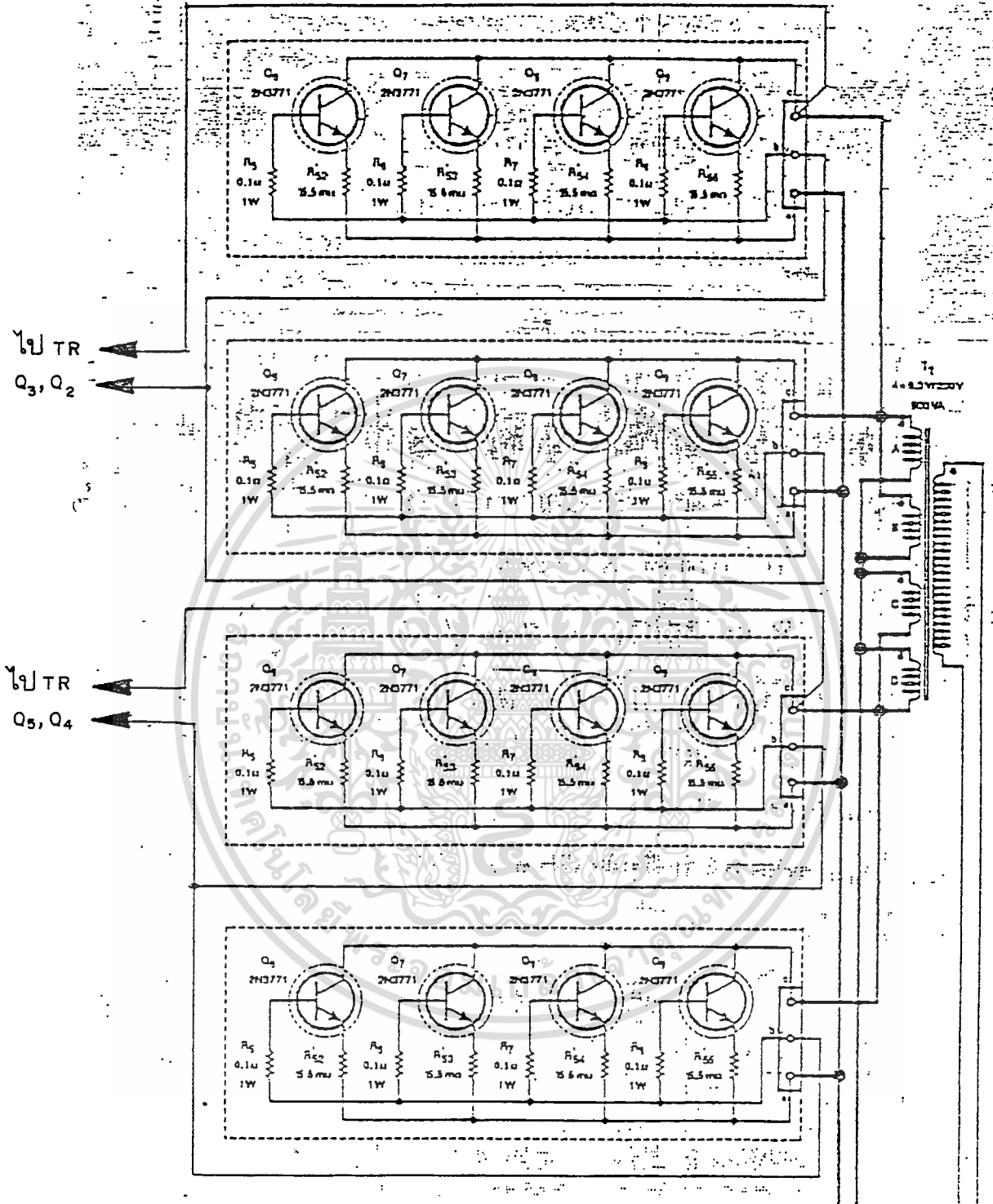
รูปที่ 5.2 ก.

เอกสารนี้เป็นเอกสารที่สงวนไว้สำหรับการใช้งานเพื่อการศึกษาเท่านั้น ไม่อนุญาตให้นำไปใช้ประโยชน์ด้านการค้า  
ไม่ว่ากรณีใดๆทั้งสิ้น อีกทั้งห้ามมิให้ตัดแปลงเนื้อหา และต้องอ้างอิงถึงเจ้าของเอกสารทุกครั้งที่มีการนำไปใช้

ในส่วนของวงจรควบคุมรูปที่ 5.2 ก. และ 5.2 ข. นี้จะมีคริสตอล  $X'tal_1$ , 3.579545 เมกะเฮิร์ตซ์ (หากไม่สามารถหาซื้อคริสตอลค่านี้ได้ตรง ๆ อนุโลมให้ใช้คริสตอลที่ค่าแตกต่างจากนี้ไม่เกิน 10 เปอร์เซ็นต์) เป็นตัวกำเนิดความถี่ที่คงที่ โดย  $IC_1$ , 4060 จะหารความถี่ลงมาจนเหลือเพียง 200 เฮิร์ตซ์ และส่งให้  $IC_{e/1}$  และ  $IC_{e/2}$  4013 ไบสเตรเบิลทอนความถี่ลงครึ่งหนึ่งเป็น 100 เฮิร์ตซ์ และ 50 เฮิร์ตซ์ ตามลำดับ ซึ่งความถี่ 50 เฮิร์ตซ์จากขา 12 และ 13 ของ  $IC_{e/2}$  นี้จะต่างเฟสกัน 180 องศา

สัญญาณนาฬิกาฐานเวลา 50 เฮิร์ตซ์ที่ต่างเฟสกันนี้จะต่อผ่านแอนด์เกต  $IC_{o/1}$  และ  $IC_{o/2}$  ซึ่งได้ออกแบบให้มีการเปิดเกิดในแต่ละรอบความถี่ไม่ซ้อนทับกัน กำหนดตัวค่าคงตัวเวลา  $R_e$  และ  $C_o$  เพื่อป้องกันไม่ให้เพาเวอร์ทรานซิสเตอร์มีโอกาสดำเนินงานพร้อมกัน เป็นการลดกำลังงานไปในตัว นอกจากนี้สัญญาณนาฬิกาฐานเวลานี้ยังต้องผ่านแอนด์เกต  $IC_{o/3}$  และ  $IC_{o/4}$  อีกด้าน ซึ่งเป็นด้านสำคัญที่รอกคอยสัญญาณควบคุมจากวงจรควบคุมความปลอดภัยต่าง ๆ เพื่อกำหนดความกว้างของพัลส์เอาต์พุตก่อนที่จะส่งไปไบแอสให้กับทรานซิสเตอร์  $Q_2$  และ  $Q_3$  (BD679) และสัญญาณนี้จะถูกขยายให้แรงขึ้นอีกครั้งด้วย  $Q_3$  และ  $Q_4$  (2N3055) ให้มีกำลังพอเพียงก่อนส่งไปไบแอสให้กับชุดโมดูลเพาเวอร์ทรานซิสเตอร์ในขั้นสุดท้ายต่อไป





รูปที่ 5.3 วงจรส่วนเพาเวอร์

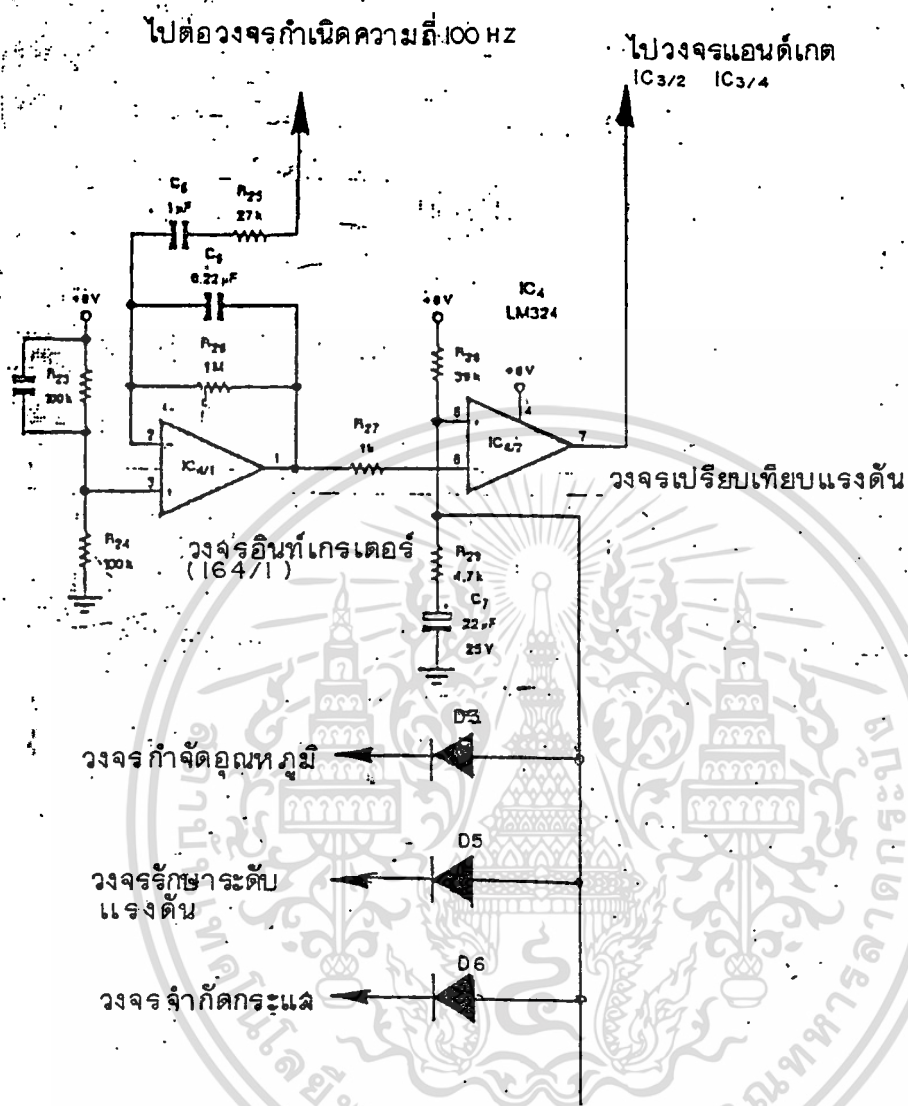
เอกสารนี้เป็นเอกสารที่สงวนไว้สำหรับการใช้งานเพื่อการศึกษาเท่านั้น ไม่อนุญาตให้นำไปใช้ประโยชน์ด้านการค้า  
ไม่ว่ากรณีใดๆทั้งสิ้น อีกทั้งห้ามมิให้ดัดแปลงเนื้อหา และต้องอ้างอิงถึงเจ้าของเอกสารทุกครั้งที่มีการนำไปใช้

จากรูปจะเห็นส่วนที่ซ้ำกันในเส้นประอยู่ 4 ชุด ซึ่งแต่ละชุดก็คือแต่ละโมดูลของส่วนเพาเวอร์ที่จะมาเชื่อมต่อกับบอร์ดแม่อีกที แต่ละชุดประกอบด้วยเพาเวอร์ทรานซิสเตอร์ 2N3771 ชุดละ 4 ตัวขนานกัน โดยมี  $R_{\epsilon_1} - R_{\epsilon_2}$  เป็นตัวต้านทานที่เบส และ  $R_{\epsilon_2} - R_{\epsilon_3}$  เป็นตัวต้านทานที่อิมิตเตอร์ ซึ่งตัวต้านทานค่าต่ำ ๆ ที่ใช้อิมิตเตอร์นี้ มีไว้เพื่อให้แน่ใจว่ากระแสส่วนที่ผ่านเพาเวอร์ทรานซิสเตอร์แต่ละตัวมีค่าประมาณ หรือใกล้เคียงกัน ไม่ผ่านทรานซิสเตอร์ตัวใดตัวหนึ่งมากกว่ากัน

เพาเวอร์โมดูลทั้ง 4 ชุดนี้ทำงานแบบพหุชุด โดยมีโมดูล 1 และ 2 ทำงานพร้อมกัน สับกัน โมดูล 3 และ 4 สาเหตุที่ต้องแบ่งแยกย่อยหลายชุด (2 ชุดต่อจังหวัดในที่นี้) ก็เพราะว่าสามารถจัดหาและจัดทำได้ง่ายกว่าการที่จะต้องเลือกใช้เพียงชุดเดียว แต่หาซื้ออุปกรณ์ยาก ราคาแพง และจัดทำลำบาก เสี่ยงหายที่ไม่คุ้ม

ชุดโมดูลเหล่านี้จะต่อผ่านชุดเซคันดารีทั้ง 4 ชุด ของหม้อแปลงหลัก  $T_2$  ซึ่งอยู่ในวงจรอนุกรมกับแบตเตอรี่ โดยแต่ละชุดจะถูกสั่งให้ตัด หรือต่อวงจรกับแบตเตอรี่จากวงจรควบคุม จึงเกิดเป็นแรงดันไฟสลับขึ้นที่ขดลวดทางด้านเซคันดารี และเหนี่ยวนำไปเป็นแรงดันไฟสลับเอาต์พุตทางด้านไพร์มารีต่อไป





รูปที่ 5.4 วงจรอินทิเกรเตอร์ และวงจรเปรียบเทียบแรงดัน

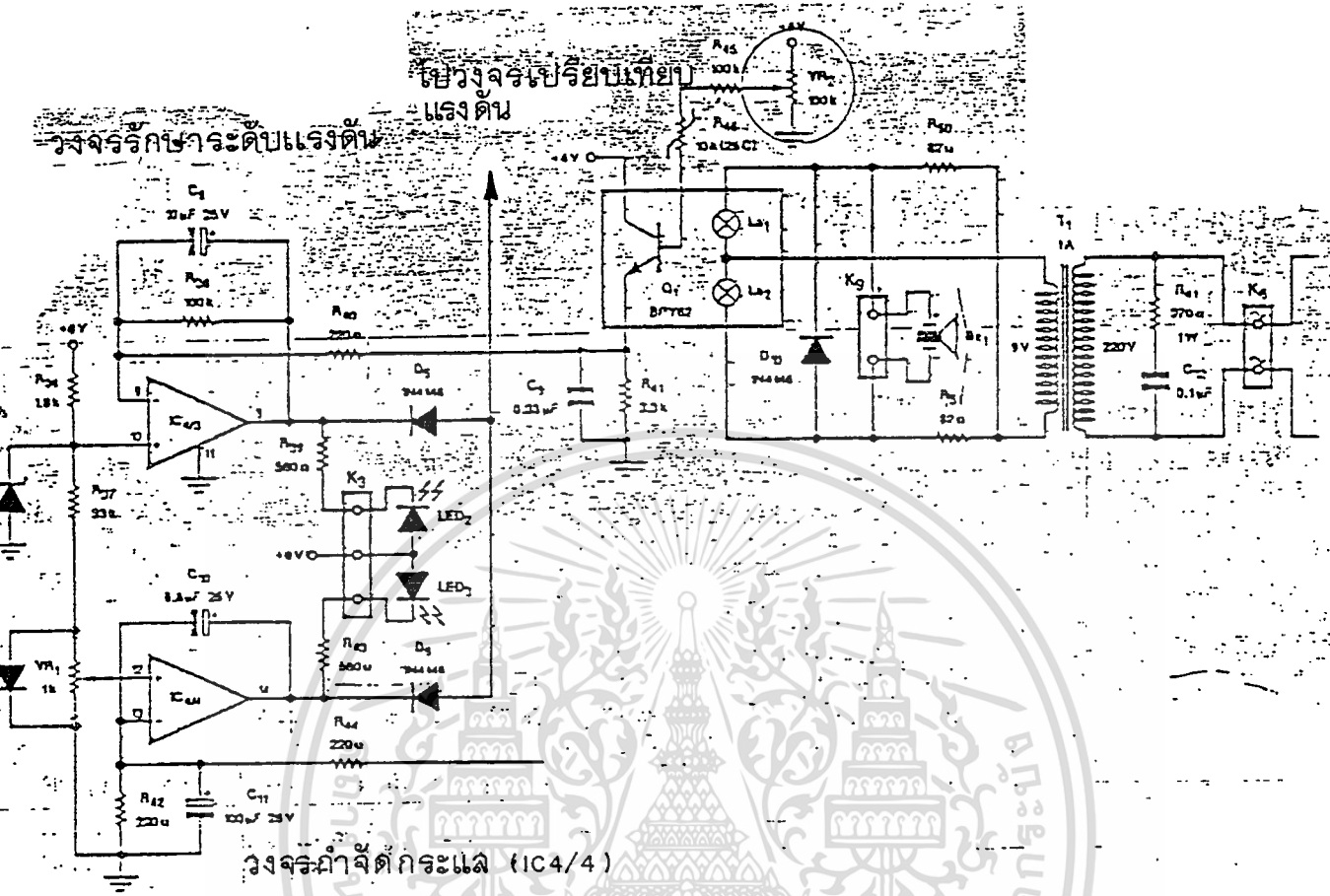
เอกสารนี้เป็นเอกสารที่สงวนไว้สำหรับการใช้งานเพื่อการศึกษาเท่านั้น ไม่อนุญาตให้นำไปใช้ประโยชน์ด้านการค้า  
ไม่ว่ากรณีใดๆทั้งสิ้น อีกทั้งห้ามมิให้ดัดแปลงเนื้อหา และต้องอ้างอิงถึงเจ้าของเอกสารทุกครั้งที่มีการนำไปใช้

### การทดสอบ

ทดลองนำหัวแร้งมาอังใกล้ ๆ กับ  $R_{40}$  ถ้าวงจรทำงานปกติ  $LED_1$  จะต้องสว่างขึ้น ทดลองเอาสโคปวัดที่เอาต์พุตของ  $IC_{4/e}$  (ขา 7) จะเห็นว่าขณะที่  $LED_1$  สว่างความกว้างพัลส์จะเริ่มเล็กลงจากรูปที่ 6 ในส่วนของวงจรจำกัดอุณหภูมิ ขาอินพุตกลับเฟสของ  $IC_5$  TLC271 (ขา 2) จะถูกป้อนด้วยแรงดันที่แปรผกผันกับอุณหภูมิจากตัวต้านทาน  $R_{40}$  ซึ่งเป็นตัวต้านทานแบบ NTC (negative temperature coefficient) และจะถูกติดตั้งไว้บนแผ่นระบายความร้อนของชุดโมดูลเพาเวอร์ทรานซิสเตอร์ชุดใดชุดหนึ่ง ส่วนขาอินพุตของ  $IC_5$  นั้นจะได้รับแรงดันคงที่จากวงจรแบ่งแรงดัน  $R_{30}$  และ  $R_{31}$  ในขณะที่อุณหภูมิเริ่มสูงขึ้น ค่าความต้านทานของ  $R_{40}$  ก็จะต่ำลง และเป็นผลทำให้แรงดันเอาต์พุต (ขา 6) ของ  $IC_5$  ลดต่ำลงใกล้เคียงกับกราวด์ ทำให้สามารถลดระดับแรงดันที่ขาไม่กลับเฟส (ขา 5  $IC_{4/e}$ ) ลงสู่กราวด์ได้โดยผ่านทางไดโอด  $D_9$  ในจังหวะนี้จะสังเกตเห็น  $D_{11}$  สว่างขึ้นและพัลส์เอาต์พุตของ  $IC_{4/e}$  ก็จะไม่แคบลง ทำให้ค่ากระแสเฉลี่ยที่ผ่านเพาเวอร์ทรานซิสเตอร์ และแรงดันไฟสลับนทางด้านเอาต์พุตลดต่ำลง ทั้งนี้ก็เพื่อให้อุณหภูมิที่เกิดขึ้นมีแนวโน้มลดลง ป้องกันการเสียหายที่เกิดขึ้นเนื่องจากอุณหภูมิสูงเกินไป สำหรับค่าความต้านทาน  $R_{32}$  นั้นถูกต่อเป็นวงจรป้อนกลับให้  $IC_5$  สำหรับสร้างฮิสเตอร์ซิสทางความร้อนประมาณ 10 องศาเซลเซียส นั่นคือสมมติถ้า  $IC_5$  หยุดการทำงานที่ 60 องศาเซลเซียส  $IC_5$  จะเริ่มทำงานอีกครั้งก็ต่อเมื่ออุณหภูมิอยู่ราว ๆ 50 องศาเซลเซียส

วงจรรักษาระดับแรงดัน

เปรียบเทียบ  
แรงดัน



รูปที่ 5.6 วงจรตรวจระดับแรงดัน และจำกัดกระแส

จากรูปที่ 5.6 สำหรับในส่วนของวงจรรักษาแรงดัน IC<sub>1</sub> ก็จะใช้เปรียบเทียบระดับแรงดันคงที่ที่ขาอินพุตไม่กลับเฟส (ขา 10) จาก ZD<sub>1</sub> กับแรงดันที่ขาอินพุตกลับเฟส (ขา 9) ที่ส่งมาจากส่วนของออปโตไอโซเลเตอร์ ซึ่งประกอบด้วยโฟโตทรานซิสเตอร์ Q<sub>1</sub> RPY62 และหลอดอินแคนเดสเซนต์ La<sub>1</sub> และ La<sub>2</sub> โดยที่ความสว่างของหลอด La<sub>1</sub> และ La<sub>2</sub> นั้นขึ้นอยู่กับปริมาณแรงดันจากหม้อแปลง T<sub>1</sub> ซึ่งป้อนกลับมาจากหม้อแปลงหลัก T<sub>e</sub>

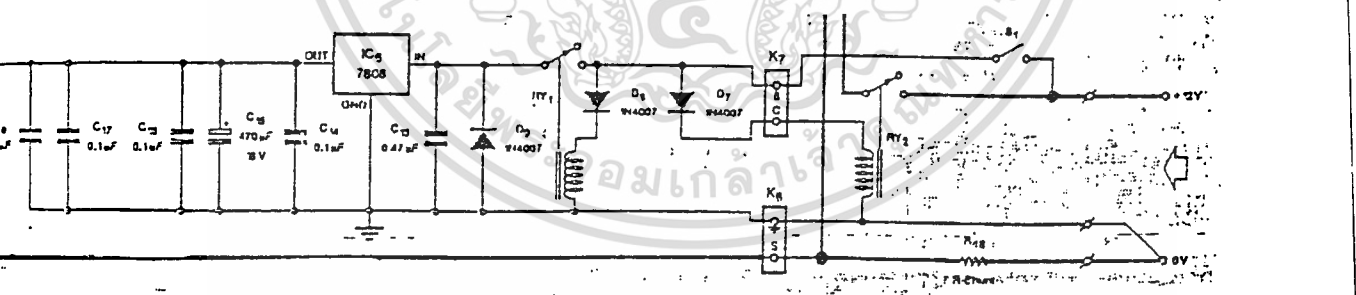
ในเวลาปกติโฟโตทรานซิสเตอร์ Q<sub>1</sub> จะได้รับการไบแอสเบสจากการจัดวงจรของ VR<sub>e</sub>, R<sub>45</sub> และ R<sub>46</sub> ในกรณีที่ได้รับความสว่างจากหลอดไฟเพิ่มมากขึ้น (หลังจากที่ปรับตั้งไบแอสด้วย VR<sub>e</sub> ไว้แล้ว) แรงดันตกคร่อม R<sub>41</sub> ก็จะมีมากขึ้นทำให้แรงดันที่ขาอินพุตกลับเฟส (ขา 9) ของ IC<sub>1</sub> มีค่า

เอกสารนี้เป็นเอกสารที่สงวนไว้สำหรับการใช้งานเพื่อการศึกษาเท่านั้น ไม่อนุญาตให้นำไปใช้ประโยชน์ด้านการค้า  
ไม่ว่ากรณีใดๆทั้งสิ้น อีกทั้งห้ามมิให้ดัดแปลงเนื้อหา และต้องอ้างอิงถึงเจ้าของเอกสารทุกครั้งที่มีการนำไปใช้

สูงกว่าแรงดันอ้างอิงที่ขาอินพุตไม่กลับเฟส (ขา 10) จึงทำให้เอาต์พุตต่ำลงระดับกราวด์ จะสังเกตได้ว่าพัลส์เอาต์พุตของ IC<sub>4/e</sub> แคมลงเพื่อไปปรับระดับแรงดันเอาต์พุตให้เข้าสู่สมดุล

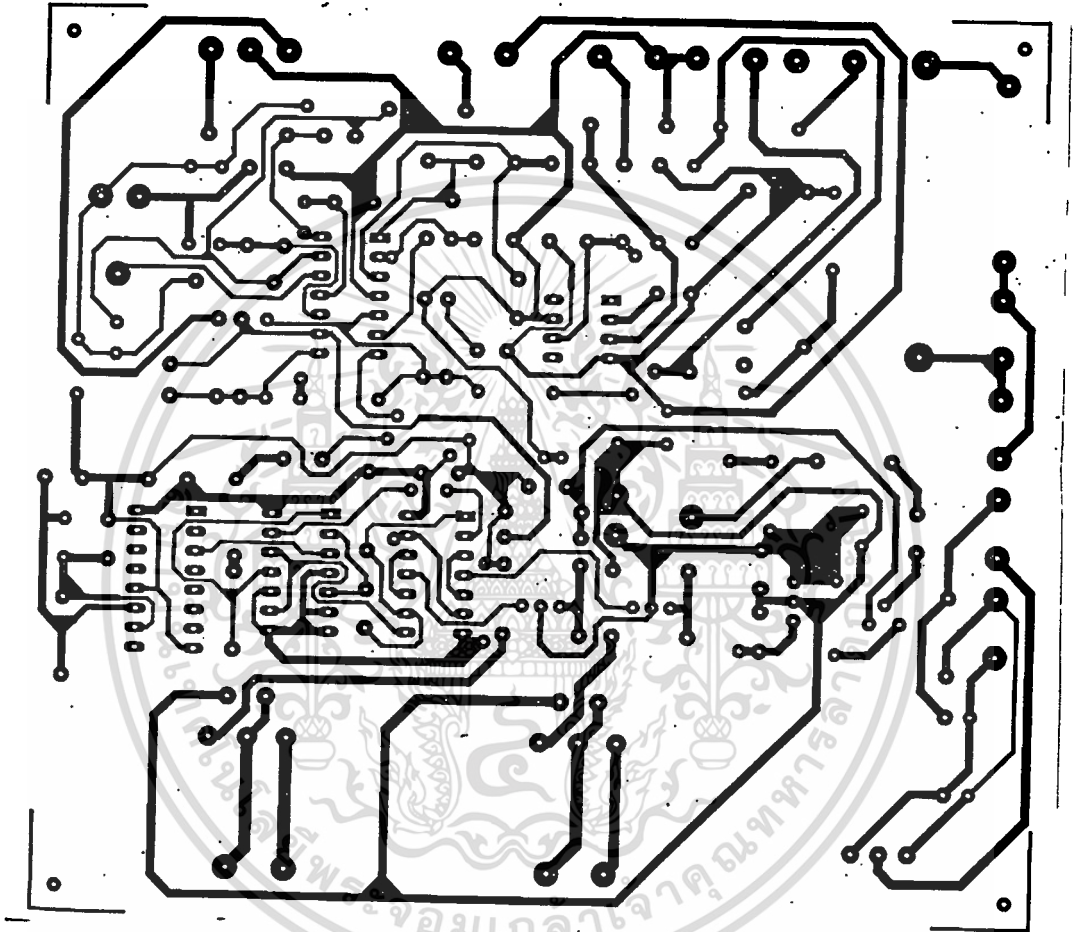
จะเห็นได้ว่าในส่วนของวงจรรอบปัดไอโซเลเตอร์นั้นมีเพียโซอิเล็กทริกอยู่ด้วย ซึ่งถูกต่อไว้เพื่อเตือนหากมีหลอดไฟหลอดใดหลอดหนึ่งขาดเสียหาย ในยามปกติเพียโซอิเล็กทริกตัวนี้จะไม่ส่งเสียง เนื่องจากถูกต่อไว้แบบบริดจ์สมดุลไม่มีแรงดันตกคร่อม ต่อเมื่อหลอดใดหลอดหนึ่งขาดเพียโซอิเล็กทริกก็จะถูกต่อเข้ากับไฟสลัป 9 โวลต์ จากหม้อแปลง T<sub>1</sub> ผ่านทาง R<sub>50</sub> และ R<sub>51</sub> และส่งเสียงดังเตือน

ส่วนที่สำคัญอีกส่วนหนึ่งของวงจรควบคุม คือส่วนของวงจรจำกัดกระแสถ้าสังเกตวงจรในรูปที่ 2 ดี ๆ จะเห็นว่าโหมดูลของเพาเวอร์ทรานซิสเตอร์แต่ละชุดไม่ จากจุดนี้มาเป็นแรงดันเปรียบเทียบกับแรงดันอ้างอิงที่ IC<sub>4/f</sub> เมื่อแรงดันตกคร่อม R<sub>40</sub> มีค่าสูงขึ้น จนทำให้แรงดันที่ขาอินพุตไม่กลับเฟส (ขา 13) ของ IC<sub>4/f</sub> มากกว่าขาอินพุตกลับเฟส (ขา 12) แล้วเอาต์พุตของ IC<sub>4/f</sub> ก็จะต่ำลง ทำให้ไดโอด D<sub>6</sub> นำกระแสพัลส์ เอาต์พุตของ IC<sub>4/e</sub> ก็จะมีค่าตัวต้านแปรลดลง เพื่อลดปริมาณกระแส และแรงดันเอาต์พุต และขณะนี้ LED<sub>2</sub> จะสว่างเตือนว่ามีการใช้กระแสเกิน สำหรับการตั้งค่ากระแสจำกัดสามารถปรับตั้งได้ที่ VR<sub>1</sub> ซึ่งไม่จำเป็นที่จะต้องปรับตั้งไว้ที่ค่ากระแสสูงสุดก็ได้ หรือแล้วแต่ปริมาณกระแสจำกัดที่ต้องการ จะเพื่อความปลอดภัย หรืออะไรก็ตามแต่



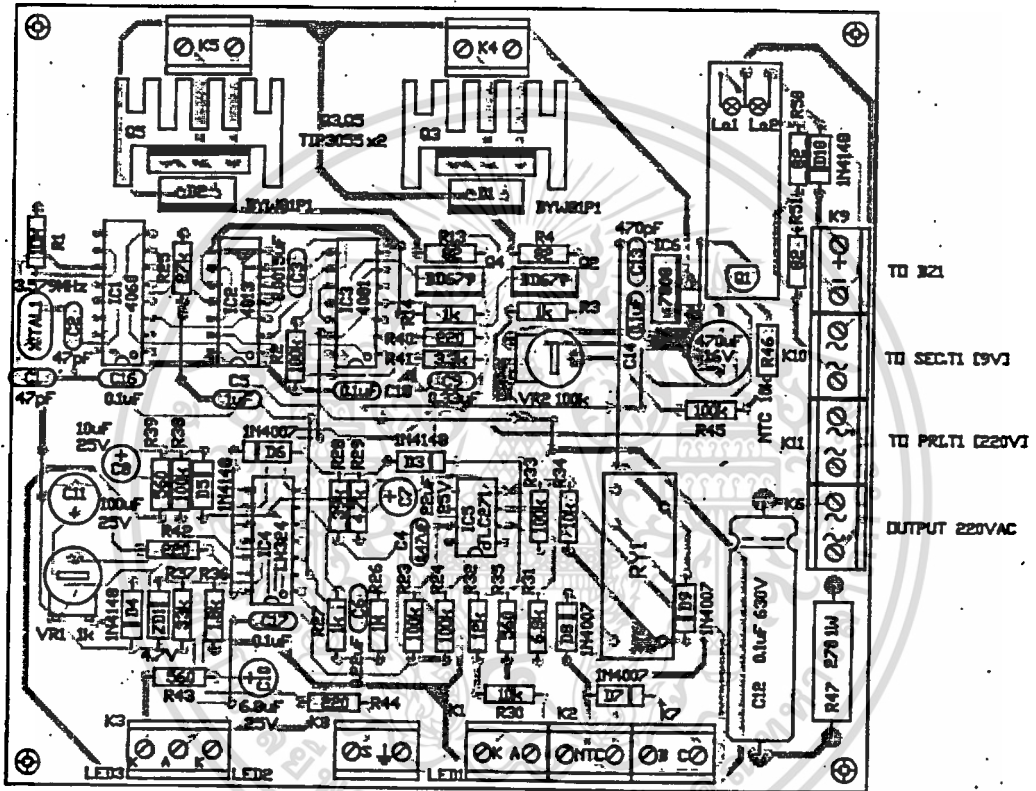
รูปที่ 5.7 วงจรเพาเวอร์ซัพพลาย

เอกสารนี้เป็นเอกสารที่สงวนไว้สำหรับการใช้งานเพื่อการศึกษาเท่านั้น ไม่อนุญาตให้นำไปใช้ประโยชน์ด้านการค้า ไม่ว่าจะกรณีใดๆทั้งสิ้น อีกทั้งห้ามมิให้ดัดแปลงเนื้อหา และต้องอ้างอิงถึงเจ้าของเอกสารทุกครั้งที่มีการนำไปใช้



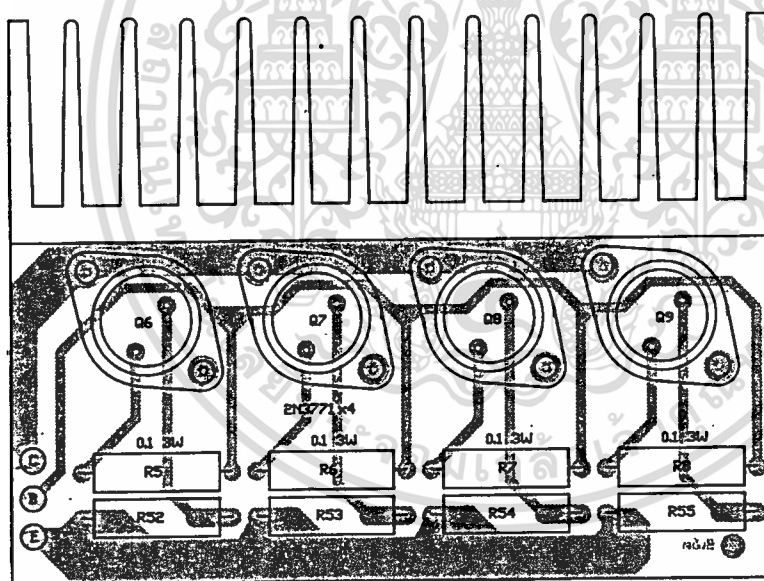
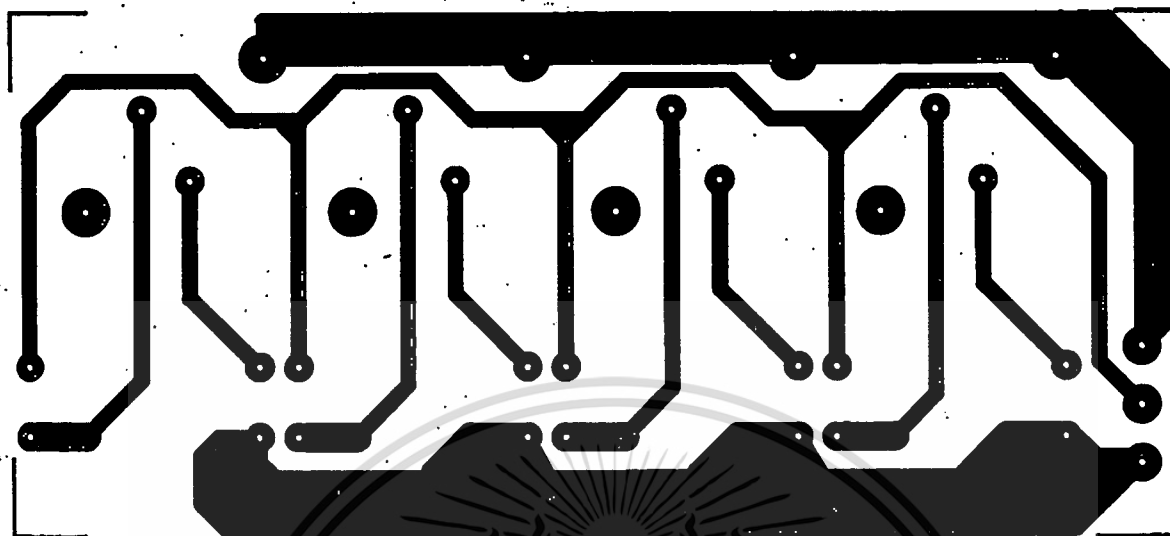
รูปที่ 5.8 ก. แผ่วงจรพิมพ์บอร์ดแม่ของคอนเวอร์เตอร์ 600 VA ด้านลายทองแดงขนาดเท่าแบบ

เอกสารนี้เป็นเอกสารที่สงวนไว้สำหรับการใช้งานเพื่อการศึกษาเท่านั้น ไม่อนุญาตให้นำไปใช้ประโยชน์ด้านการค้า  
ไม่ว่ากรณีใดๆทั้งสิ้น อีกทั้งห้ามมิให้ตัดแปลงเนื้อหา และต้องอ้างอิงถึงเจ้าของเอกสารทุกครั้งที่มีการนำไปใช้



รูปที่ 5.8 ข. การลงตำแหน่งอุปกรณ์ของคอนเวอร์เตอร์ 600 VA

เอกสารนี้เป็นเอกสารที่สงวนไว้สำหรับการใช้งานเพื่อการศึกษาเท่านั้น ไม่อนุญาตให้นำไปใช้ประโยชน์ด้านการค้า  
ไม่ว่ากรณีใดๆทั้งสิ้น อีกทั้งห้ามมิให้ตัดแปลงเนื้อหา และต้องอ้างอิงถึงเจ้าของเอกสารทุกครั้งที่มีการนำไปใช้



รูปที่ 5.9 แผงวงจรพิมพ์บอร์ดโมดูลเพาเวอร์ทรานซิสเตอร์ของคอนเวอร์เตอร์ 600 VA  
ด้านลายทองแดงขนาดเท่าแบบ และการลงตำแหน่งอุปกรณ์

เอกสารนี้เป็นเอกสารที่สงวนไว้สำหรับการใช้งานเพื่อการศึกษาเท่านั้น ไม่อนุญาตให้นำไปใช้ประโยชน์ด้านการค้า  
ไม่ว่ากรณีใดๆทั้งสิ้น อีกทั้งห้ามมิให้ตัดแปลงเนื้อหา และต้องอ้างอิงถึงเจ้าของเอกสารทุกครั้งที่มีการนำไปใช้

### 5.2 การทดสอบและปรับแต่ง

เราจะไม่ใช้วิธีทดสอบที่เตรียมทั้งหมด จะแยกชุดควบคุมออกจากชุดเพาเวอร์ก่อน โดยการปลดสายที่เชื่อมต่อกับชุดเพาเวอร์ออกทั้งหมด ทดลองป้อนแรงดันไฟตรง 12 โวลต์ ชั่วบวกรูเข้าที่ขาแคโทดของไดโอด  $D_1$  และขั้วลบเข้าที่แอโนดของ  $D_1$  และป้อนไฟสลับ 220 โวลต์จากวาริแอก (ออโตทรานส์ฟอร์เมอร์) ให้กับขดไฟร์มารี่ของหม้อแปลง  $T_1$  โดยต้องปลดสายของหม้อแปลง  $T_2$  ออกก่อน

ทดสอบตั้งแต่ภาคกำเนิดความถี่ด้วยออสซิลโลสโคป ในตำแหน่งเอาต์พุตของ  $IC_{3/2}$  และ  $IC_{3/4}$  ว่าคุณสมบัติความถี่เท่าใด กลับเฟสกันหรือไม่มีความกว้างพัลส์เท่ากันหรือเปล่า พร้อมกันนั้นตรวจวัดเอาต์พุตที่ทรานซิสเตอร์ไดรฟ์  $Q_1$  และ  $Q_2$  ด้วยว่ามีสัญญาณเอาต์พุตหรือไม่

จากนั้นจะทำการทดสอบวงจรป้องกันต่าง ๆ ว่าสามารถทำงานได้ดีหรือไม่ เริ่มที่วงจรจำกัดอุณหภูมิ ( $IC_5$ ) ให้ทดลองนำหัวแร้งมาอังใกล้ ๆ กับ  $R_{4/2}$  ถ้าวางจรวดงานปกติ  $LED_1$  จะต้องสว่างขึ้น ทดลองเอาสโคปวัดที่เอาต์พุตของ  $IC_{4/2}$  (ขา 7) จะเห็นว่าขณะที่  $LED_1$  สว่าง ความกว้างพัลส์จะเริ่มเล็กลง

สำหรับวงจรรักษาระดับแรงดัน ( $IC_{4/3}$ ) นั้น ให้ทดลองปรับวาริแอกจนแรงดันสูงขึ้น (มากกว่า 220 โวลต์ แต่ระวังหลอด  $La_1$  และ  $La_2$  ขนาดด้วย) จะสังเกตเห็น  $LED_2$  สว่าง พร้อมกันนั้นพัลส์เอาต์พุตที่ขา 7 ของ  $IC_{4/2}$  จะมีความกว้างลดลง หากปรับวาริแอกแล้วไม่มีผล ให้ดูว่าปรับ  $VR_2$  ไว้ตำแหน่งกราวด์ หรือลัดวงจรลงกราวด์หรือไม่ ทดลองปรับ  $VR_2$  ว่าคุณมีผลกับความกว้างแคบของพัลส์เอาต์พุตของ  $IC_{4/2}$  หรือไม่

ส่วนวงจรจำกัดกระแสที่นั่นคงต้องรอทดสอบแบบเต็มระบบ จะกล่าวถึงอีกครั้ง

เมื่อแน่ใจแล้วว่าวงจรควบคุมสามารถทำงานได้ดีในระดับน่าพึงพอใจ ก็ให้เดินสายเชื่อมโงวงจรทุกอย่างตามรูปที่ 5 ทดลองจ่ายไฟแบบเตอร์เข้าวงจร (กรุณาอย่าใช้แหล่งจ่ายไฟตรงทดสอบ เพราะอาจเสียหายได้เนื่องจากกระแสเกิน และฮาร์โมนิกที่เกิดจากคอนเวอร์เตอร์) เปิดสวิตช์แล้วสังเกตมิเตอร์ที่หน้าปัดด้วยว่าแรงดันเป็นอย่างไร ดูความผิดปกติที่เกิดขึ้น หากทางแก้ไขก่อนที่จะทดลองอีกครั้ง ถ้าวางจรวดเป็นปกติแรงดันจะแกว่งมาหยุดที่ตำแหน่งหนึ่ง อาจจะไม่ถึง 220 หรือเลข 220 โวลต์ ไป กระแสขณะไม่มีโหลดจะกินประมาณ 1 แอมป์ หากไม่มีอะไรเกิดขึ้นระหว่างนี้ให้ทดลองปรับ  $VR_2$  จนได้แรงดันที่ 220 โวลต์ ทั้งไว้ครู่ใหญ่ ๆ ว่าคุณมีการเปลี่ยนแปลงของแรงดันไปมาก หรือเปล่า (เนื่องจากอุณหภูมิ) หากพบว่าปกติให้ลองทดสอบกับโหลดที่เป็นหลอดไฟสัก 100 วัตต์ จะสังเกตเห็นแรงดันตกนิดหน่อย ก็อาจจะปรับ  $VR_2$  ชั่ว (หากคุณต้องใช้หลอดขนาดเท่านี้ประจำ) ทั้งไว้สัก 10 นาที ดูว่าแรงดันเปลี่ยนแปลงเกินกว่า 3-5 โวลต์ หรือไม่ หากพบว่าเปลี่ยนแปลงมากให้เปลี่ยน  $R_{4/2}$  จาก 10 กิโลโอห์ม เป็น 5 กิโลโอห์ม (25 องศาเซลเซียส)

เอกสารนี้เป็นเอกสารที่สงวนไว้สำหรับการใช้งานเพื่อการศึกษาเท่านั้น ไม่นอนุญาตให้นำไปใช้ประโยชน์ด้านการค้าไม่ว่ากรณีใดๆทั้งสิ้น อีกทั้งห้ามมิให้ดัดแปลงเนื้อหา และต้องอ้างอิงถึงเจ้าของเอกสารทุกครั้งที่มีการนำไปใช้

ตามสเปกของวงจรแล้ว คอนเวอเตอร์ตัวนี้สามารถรับโหลดได้สบาย ๆ ที่ 600 วัตต์ (25 องศาเซลเซียส) ดังนั้นเราสามารถจะปรับตั้งวงจรจำกัดกระแสไว้ที่โหลด 600 วัตต์ ได้ ขั้นตอนก็คือเพิ่มหลอดไฟขนาด 100 วัตต์ เข้าไปอีกจนครบ 6 ดวง แล้วปรับ VR<sub>1</sub> กลับมาเล็กน้อย ลองทดสอบหลังจากปรับตั้ง โดยการทดลองเพิ่มโหลดเข้าไปอีกสัก 20-40 วัตต์ LED<sub>2</sub> จะต้องเริ่มสว่าง และแรงดันจะตกลง

จากการทดลองใช้งาน (เครื่องต้นแบบในรูปที่ 6) ที่โหลดเกินกว่า 300 วัตต์ ในบรรยากาศบนท้องถนนยามเที่ยง (ไม่มีแอร์) จำเป็นต้องใช้พัดลมช่วยระบายอากาศเพิ่มเติม และถ้าสังเกตดี ๆ จะเห็น LED<sub>2</sub> สว่างติดอยู่ตลอดเวลา นั้นหมายถึง ว่าวงจรมีการปรับตัวเพื่อรักษาระดับแรงดันอยู่ตลอดเวลา

ข้อควรจำอย่างหนึ่งก็คือ แบตเตอรี่มีกำลังงานจำกัด การใช้โหลดอย่างหนักหน่วง และต่อเนื่อง ไม่ช้าไม่นานกำลังงานก็หมดลง ขณะไม่มีโหลดคอนเวอเตอร์ตัวนี้ก็กินกระแสประมาณ 1 แอมป์ ขณะที่โหลด 100 วัตต์ กินกระแสประมาณ 10 แอมป์ ขณะที่โหลดเต็มพิกัดอาจจะกินกระแสถึง 80 แอมป์ จึงควรรู้อุปกรณ์ของแบตเตอรี่ที่นำไปใช้งานพอสมควรอย่างน้อยที่สุดก็เรื่องอัตราการจ่ายกระแสที่สามารถจ่ายได้กี่แอมป์. ชั่วโมงสำหรับการใช้งานที่ปลอดภัย และมีประสิทธิภาพที่สุดของแบตเตอรี่ ก็คือควรงานที่ประมาณ 60 % ของอัตราการจ่ายกระแสสูงสุดต่อชั่วโมง



เอกสารนี้เป็นเอกสารที่สงวนไว้สำหรับการใช้งานเพื่อการศึกษาเท่านั้น ไม่อนุญาตให้นำไปใช้ประโยชน์ด้านการค้า  
ไม่ว่ากรณีใดๆทั้งสิ้น อีกทั้งห้ามมิให้คัดแปลงเนื้อหา และต้องอ้างอิงถึงเจ้าของเอกสารทุกครั้งที่มีการนำไปใช้

## รายการอุปกรณ์

### บอร์ดควบคุมตัวต้านทาน 1/4 วัตต์ + 5%

R <sub>1</sub> - 10 M $\curvearrowright$	1 ตัว
R <sub>2</sub> , R <sub>23</sub> , R <sub>24</sub> , R <sub>33</sub> , R <sub>38</sub> , R <sub>45</sub> - 100 k $\curvearrowright$	6 ตัว
R <sub>3</sub> , R <sub>14</sub> , R <sub>27</sub> - 1 k $\curvearrowright$	3 ตัว
R <sub>4</sub> , R <sub>13</sub> , R <sub>50</sub> , R <sub>51</sub> - 82 $\curvearrowright$	4 ตัว
R <sub>25</sub> - 27 k $\curvearrowright$	1 ตัว
R <sub>26</sub> - 1 M $\curvearrowright$	1 ตัว
R <sub>28</sub> - 39 k $\curvearrowright$	1 ตัว
R <sub>29</sub> - 4.7 k $\curvearrowright$	1 ตัว
R <sub>30</sub> , R <sub>34</sub> - 10 k $\curvearrowright$	2 ตัว
R <sub>31</sub> - 6.8 k $\curvearrowright$	1 ตัว
R <sub>32</sub> - 12 K $\curvearrowright$	1 ตัว
R <sub>35</sub> , R <sub>39</sub> , R <sub>43</sub> - 560 $\curvearrowright$	3 ตัว
R <sub>36</sub> - 1.8 k $\curvearrowright$	1 ตัว
R <sub>37</sub> - 33 k $\curvearrowright$	1 ตัว
R <sub>40</sub> , R <sub>42</sub> , R <sub>44</sub> - 220 $\curvearrowright$	3 ตัว
R <sub>41</sub> - 3.3 k $\curvearrowright$	1 ตัว
R <sub>46</sub> - เทอร์มิสเตอร์ 10 k (ที่ องค์ฯ เซลเซียส) NTC	1 ตัว
R <sub>47</sub> - 270 $\curvearrowright$ 1 วัตต์	1 ตัว
R <sub>48</sub> - คูณเนื้อเรื่อง	
R <sub>49</sub> - เทอร์มิสเตอร์ 47 k (ที่ 25 องค์ฯ เซลเซียส) NTC	1 ตัว
VR <sub>1</sub> - 1 k $\curvearrowright$ มัลติเทอร์น	1 ตัว
VR <sub>2</sub> - 100 k $\curvearrowright$ มัลติเทอร์น	1 ตัว

เอกสารนี้เป็นเอกสารที่สงวนไว้สำหรับการใช้งานเพื่อการศึกษาเท่านั้น ไม่อนุญาตให้นำไปใช้ประโยชน์ด้านการค้า  
ไม่ว่ากรณีใดๆทั้งสิ้น อีกทั้งห้ามมิให้ตัดแปลงเนื้อหา และต้องอ้างอิงถึงเจ้าของเอกสารทุกครั้งที่มีการนำไปใช้

## ตัวเก็บประจุ

$C_1, C_2$	- 47 pF 63 V โพลีเอสเตอร์	2	ตัว
$C_3$	- 0.0015 uF 63 V โพลีเอสเตอร์	1	ตัว
$C_4, C_{13}$	- 0.47 uF 63 V โพลีเอสเตอร์	2	ตัว
$C_5$	- 1 uF 25 V แทนทาลัม	1	ตัว
$C_6$	- 1.22 uF 63 V โพลีเอสเตอร์	1	ตัว
$C_7$	- 22 uF 25 V แทนทาลัม	1	ตัว
$C_8$	- 10 uF 25 V แทนทาลัม	1	ตัว
$C_9$	- 0.33 uF 63 V โพลีเอสเตอร์	1	ตัว
$C_{10}$	- 6.8 uF 25 V แทนทาลัม	1	ตัว
$C_{11}$	- 100 uF 25 V อิเล็กโทรไลต์	1	ตัว
$C_{12}$	- 0.1 uF 630 V ไมลาร์	1	ตัว
$C_{14}, C_{16}, C_{17}, C_{18}$	- 0.1 uF 63 V โพลีเอสเตอร์	4	ตัว
$C_{15}$	- 470 uF 16 V อิเล็กโทรไลต์	1	ตัว

## อุปกรณ์สารกึ่งตัวนำ

$D_1, D_2$	- BYW81PI - 200	2	ตัว
$D_3, D_4$	- $D_8, D_{10}$ - 1N4148	5	ตัว
$D_7$	- $D_9$ - 1N4007	3	ตัว
$IC_1$	- 4046	1	ตัว
$IC_2$	- 4013	1	ตัว
$IC_3$	- 4081	1	ตัว
$IC_4$	- LM324	1	ตัว
$IC_5$	- TLC271	1	ตัว
$IC_6$	- 7808	1	ตัว
$LED_1$	- สีแดง	1	ตัว
$LED_2$	- สีเขียว	1	ตัว
$LED_3$	- สีเหลือง	1	ตัว
$Q_1$	- BPY62/2 พัวตัททรานซิสเตอร์	1	ตัว
$Q_2, Q_4$	- BD679	2	ตัว
$Q_3, Q_5$	- TIP3055	2	ตัว

เอกสารนี้เป็นเอกสารที่สงวนลิขสิทธิ์ของมหาวิทยาลัยเทคโนโลยีพระจอมเกล้าเจ้าคุณทหารลาดกระบัง ไม่อนุญาตให้ทำซ้ำโดยไม่ได้รับอนุญาต

ไม่ว่ากรณีใดๆทั้งสิ้น อีกทั้งห้ามมิให้ตัดแปลงเนื้อหา และต้องอ้างอิงถึงเจ้าของเอกสารทุกครั้งที่มีการนำไปใช้

### อื่น ๆ

$La_1, La_2$ - หลอดไฟเล็ก 12 โวลต์ 100 มิลลิวัตต์	2	ดวง
$S_1$ - สวิตช์ปิด/เปิด 220 V 2 A	1	ตัว
$Xtal_1$ - คริสตัล 3.579545 MHz	1	ตัว
$RY_1$ - รีเลย์ 12 โวลต์ แบบหน้าสัมผัสเดี่ยว 8 แอมป์	1	ตัว
$RY_2$ - รีเลย์ 12 โวลต์ แบบหน้าสัมผัสเดี่ยว 70 แอมป์	1	ตัว
$T_1$ - 220 V : 9 V 1 แอมป์	1	ตัว
$T_2$ - 220 V : 9.3 V 4 พด 600 VA	1	ตัว



เอกสารนี้เป็นเอกสารที่สงวนไว้สำหรับการใช้งานเพื่อการศึกษาเท่านั้น ไม่อนุญาตให้นำไปใช้ประโยชน์ด้านการค้า  
ไม่ว่ากรณีใดๆทั้งสิ้น อีกทั้งห้ามมิให้ตัดแปลงเนื้อหา และต้องอ้างอิงถึงเจ้าของเอกสารทุกครั้งที่มีการนำไปใช้

# บทที่ 6

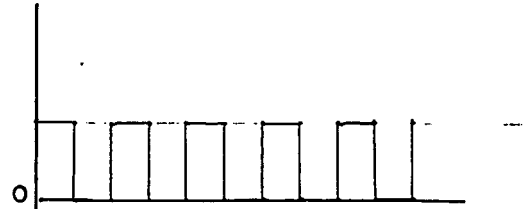
## ผลการทดลองของโครงการงาน

### 6.1 ผลการทดลอง

1. วัดค่า Out Put ได้ 220 VOLT ขณะ NON LOAD

2. วัดค่า RATE FREQUENCY และ WAVE FORM Out Put

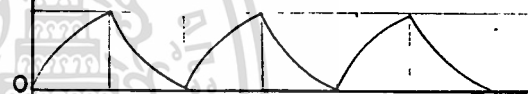
ที่ขา 3 IC4060 ความถี่ 200 Hz



ที่ขา 1 IC2/1 4013 ความถี่ 100 Hz



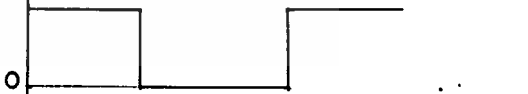
ที่ขา 1 IC4/1 LM324 ความถี่ 100 Hz



ที่ขา 7 IC4/2 LM324



ที่ขา 12 IC2/2 4013 ความถี่ 50 Hz



ที่ขา 13 IC2/2 4013 ความถี่ 50 Hz

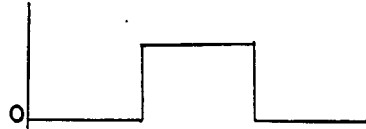


ที่ขา 3 IC3/1 4081 ความถี่ 50 Hz



เอกสารนี้เป็นเอกสารที่สงวนไว้สำหรับการใช้งานเพื่อการศึกษาเท่านั้น ไม่อนุญาตให้นำไปใช้ประโยชน์ด้านการค้า  
ไม่ว่ากรณีใดๆทั้งสิ้น อีกทั้งห้ามมิให้ตัดแปลงเนื้อหา และต้องอ้างอิงถึงเจ้าของเอกสารทุกครั้งที่มีการนำไปใช้

ทฤษฎี 10 IC3/3 4081 ความถี่ 50 Hz



ทฤษฎี 4 IC3/2 4081 ความถี่ 50 Hz



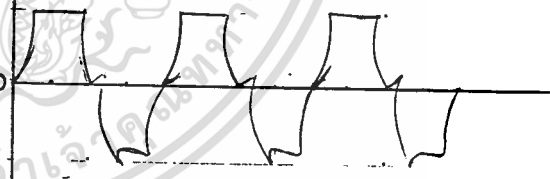
ทฤษฎี 11 IC3/4 4081 ความถี่ 50 Hz



วัดค่า Out Put 220 V เมื่อไม่มี Load



วัดค่า Out Put 220 V เมื่อมี Load  
โหลดไฟขนาด 100 WATS.



3. ทดสอบกับเครื่องใช้ไฟฟ้า

เครื่องใช้ไฟฟ้า	POWER (WATT)	กระแสอินพุต AC (แอมแปร์)	แรงดันเอาต์พุต (โวลต์)	กระแสอินพุต DC (แอมแปร์)	หมายเหตุ
NON LOAD	-	-	222	0.7	
หลอดไฟ	100	0.45	220	11.0	
หลอดไฟ	200	0.09	230	21.0	
หลอดไฟ	300	1.32	230	32.0	
หลอดไฟ	400	1.63	220	43.0	
หลอดไฟ	500	1.83	195	54.0	
หลอดไฟ	600	1.95	185	66.0	
วิดีโอ	27	0.14	222	2.5	
โทรทัศน์	170	0.62	219	12.5	
วิทยุ	100	0.11	222	2.5	

หมายเหตุ

ใช้ BATTERY ขนาด 12 V. 35 AMP.HOUR

$$\text{ประสิทธิภาพของโครงการ} = \frac{P_{out}}{P_{in}} \times 100 \%$$

เมื่อ  $P_{out} = 600 \text{ วัตต์}$

$$P_{in} = V_{dc} I_{dc} = 12 \times 66 = 792$$

$$\text{ประสิทธิภาพของโครงการ} = \frac{600 \times 100}{792} \%$$

$$= 75.75 \%$$

$$= 75.75 \%$$

#### 4: ทดลองระบบป้องกันความปลอดภัยของวงจรต่าง ๆ

##### 4.1 วงจรจำกัดอุณหภูมิ

- ทดสอบที่วงจรจำกัดอุณหภูมิ IC<sub>5</sub> (TLC271) โคนนำหัวแร้งมาอังใกล้ ๆ กับ R49 ถ้าวงจรทำงานตามปกติ LED1 จะสว่างขึ้น ทดลองเอาสโคปวัดที่เอาต์พุตของ IC4/2 (ขา 7) LM324 จะเห็นว่า LED1 สว่าง ความกว้างของพัลส์จะลดลง ทำให้ค่ากระแสเฉลี่ยที่ผ่านเพาเวอร์ทรานซิสเตอร์และแรงดันไฟสลับทางด้านเอาต์พุตลดต่ำลง ทั้งนี้เพื่อให้อุณหภูมิที่เกิดขึ้นมีแนวโน้มลดลงป้องกันการเสียหายที่เกิดขึ้นเนื่องจากอุณหภูมิสูงเกินไป

##### 4.2 วงจรควบคุมแรงดัน

- สำหรับวงจรควบคุมแรงดัน IC4/3 (LM324) ให้ทดลองโดยปรับวารีแอกให้มีระดับแรงดันสูงขึ้นมากกว่า 220 โวลต์ แต่ต้องระวังหลอด La<sub>1</sub> และ La<sub>2</sub> ขาดด้วย จะสังเกตเห็น LED<sub>2</sub> สว่างขึ้น พร้อมกันนั้นพัลส์เอาต์พุตที่ขา 7 ของ IC4/2 (LM324) จะมีความกว้างลดลง เพื่อไปปรับระดับแรงดันเอาต์พุตให้สมดุลย์ หากปรับวารีแอกแล้วไม่มีผลให้ตรวจดูว่าปรับ VR<sub>2</sub> วัตต์ตำแหน่งกราวด์ หรือลัดวงจรลงกราวด์หรือไม่ ทดลองปรับ VR<sub>2</sub> ดูว่ามีผลกับความกว้างแคบของพัลส์เอาต์พุตของ IC4/2

##### 4.3 วงจรจำกัดกระแส

- ทดลองจ่ายไฟแบตเตอรี่เข้าวงจร กระแสขณะที่ไม่มี LOAD จะกินประมาณ 1 แอมป์ ทดสอบกับโหลดที่เป็นหลอดไฟขนาด 100 วัตต์ จะสังเกตว่าแรงดันตกลงมาเล็กน้อย ให้ปรับ VR<sub>2</sub> ขยับ เพิ่มขนาดหลอดไฟ 100 วัตต์ จนครบ 600 วัตต์ แล้วปรับ VR<sub>1</sub> จนกระทั่ง LED3 สว่างขึ้น เป็นการเตือนว่ามีการใช้กระแสเกินแล้วจึงบิด VR<sub>1</sub> กลับมาเล็กน้อย หลังจากปรับแต่งแล้วให้เพิ่มโหลดเข้าไป 20-40 วัตต์ LED3 จะสว่างขึ้นและแรงดันจะตกลง

##### 4.4 วงจรกำเนิดความถี่

- โดยทดสอบที่ตำแหน่งเอาต์พุตที่ขา 4 ของ IC3/2 และขา 11 ของ IC3/4 ด้วยออสซิลโลสโคป จะสังเกตว่าสัญญาณความถี่ที่เกิดขึ้นของ IC3/2 และ IC3/4 จะมีความถี่ขนาด 50 Hz และความกว้างของพัลส์เท่ากันแต่จะกลับเฟสกัน

## เอกสารอ้างอิง

- (1) NCE 600 VA CONVERTER OPERATION MANUAL, NEC JAPAN  
ศูนย์ฝึกโทรคมนาคม องค์การโทรศัพท์แห่งประเทศไทย
- (2) นิตยสาร SEMICONDUCTOR ELECTRONICS ฉบับที่ 132 ตุลาคม 2536
- (3) APPLICATION DATA, TEXAS INSTRUMENTS, USA.
- (4) CHRYSIS G, "HIGH FREQUENCY SWITCHING POWER SUPPLIES - THEORY AND DESIGN" 2<sup>nd</sup> ed., MCGRAW - HILL NEWYORK 1989
- (5) FISHER, M.J., POWER ELECTRONICS, PWS - KENT, BOSTON, 1991
- (6) MOTOROLA, LINEAR/SWITCHING MODE VOLTAGE REGULATOR HANDBOOK, REV 3, 1989
- (7) MOTOROLA, RECTIFIERS AND ZENER DIODE DATA, MOTOROLA DATA BOOK, DL 125, REV 4, 1988

๗



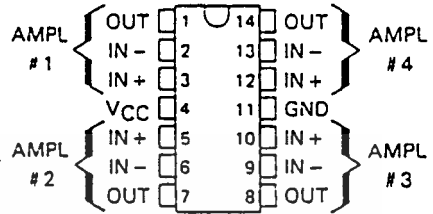
**LINEAR  
INTEGRATED  
CIRCUITS**

**TYPES LM124, LM224, LM224A,  
LM324, LM324A, LM2902**

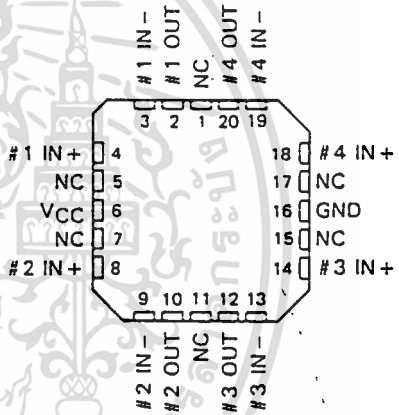
D1990, SEPTEMBER 1975 - REVISED SEPTEMBER 1983

- **Wide Range of Supply Voltages:**  
Single Supply . . . 3 V to 30 V  
(LM2902 . . . 3 V to 26 V)  
or Dual Supplies
- **Low Supply Current Drain Independent of Supply Voltage . . . 0.7 mA Typ**
- **Common-Mode Input Voltage Range Includes Ground Allowing Direct Sensing near Ground**
- **Low Input Bias and Offset Parameters:**  
Input Offset Voltage . . . 3 mV Typ  
A Versions . . . 2-mV Typ  
Input Offset Current . . . 2 nA Typ  
Input Bias Current . . . 20 nA Typ  
A Versions . . . 15 nA Typ
- **Differential Input Voltage Range Equal to Maximum-Rated Supply Voltage . . . 32 V (26 V for LM2902)**
- **Open-Loop Differential Voltage Amplification . . . 100 V/mV Typ**
- **Internal Frequency Compensation**

D, J, OR N DUAL-IN-LINE PACKAGE,  
OR W FLAT PACKAGE  
(TOP VIEW)



LM124  
FH OR FK CHIP CARRIER PACKAGE  
(TOP VIEW)



NC - No internal connection

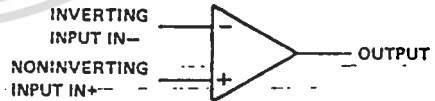
**description**

These devices consist of four independent, high-gain frequency-compensated operational amplifiers that were designed specifically to operate from a single supply over a wide range of voltages. Operation from split supplies is also possible so long as the difference between the two supplies is 3 volts to 30 volts (for the LM2902, 3 volts to 26 volts), and Pin 4 is at least 1.5 volts more positive than the input common-mode voltage. The low supply current drain is independent of the magnitude of the supply voltage.

Applications include transducer amplifiers, d-c amplification blocks, and all the conventional operational amplifier circuits that now can be more easily implemented in single-supply-voltage systems. For example, the LM124 can be operated directly off of the standard five-volt supply that is used in digital systems and will easily provide the required interface electronics without requiring additional  $\pm 15$ -volt supplies.

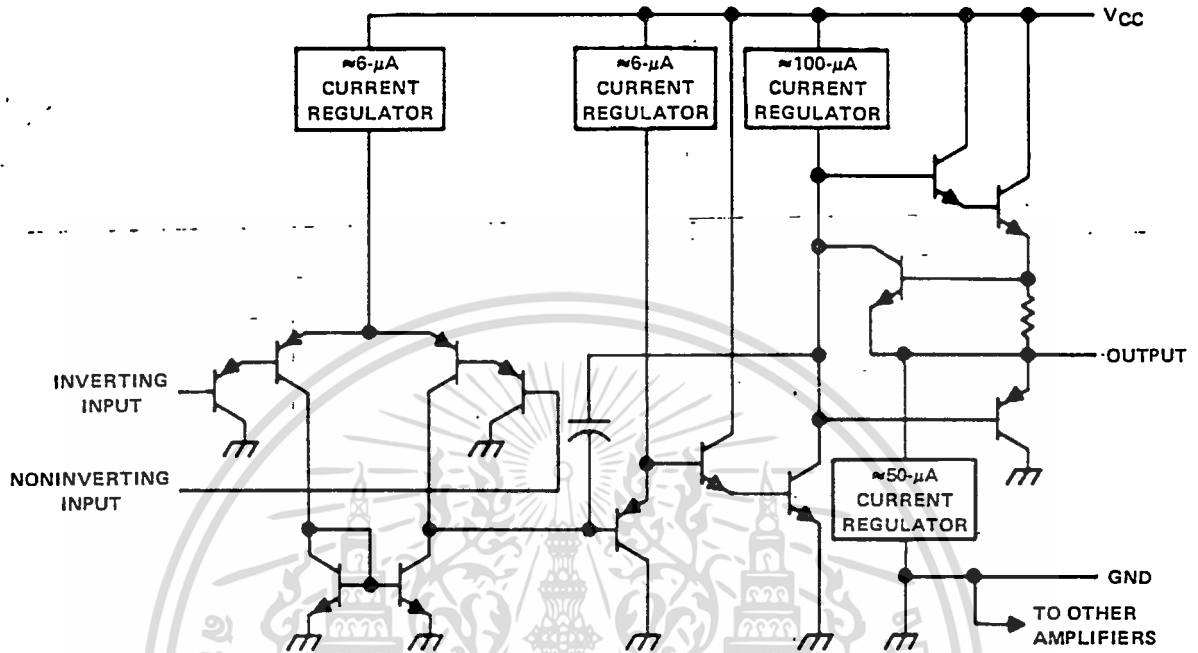
The LM124 is characterized for operation over the full military temperature range of  $-55^{\circ}\text{C}$  to  $125^{\circ}\text{C}$ . The LM2902 is characterized for operation from  $-40^{\circ}\text{C}$  to  $85^{\circ}\text{C}$ , the LM224 and LM224A from  $-25^{\circ}\text{C}$  to  $85^{\circ}\text{C}$ , and the LM324 and LM324A from  $0^{\circ}\text{C}$  to  $70^{\circ}\text{C}$ .

symbol (each amplifier)



**TYPES LM124, LM224, LM224A,  
LM324, LM324A, LM2902  
QUADRUPLE OPERATIONAL AMPLIFIERS**

schematic (each amplifier)



absolute maximum ratings over operating free-air temperature range (unless otherwise noted)

		LM124 LM224, LM224A, LM324, LM324A	LM2902	UNIT
Supply voltage, $V_{CC}$ (see Note 1)		32	26	V
Differential voltage (see Note 2)		$\pm 32$	$\pm 26$	V
Input voltage range (either input)		-0.3 to 32	-0.3 to 26	V
Duration of output short-circuit (one amplifier) to ground at (or below) 25°C free-air temperature ( $V_{CC} \leq 15$ V) (see Note 3)		unlimited	unlimited	
Continuous total dissipation at (or below) 25°C free-air temperature (see Note 4)		D or J package	900	mW
		N package	875	
Operating free-air temperature range	LM124	-55 to 125		°C
	LM224, LM224A	-25 to 85		
	LM324, LM324A	0 to 70		
	LM2902		-40 to 85	
Storage temperature range		-65 to 150	-65 to 150	°C
Lead temperature 1,6 mm (1/16 inch) from case for 60 seconds		FH, FK, J or W package	300	°C
Lead temperature 1,6 mm (1/16 inch) from case for 10 seconds		D or N package	260	°C

- NOTES: 1. All voltage values, except differential voltages and  $V_{CC}$  specified for the measurement of  $I_{OS}$ , are with respect to the network ground terminal.  
 2. Differential voltages are at the noninverting input terminal with respect to the inverting input terminal.  
 3. Short circuits from outputs to  $V_{CC}$  can cause excessive heating and eventual destruction.  
 4. For operation above 25°C free-air temperature, refer to dissipation Derating Curves, Section 2. In the J package, LM124 chips are alloy-mounted; LM224, LM324, and LM2902 chips are glass-mounted.

Operational Amplifiers

TYPES LM124, LM224, LM224A,  
LM324, LM324A, LM2902  
QUADRUPLE OPERATIONAL AMPLIFIERS

electrical characteristics at specified free-air temperature,  $V_{CC} = 5\text{ V}$  (unless otherwise noted)

PARAMETER	TEST CONDITIONS†	LM124, LM224			LM324			LM2902			UNIT
		MIN	TYP	MAX	MIN	TYP	MAX	MIN	TYP	MAX	
$V_{IO}$ Input offset voltage	$V_{CC} = 5\text{ V to MAX,}$ $V_{IC} = V_{ICR\text{ min,}}$ $V_O = 1.4\text{ V}$ 25°C		3	5		3	7		3	7	mV
$I_{IO}$ Input offset current	Full range			7			9			10	
	25°C		2	30		2	50		2	50	nA
$I_{IB}$ Input bias current	Full range			100			150			200	nA
	25°C		-20	-150		-20	-250		-20	-250	nA
$V_{ICR}$ Common-mode input voltage range	Full range			-300			-500			-500	nA
	25°C	0 to $V_{CC}-1.5$			0 to $V_{CC}-1.5$			0 to $V_{CC}-1.5$			V
$V_{OH}$ High-level output voltage	Full range	0 to $V_{CC}-1.5$			0 to $V_{CC}-1.5$			0 to $V_{CC}-2$			V
	25°C	$V_{CC}-1.5$			$V_{CC}-1.5$			$V_{CC}-1.5$			V
$V_{OL}$ Low-level output voltage	Full range	$R_L = 2\text{ k}\Omega$			$R_L = 2\text{ k}\Omega$			$R_L = 2\text{ k}\Omega$			V
	25°C	$R_L = 10\text{ k}\Omega$	26		$R_L = 10\text{ k}\Omega$	26		$R_L = 10\text{ k}\Omega$	22		V
$A_{VD}$ Large-signal differential voltage amplification	Full range	$V_{CC} = \text{MAX, } R_L = 2\text{ k}\Omega$			$V_{CC} = \text{MAX, } R_L = 2\text{ k}\Omega$			$V_{CC} = \text{MAX, } R_L = 2\text{ k}\Omega$			V
	25°C	$R_L = 10\text{ k}\Omega$	27	28	$R_L = 10\text{ k}\Omega$	27	28	$R_L = 10\text{ k}\Omega$	23	24	V
$CMRR$ Common-mode rejection ratio	Full range	$R_L \leq 10\text{ k}\Omega$			$R_L \leq 10\text{ k}\Omega$			$R_L \leq 10\text{ k}\Omega$			mV
	25°C	$V_{CC} = 15\text{ V,}$ $V_O = 1\text{ V to } 11\text{ V,}$ $R_L \geq 2\text{ k}\Omega$	50	100	$V_{CC} = 15\text{ V,}$ $V_O = 1\text{ V to } 11\text{ V,}$ $R_L \geq 2\text{ k}\Omega$	25	100	$V_{CC} = 15\text{ V,}$ $V_O = 1\text{ V to } 11\text{ V,}$ $R_L \geq 2\text{ k}\Omega$	15	100	V/mV
$k_{SVR}$ Supply voltage rejection ratio ( $\Delta V_{CC}/\Delta V_{IO}$ )	Full range	$V_{IC} = V_{ICR\text{ min}}$			$V_{IC} = V_{ICR\text{ min}}$			$V_{IC} = V_{ICR\text{ min}}$			dB
	25°C	$f = 1\text{ kHz to } 20\text{ kHz}$	70	80	$f = 1\text{ kHz to } 20\text{ kHz}$	65	80	$f = 1\text{ kHz to } 20\text{ kHz}$	50	80	dB
$V_{O1/O2}$ Crosstalk attenuation	Full range	$V_{CC} = 15\text{ V,}$ $V_{ID} = 1\text{ V,}$ $V_O = 0$			$V_{CC} = 15\text{ V,}$ $V_{ID} = 1\text{ V,}$ $V_O = 0$			$V_{CC} = 15\text{ V,}$ $V_{ID} = 1\text{ V,}$ $V_O = 0$			dB
	25°C	$V_{CC} = 15\text{ V,}$ $V_{ID} = -1\text{ V,}$ $V_O = 15\text{ V}$	-20	-30	$V_{CC} = 15\text{ V,}$ $V_{ID} = -1\text{ V,}$ $V_O = 15\text{ V}$	-20	-30	$V_{CC} = 15\text{ V,}$ $V_{ID} = -1\text{ V,}$ $V_O = 15\text{ V}$	-20	-30	-60
$I_{IO}$ Output current	Full range	$V_{ID} = -1\text{ V,}$ $V_O = 200\text{ mV}$			$V_{ID} = -1\text{ V,}$ $V_O = 200\text{ mV}$			$V_{ID} = -1\text{ V,}$ $V_O = 200\text{ mV}$			mA
	25°C	$V_{CC} = 5\text{ V,}$ $GND \text{ at } -5\text{ V, } V_O = 0$	10	20	$V_{CC} = 5\text{ V,}$ $GND \text{ at } -5\text{ V, } V_O = 0$	10	20	$V_{CC} = 5\text{ V,}$ $GND \text{ at } -5\text{ V, } V_O = 0$	10	20	mA
$I_{OS}$ Short-circuit output current	Full range	$V_O = 2.5\text{ V,}$ No load			$V_O = 2.5\text{ V,}$ No load			$V_O = 2.5\text{ V,}$ No load			$\mu\text{A}$
	25°C	$V_{CC} = \text{MAX,}$ $V_O = 0.5\text{ } V_{CC,}$ No load	12	30	$V_{CC} = \text{MAX,}$ $V_O = 0.5\text{ } V_{CC,}$ No load	12	30	$V_{CC} = \text{MAX,}$ $V_O = 0.5\text{ } V_{CC,}$ No load	30	30	$\mu\text{A}$
$I_{CC}$ Supply current (four amplifiers)	Full range	$V_{CC} = 5\text{ V,}$ $GND \text{ at } -5\text{ V, } V_O = 0$			$V_{CC} = 5\text{ V,}$ $GND \text{ at } -5\text{ V, } V_O = 0$			$V_{CC} = 5\text{ V,}$ $GND \text{ at } -5\text{ V, } V_O = 0$			mA
	25°C	$V_O = 2.5\text{ V,}$ No load	$\pm 40$	$\pm 60$	$V_O = 2.5\text{ V,}$ No load	$\pm 40$	$\pm 60$	$V_O = 2.5\text{ V,}$ No load	$\pm 40$	$\pm 60$	mA
$I_{CC}$ Supply current (four amplifiers)	Full range	$V_{CC} = \text{MAX,}$ $V_O = 0.5\text{ } V_{CC,}$ No load	0.7	1.2	$V_{CC} = \text{MAX,}$ $V_O = 0.5\text{ } V_{CC,}$ No load	0.7	1.2	$V_{CC} = \text{MAX,}$ $V_O = 0.5\text{ } V_{CC,}$ No load	0.7	1.2	mA
	25°C	$V_{CC} = \text{MAX,}$ $V_O = 0.5\text{ } V_{CC,}$ No load	1.1	3	$V_{CC} = \text{MAX,}$ $V_O = 0.5\text{ } V_{CC,}$ No load	1.1	3	$V_{CC} = \text{MAX,}$ $V_O = 0.5\text{ } V_{CC,}$ No load	1.1	3	mA

† All characteristics are measured under open-loop conditions with zero common-mode input voltage unless otherwise specified. "MAX"  $V_{CC}$  for testing purposes is 26 V for LM2902, 30 V for the others. Full range is -55°C to 125°C for LM124, -25°C to 85°C for LM224, 0°C to 70°C for LM324, and -40°C to 85°C for LM2902.

TYPES LM124, LM224, LM224A,  
LM324, LM324A, LM2902  
QUADRUPLE OPERATIONAL AMPLIFIERS

Operational Amplifiers

electrical characteristics at specified free-air temperature,  $V_{CC} = 5\text{ V}$  (unless otherwise noted)

PARAMETER	TEST CONDITIONS†	LM224A			LM324A			UNIT
		MIN	TYP	MAX	MIN	TYP	MAX	
$V_{IO}$ Input offset voltage	$V_{CC} = 5\text{ V to }30\text{ V}$ , $V_{IC} = V_{ICR}\text{ min}$ , $V_O = 1.4\text{ V}$	2	3	3	2	3	3	mV
$I_{IO}$ Input offset current	$V_O = 1.4\text{ V}$	2	15	4	2	30	5	nA
$I_{IB}$ Input bias current	$V_O = 1.4\text{ V}$	-15	-80	-100	-15	-80	-100	nA
$V_{ICR}$ Common-mode input voltage range	$V_{CC} = 30\text{ V}$	0 to	0 to	0 to	0 to	0 to	0 to	V
		$V_{CC} - 1.5$	$V_{CC} - 1.5$	$V_{CC} - 1.5$	$V_{CC} - 1.5$	$V_{CC} - 1.5$	$V_{CC} - 1.5$	$V_{CC} - 1.5$
$V_{OH}$ High level output voltage	$R_L = 2\text{ k}\Omega$ $V_{CC} = 30\text{ V}$ , $R_L = 2\text{ k}\Omega$	0 to	0 to	0 to	0 to	0 to	0 to	V
		$V_{CC} - 2$	$V_{CC} - 2$	$V_{CC} - 2$	$V_{CC} - 2$	$V_{CC} - 2$	$V_{CC} - 2$	$V_{CC} - 2$
$V_{OL}$ Low-level output voltage	$R_L \leq 10\text{ k}\Omega$ $V_{CC} = 30\text{ V}$ , $R_L = 10\text{ k}\Omega$	26	27	28	26	27	28	V
		$V_{CC} - 1.5$	$V_{CC} - 1.5$	$V_{CC} - 1.5$	$V_{CC} - 1.5$	$V_{CC} - 1.5$	$V_{CC} - 1.5$	$V_{CC} - 1.5$
AVD Large-signal differential voltage amplification	$V_{CC} = 15\text{ V}$ , $V_O = 1\text{ V to }11\text{ V}$ , $R_L \geq 2\text{ k}\Omega$	50	100	100	25	100	100	mV
		25	25	25	15	15	15	V/mV
CMRR Common-mode rejection ratio	$V_{IC} = V_{ICR}\text{ min}$	70	80	80	65	80	80	dB
kSVR Supply voltage rejection ratio ( $\Delta V_{CC}/\Delta V_{IO}$ )		65	100	100	65	100	100	dB
$V_{01/02}$ Crosstalk attenuation	$f = 1\text{ kHz to }20\text{ kHz}$ $V_{CC} = 15\text{ V}$ , $V_{ID} = 1\text{ V}$ , $V_O = 0$	120	120	120	-20	-30	-60	dB
		-10	-10	-10	-10	-10	-10	dB
$I_O$ Output current	$V_{CC} = 15\text{ V}$ , $V_{ID} = -1\text{ V}$ , $V_O = 5\text{ V}$	10	20	20	10	20	20	mA
		5	5	5	5	5	5	mA
$I_{OS}$ Short-circuit output current	$V_{CC}$ at 5 V, GND at -5 V, $V_O = 0$	12	30	30	12	30	30	$\mu\text{A}$
		$\pm 40$	$\pm 60$	$\pm 60$	$\pm 40$	$\pm 60$	$\pm 60$	mA
$I_{CC}$ Supply current (four amplifiers)	No load $V_{CC} = 30\text{ V}$ , $V_O = 15\text{ V}$ , No load	0.7	1.2	1.2	0.7	1.2	1.2	mA
		1.1	3	3	1.1	3	3	mA

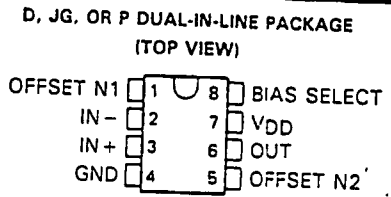
† All characteristics are measured under open-loop conditions with zero common-mode input voltage unless otherwise specified. Full range is -25°C to 85°C for LM224A and 0°C to 70°C for LM324A.

**LINEAR  
INTEGRATED  
CIRCUITS**

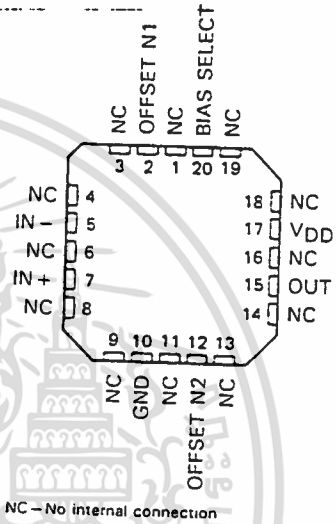
**TYPES TLC251, TLC251A, TLC251B, TLC271, TLC271A, TLC271B  
PROGRAMMABLE LOW-POWER LinCMOST™ OPERATIONAL AMPLIFIERS**

D2751, JULY 1985—REVISED NOVEMBER 1983

- **Wide Range of Supply Voltages:**  
1 V to 16 V (TLC251C)  
3 V to 16 V (TLC271C, TLC271I)  
4 V to 16 V (TLC271M)
- **True Single Supply Operation**
- **Common-Mode Input Voltage Range Includes the Negative Rail**
- **Low Noise . . . 30 nV/√Hz Typ at 1 kHz (High Bias)**



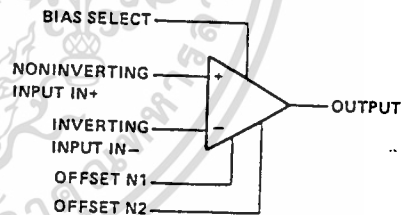
**FH OR FK PACKAGE  
(TOP VIEW)**



**description**

The TLC251 and TLC271 series are low-cost, low-power programmable operational amplifiers designed to operate with single or dual supplies. Unlike traditional metal-gate CMOS op amps, these devices utilize Texas Instruments silicon-gate LinCMOST™ process, giving them stable input offset voltages without sacrificing the advantages of metal-gate CMOS. This series of parts is available in selected grades of input offset voltage and can be nulled with one external potentiometer. Because the input common-mode range extends to the negative rail and the power consumption is extremely low, this family is ideally suited for battery-powered or energy-conserving applications. A bias-select pin can be used to program one of three ac performance and power-dissipation levels to suit the application. The TLC251 offers the same operation as the TLC271, but also features guaranteed operation down to a 1 V supply. Both devices are stable at unity gain.

**symbol**



**TEMPERATURE RANGES AND PACKAGES**

SERIES	TEMPERATURE RANGE	PACKAGES
TLC251_C Types	0°C to 70°C	JG, P, D
TLC271_C Types	0°C to 70°C	JG, P, D
TLC271_I Types	-40°C to 85°C	JG, P, D
TLC271_M Types	-55°C to 125°C	JG, FH, FK

**DEVICE FEATURES**

PARAMETER	LOW BIAS	MEDIUM BIAS	HIGH BIAS
Supply current (Typ)	10 μA	150 μA	1000 μA
Slew rate (Typ)	0.04 V/μs	0.6 V/μs	4.5 V/μs
Input offset voltage (Max)			
. Standard types	10 mV	10 mV	10 mV
. . . A-suffix types	5 mV	5 mV	5 mV
. . . B-suffix types	2 mV	2 mV	2 mV
Offset voltage drift (Typ)	0.1 μV/month†	0.1 μV/month†	0.1 μV/month†
Offset voltage temperature coefficient (Typ)	0.7 μV/°C	2 μV/°C	5 μV/°C
Input bias current (Typ)	1 pA	1 pA	1 pA
Input offset current (Typ)	1 pA	1 pA	1 pA

†The long-term drift value applies after the first month.

**ADVANCE INFORMATION**

This document contains information on a new product. Specifications are subject to change without notice.

Copyright © 1983 by Texas Instruments Incorporated

**TEXAS  
INSTRUMENTS**

POST OFFICE BOX 225012 • DALLAS, TEXAS 75265

3-165

Operational Amplifiers

เอกสารนี้เป็นเอกสารที่สงวนไว้สำหรับการใช้งานเพื่อการศึกษาเท่านั้น ไม่อนุญาตให้นำไปใช้ประโยชน์ด้านการค้า

ไม่ว่ากรณีใดๆทั้งสิ้น อีกทั้งห้ามมิให้ดัดแปลงเนื้อหา และต้องอ้างอิงถึงเจ้าของเอกสารทุกครั้งที่มีการนำไปใช้

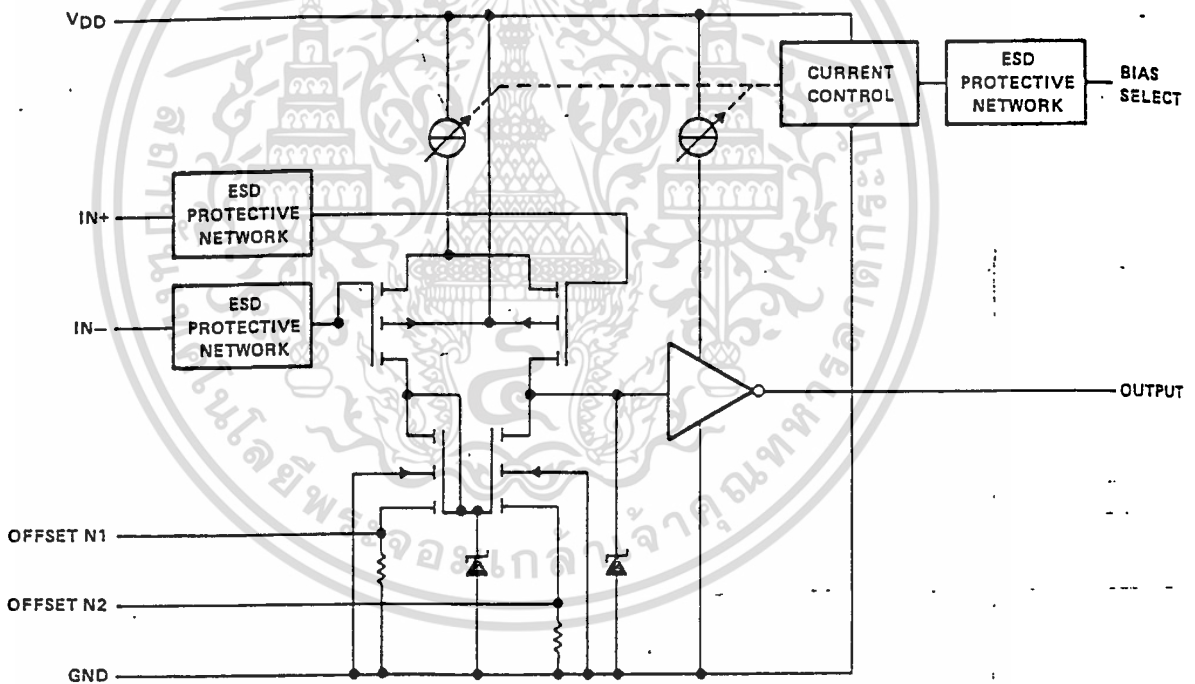
# TYPES TLC251, TLC251A, TLC251B, TLC271, TLC271A, TLC271B PROGRAMMABLE LOW-POWER LinCMOSTM AMPLIFIERS

## description (continued)

These devices have internal electrostatic discharge (ESD) protection circuits that will prevent catastrophic failures at voltages up to 2000 volts as tested under MIL-STD-883B, Method 3015.1. However, care should be exercised in handling these devices as exposure to ESD may result in a degradation of the device parametric performance.

Because of the extremely high input impedance and low input bias and offset currents, applications for the TLC251 and TLC271 series include many areas that have previously been limited to BIFET and NFET product types. Any circuit using high-impedance elements and requiring small offset errors is a good candidate for cost-effective use of these devices. Many features associated with bipolar technology are available with LinCMOS operational amplifiers without the power penalties of traditional bipolar devices. General applications such as transducer interfacing, analog calculations, amplifier blocks, active filters, and signal buffering are all easily designed with the TLC271. Remote and inaccessible equipment applications are possible using the low-voltage and low-power capabilities of the TLC251. In addition, by driving the bias-select input with a logic signal from a microprocessor, these operational amplifiers can have software-controlled performance and power consumption. The TLC251 is well suited to solve the difficult problems associated with single-battery and solar-cell-powered applications.

## schematic



Operational Amplifiers

# TYPES TLC251, TLC251A, TLC251B, TLC271, TLC271A, TLC271B PROGRAMMABLE LOW-POWER LinCMOST™ AMPLIFIERS

absolute maximum ratings over operating free-air temperature (unless otherwise noted)

Supply voltage, $V_{DD}$ (see Note 1)	18 V
Differential input voltage (see Note 2)	$\pm 18$ V
Input voltage range (any input)	-0.3 V to 18 V
Duration of short-circuit at (or below) 25°C free-air temperature (see Note 3)	unlimited
Continuous total dissipation at (or below) 25°C free-air temperature (see Note 4):	
D package	725 mW
FH package (see Note 5)	1200 mW
FK package (see Note 5)	1375 mW
JG package	1050 mW
P package	725 mW
Operating free-air temperature range: TLC271M, TLC271AM, TLC271BM	-55°C to 125°C
TLC271I, TLC271AI, TLC271BI	-40°C to 85°C
TLC251C, TLC251AC, TLC251BC,	
TLC271C, TLC271AC, TLC271BC	0°C to 70°C
Storage temperature range	-65°C to 150°C
Lead temperature 1.6 mm (1/16) inch from the case for 60 seconds: JG package	300°C
Lead Temperature 1.6 mm (1/16) inch from case for 10 seconds: D or P package	260°C

- NOTES: 1. All voltage values, except differential voltages, are with respect to network ground terminal.  
 2. Differential voltages are at the noninverting input terminal, with respect to the inverting input terminal.  
 3. The output may be shorted to either supply. Temperature and/or supply voltages must be limited to ensure the maximum dissipation rating is not exceeded.  
 4. For operation above 25°C free-air temperature, refer to Dissipation Derating Table below.  
 5. For FH and FK packages, power rating and derating factor will vary with actual mounting technique used. The values stated here are believed to be conservative.

DISSIPATION DERATING TABLE

PACKAGE	POWER RATING	DERATING FACTOR	ABOVE $T_A$
D	725 mW	5.8 mW/°C	25°C
FH	1200 mW	9.6 mW/°C	25°C
FK	1375 mW	11.0 mW/°C	25°C
JG	1050 mW	8.4 mW/°C	25°C
P	725 mW	5.8 mW/°C	25°C

recommended operating conditions

		TLC251 TLC251A TLC251B			TLC271 TLC271A TLC271B			UNIT
		MIN	NOM	MAX	MIN	NOM	MAX	
Supply voltage, $V_{DD}$	M-suffix types				4		16	V
	I-suffix types				3		16	
	C-suffix types	1		16	3		16	
Common-mode input voltage, $V_{IC}$	$V_{DD} = 1$ V	0		0.2				V
	$V_{DD} = 4$ V	0		3	0		3	
	$V_{DD} = 10$ V	-0.05		9	-0.05		9	
	$V_{DD} = 16$ V	-0.05		14	-0.05		14	
Operating free-air temperature, $T_A$	M-suffix types				-55		125	°C
	I-suffix types				-40		85	
	C-suffix types	0		70	0		70	
Bias Select pin voltage		See application notes						

Operational Amplifiers

**TEXAS  
INSTRUMENTS**

POST OFFICE BOX 225012 • DALLAS, TEXAS 75285

3-167

เอกสารนี้เป็นเอกสารที่สงวนไว้สำหรับการใช้งานเพื่อการศึกษาเท่านั้น ไม่อนุญาตให้นำไปใช้ประโยชน์ด้านการค้า  
 ไม่ว่ากรณีใดๆทั้งสิ้น อีกทั้งห้ามมิให้ดัดแปลงเนื้อหา และต้องอ้างอิงถึงเจ้าของเอกสารทุกครั้งที่มีการนำไปใช้

# TYPES TLC251, TLC251A, TLC251B, TLC271, TLC271A, TLC271B PROGRAMMABLE LOW-POWER LinCMOST™ AMPLIFIERS

electrical characteristics at specified free-air temperature,  $V_{DD} = 10\text{ V}$  (unless otherwise noted)

PARAMETER		TEST CONDITIONS <sup>1</sup>	BIAS	TLC271_M			TLC271_I			TLC251_C, TLC271_C				
				MIN	TYP	MAX	MIN	TYP	MAX	MIN	TYP	MAX		
$V_{IO}$	Input offset voltage	$V_O = 1.4\text{ V}$ $R_S = 50\ \Omega$	25 °C	Any	10			10			10			
					Full range			12			13			12
			25 °C	Any	5			5			5			
					Full range			6.5			7			6.5
			25 °C	Any	2			2			2			
					Full range			3			3.5			3
$\alpha V_{IO}$	Average temperature coefficient of input offset voltage	Full range	Low	0.7			0.7			0.7				
			Medium	2			2			2				
			High	5			5			5				
$I_{IO}$	Input offset current	$V_{IC} = 5\text{ V}$ $V_O = 5\text{ V}$	25 °C	1			1			1				
			Full range	15000			200			100				
$I_{IB}$	Input bias current	$V_{IC} = 5\text{ V}$ $V_O = 5\text{ V}$	25 °C	1			1			1				
			Full range	35000			300			150				
$V_{ICR}$	Common-mode input voltage range	25 °C	Any	-0.2 to 9			-0.2 to 9			-0.2 to 9				
				8 8.6			8 8.6			8 8.6				
$V_{OM}$	Peak output voltage range <sup>2</sup>	$V_{ID} = 100\text{ mV}$	25 °C	8 8.6			8 8.6			8 8.6				
			Full range	7.8			7.8			7.8				
$A_{VD}$	Large-signal differential voltage amplification	$V_O = 1\text{ to }6\text{ V}$ $R_S = 50\ \Omega$	25 °C	Any	30 500			30 500			30 500			
					Low			20 280			20 280			
			Medium			10 40			10 40			10 40		
			High			20			25			25		
			Full range			10			15			15		
			High			7			7.5			7.5		
$CMRR$	Common-mode rejection ratio	$V_O = 1.4\text{ V}$ $V_{IC} = V_{ICR\ min}$	25 °C	Any	70 88			70 88			70 88			
					70 88			70 88			70 88			
$k_{SVR}$	Supply voltage rejection ratio ( $\Delta V_{CC}/\Delta V_{IO}$ )	$V_{DD} = 5\text{ to }10\text{ V}$ $V_O = 1.4\text{ V}$	25 °C	Low	70 88			70 88			70 88			
				Medium	70 88			70 88			70 88			
				High	65 82			65 82			65 82			
$I_{OS}$	Short-circuit output current	$V_O = 0$ $V_{ID} = 100\text{ mV}$ $V_O = V_{DD}$ $V_{ID} = -100\text{ mV}$	25 °C	Any	-55			-55			-55			
					15			15			15			
					10.5			10.5			10.5			
$I_{IH(SEL)}$	High-level input current to bias select	$V_{IH(SEL)} = 0\text{ V}$	25 °C	High	10.5			10.5			10.5			
					1.3			1.3			1.3			
$I_{IL(SEL)}$	Low-level input current to bias select	$V_{IH(SEL)} = 10\text{ V}$	25 °C	Low	1.3			1.3			1.3			
					10 20			10 20			10 20			
$I_{DD}$	Supply current	No load. $V_O = 5\text{ V}$ $V_{IC} = 5\text{ V}$	25 °C	Any	150 300			150 300			150 300			
					Low			1000 2000			1000 2000			1000 2000
			Medium			40			40			30		
			High			500			500			400		
			Full range			3000			2500			2200		
			High			3000			2500			2200		

<sup>1</sup>All characteristics are measured under open-loop conditions with zero common-mode input voltage unless otherwise specified. Full range for  $T_A$  is -40 to 125 °C for TLC2\_M, -40 °C to 85 °C for TLC2\_I, and 0 °C to 70 °C for TLC2\_C. Unless otherwise noted, an output load resistor is connected to the output to ground and has the following values: for low bias  $R_L = 1\text{ M}\Omega$ , for medium bias  $R_L = 100\text{ k}\Omega$ , and for high bias  $R_L = 10\text{ k}\Omega$ .

<sup>2</sup>The output will swing to the potential of the ground pin.

Operational Amplifiers

# TYPES TLC251, TLC251A, TLC251B PROGRAMMABLE LOW-POWER LinCMOST™ AMPLIFIERS

electrical characteristics at specified free-air temperature,  $V_{DD} = 1\text{ V}$

PARAMETER		TEST CONDITIONS†		BIAS	TLC251_C			UNIT
					MIN	TYP	MAX	
$V_{IO}$	Input offset voltage	TLC251C	$V_O = 0.2\text{ V}$ , $R_S = 50\ \Omega$	Any	25°C		10	mV
					0°C to 70°C		12	
				Any	25°C		5	
					0°C to 70°C		6.5	
				Any	25°C		2	
					0°C to 70°C		3	
$\alpha_{VIO}$	Average Temperature Coefficient of Input Offset Voltage		0°C to 70°C	Any		1	$\mu\text{V}/^\circ\text{C}$	
$I_{IO}$	Input offset current	$V_O = 0.2\text{ V}$	25°C	Any	1		pA	
			0°C to 70°C		100			
$I_{IB}$	Input bias current	$V_O = 0.2\text{ V}$	25°C	Any	1		pA	
			0°C to 70°C		150			
$V_{ICR}$	Common-mode input voltage range		25°C	Any	0 to 0.2		V	
$V_{OM}$	Peak output voltage swing‡	$V_{ID} = 100\text{ mV}$	25°C	Any	450		mV	
$A_{VD}$	Large-signal differential voltage amplification	$V_O = 100\text{ to }300\text{ mV}$ , $R_S = 50\ \Omega$	25°C	Low	20		V/mV	
				High	10			
$CMRR$	Common-mode rejection ratio	$R_S = 50\ \Omega$ , $V_O = 0.2\text{ V}$ , $V_{IC} = V_{IC\text{ min}}$	25°C	Any	77		dB	
$I_{DD}$	Supply current	$V_O = 0.2\text{ V}$ , No load	25°C	Low	2		$\mu\text{A}$	
				High	12			

† All characteristics are measured under open-loop conditions with zero common-mode input voltage unless otherwise specified. Unless otherwise noted, an output load resistor is connected from the output to ground and has the following values: for low bias  $R_L = 1\text{ M}\Omega$ , for medium bias  $R_L = 100\text{ k}\Omega$ , and for high bias  $R_L = 10\text{ k}\Omega$ .

‡ The output will swing to the potential of the ground pin.

operating characteristics,  $V_{DD} = 1\text{ V}$ ,  $T_A = 25^\circ\text{C}$

PARAMETER		TEST CONDITIONS	BIAS	TLC251_C			UNIT
				MIN	TYP	MAX	
$B_1$	Unity-gain bandwidth	$C_L = 10\text{ pF}$	Low	12			kHz
			High	75			
$S_R$	Slew rate at unity gain	See Figure 1	Low	0.001			$\text{V}/\mu\text{s}$
			High	0.01			
Overshoot factor	See Figure 1		Low	35%			
			High	30%			

3

Operational Amplifiers

เอกสารนี้เป็นเอกสารที่สงวนไว้สำหรับการใช้งานเพื่อการศึกษาเท่านั้น ไม่อนุญาตให้นำไปใช้ประโยชน์ด้านการค้า  
ไม่ว่ากรณีใดๆทั้งสิ้น อีกทั้งห้ามมิให้ตัดแปลงเนื้อหา และต้องอ้างอิงถึงเจ้าของเอกสารทุกครั้งที่มีการนำไปใช้

# TYPES TLC251, TLC251A, TLC251B, TLC271, TLC271A, TLC271B PROGRAMMABLE LOW-POWER LinCMOST™ AMPLIFIERS

operating characteristics,  $V_{DD} = 10\text{ V}$ ,  $T_A = 25^\circ\text{C}$

PARAMETER	TEST CONDITIONS	BIAS	TLC2_M			TLC2_I			TLC2_C	
			MIN	TYP	MAX	MIN	TYP	MAX	MIN	TYP
$B_1$ Unity-gain bandwidth	$A_V = 40\text{ dB}$ , $C_L = 10\text{ pF}$ , $R_S = 50\ \Omega$	Low		0.1			0.1		0.1	
		Medium		0.7			0.7		0.7	
		High		2.3			2.3		2.3	
SR Slew rate at unity gain	See Figure 1	Low		0.04			0.04		0.04	
		Medium		0.6			0.6		0.6	
		High		4.5			4.5		4.5	
Overshoot factor	See Figure 1	Low		30%			30%		30%	
		Medium		35%			35%		35%	
		High		35%			35%		35%	
$\phi_m$ Phase margin at unity gain	$A_V = 40\text{ dB}$ , $R_S = 100\ \Omega$ , $C_L = \text{pF}$	Low		$43^\circ$			$43^\circ$		$43^\circ$	
		Medium		$43^\circ$			$43^\circ$		$43^\circ$	
		High		$50^\circ$			$50^\circ$		$50^\circ$	
$V_n$ Equivalent input noise voltage	$f = 1\text{ kHz}$ , $R_S = 100\ \Omega$	Low		70			70		70	
		Medium		38			38		38	
		High		30			30		30	

3

Operational Amplifiers

## PARAMETER MEASUREMENT INFORMATION

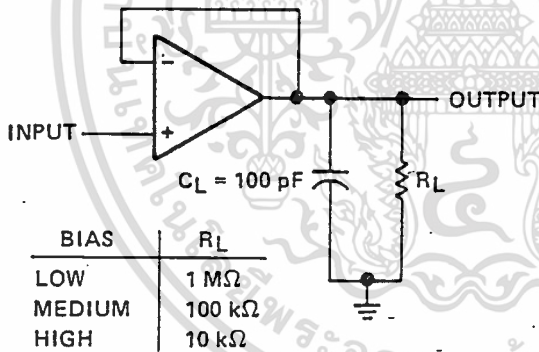


FIGURE 1—UNITY-GAIN AMPLIFIER

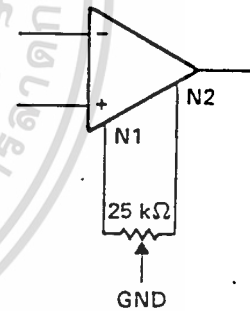


FIGURE 2—INPUT OFFSET VOLTAGE NULL CIRCUIT

# TYPES TLC251, TLC251A, TLC251B, TLC271, TLC271A, TLC271B PROGRAMMABLE LOW-POWER LinCMOST™ AMPLIFIERS

## TYPICAL CHARACTERISTICS

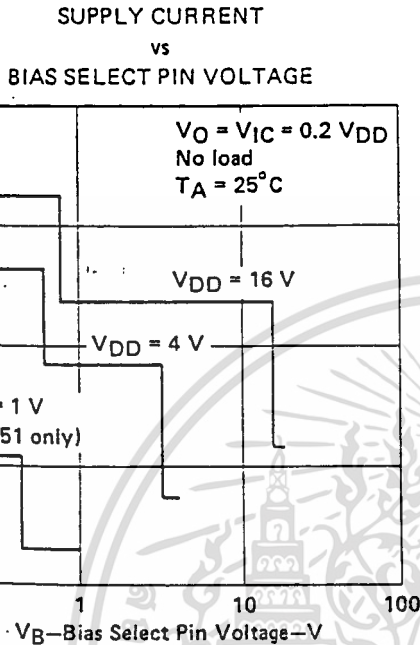
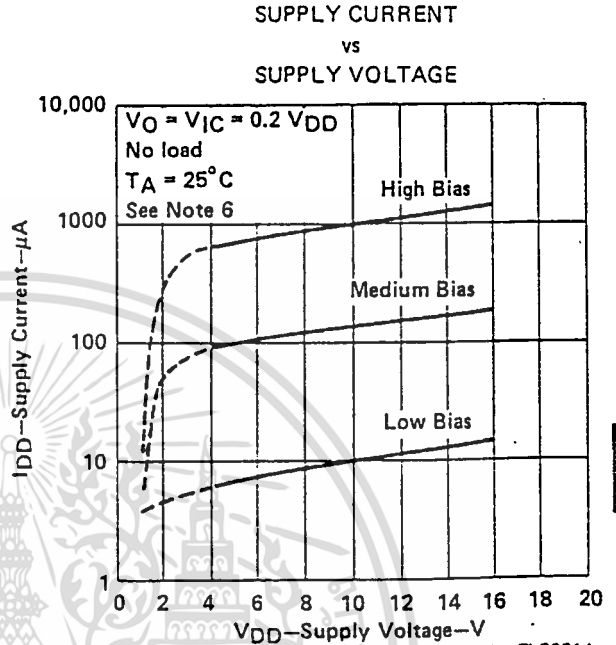


FIGURE 3



NOTE 6: Data for  $V_{DD}$  less than 4 V applies only for TLC251, TLC251A, and TLC251B.

FIGURE 4

### LOW BIAS LARGE-SIGNAL DIFFERENTIAL VOLTAGE AMPLIFICATION and PHASE SHIFT vs FREQUENCY

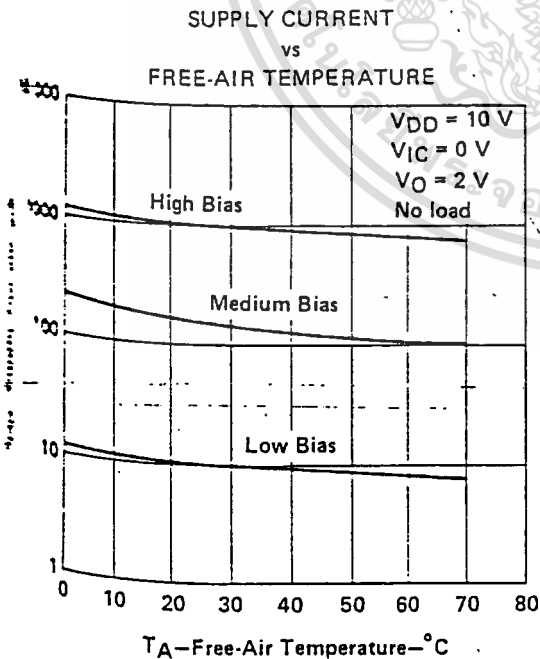


FIGURE 5

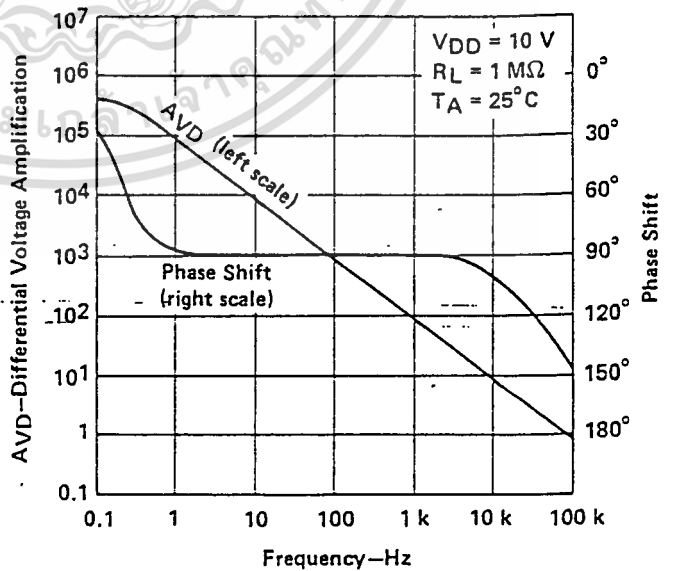


FIGURE 6

TYPES TLC251, TLC251A, TLC251B, TLC271, TLC271A, TLC271B  
 PROGRAMMABLE LOW-POWER LinCMOST™ AMPLIFIERS

TYPICAL CHARACTERISTICS  
 MEDIUM BIAS  
 LARGE-SIGNAL  
 DIFFERENTIAL VOLTAGE AMPLIFICATION  
 and PHASE SHIFT  
 vs  
 FREQUENCY

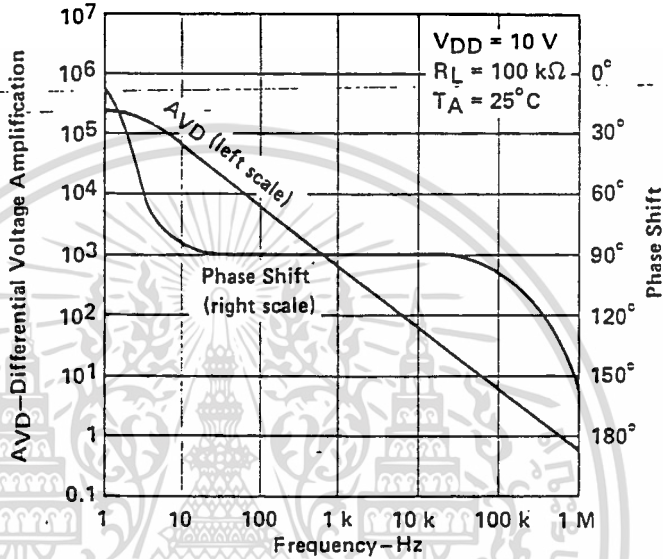


FIGURE 7  
 HIGH BIAS  
 LARGE-SIGNAL  
 DIFFERENTIAL VOLTAGE AMPLIFICATION  
 and PHASE SHIFT  
 vs  
 FREQUENCY

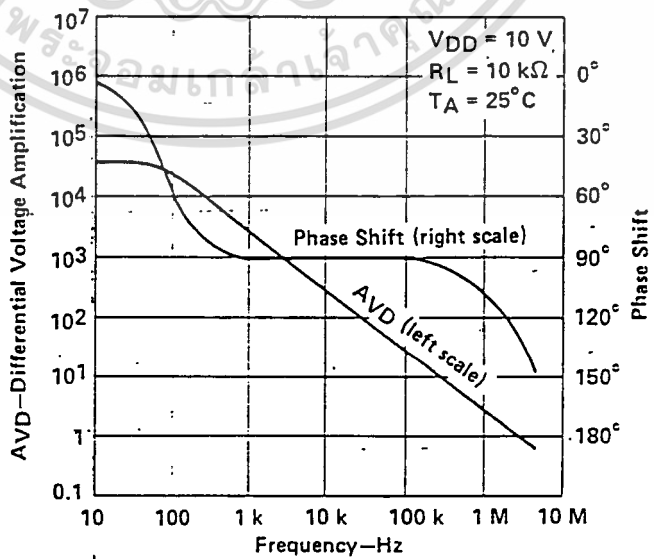


FIGURE 8

3

Operational Amplifiers

เอกสารนี้เป็นเอกสารที่สงวนไว้สำหรับการใช้งานเพื่อการศึกษาเท่านั้น ไม่อนุญาตให้นำไปใช้ประโยชน์ด้านการค้า

# TYPES TLC251, TLC251A, TLC251B, TLC271, TLC271A, TLC271B PROGRAMMABLE LOW-POWER LinCMOST™ AMPLIFIERS

## TYPICAL APPLICATION INFORMATION

### latchup avoidance

Junction-isolated CMOS circuits have an inherent parasitic PNP structure that can function as an SCR. Under certain conditions, this SCR may be triggered into a low-impedance state, resulting in excessive supply current. To avoid such conditions, no voltage greater than 0.3 V beyond the supply rails should be applied to any pin. In general, the op amp supplies should be applied simultaneously with, or before, application of any input signals.

### using the bias select pin

The TLC251 and TLC271 have a bias select pin that allows the selection of one of three  $I_{DD}$  conditions (10, 150, and 1000  $\mu\text{A}$  typical). This allows the user to trade-off power and ac performance. As shown in the typical supply current ( $I_{DD}$ ) versus supply voltage ( $V_{DD}$ ) curves (Figure 4), the  $I_{DD}$  varies only slightly from 4 to 16 V. Below 4 V, the  $I_{DD}$  varies more significantly. Note that the  $I_{DD}$  values in the medium and low-bias modes at  $V_{DD} = 1\text{ V}$  are typically 2  $\mu\text{A}$ , and in the high mode are typically 12  $\mu\text{A}$ . The following table shows the recommended bias select pin connections at  $V_{DD} = 10\text{ V}$ :

RECOMMENDED BIAS SELECT PIN USE AT  $V_{DD} = 10\text{ V}$

BIAS MODE	AC PERFORMANCE	BIAS SELECT CONNECTION <sup>†</sup>	TYPICAL $I_{DD}$ <sup>‡</sup>
Low	Low	$V_{DD}$	10 $\mu\text{A}$
Medium	Medium	0.8 V to 9.2 V	150 $\mu\text{A}$
High	High	Ground pin	1000 $\mu\text{A}$

<sup>†</sup>The Bias Select pin may also be controlled by external circuitry to conserve power, etc. For information regarding the bias select pin, see Figure 3 in the typical characteristics curves.

<sup>‡</sup>For  $I_{DD}$  characteristics at voltages other than 10 V, see Figure 4 in the typical characteristics curves.

### output stage considerations

The amplifier's output stage consists of a source-follower-connected pullup transistor and an open-drain pulldown transistor. The high-level output voltage ( $V_{OH}$ ) is virtually independent of the  $I_{DD}$  selection, and increases with higher values of  $V_{DD}$  and reduced output loading. The low-level output voltage ( $V_{OL}$ ) decreases with reduced output current and higher input common-mode voltage. With no load,  $V_{OL}$  is essentially equal to the GND pin potential.

### input offset nulling

Both the TLC251 and TLC271 offer external offset null control. Nulling may be achieved by adjusting a 25-k $\Omega$  potentiometer connected between the offset null terminals with the wiper connected to the device GND pin as shown in Figure 2. The amount of nulling range varies with the bias selection. At  $I_{DD}$  settings of 150 and 1000  $\mu\text{A}$  (medium and high bias), the nulling range will allow the maximum offset specified to be trimmed to zero. In low bias or when the TLC251 is used below 4 V, total nulling may not be possible on all units.

### supply configurations

Even though the TLC251 and TLC271 are characterized for single-supply operation, they can be used effectively in a split-supply configuration when the input common-mode voltage ( $V_{ICR}$ ), output swing ( $V_{OL}$  and  $V_{OH}$ ), and supply voltage limits are not exceeded.

### circuit layout precautions

The user is cautioned that whenever extremely high circuit impedances are used, care must be exercised in layout, construction, board cleanliness, and supply filtering to avoid hum and noise pickup, as well as excessive dc leakages.

3

Operational Amplifiers

TEXAS  
INSTRUMENTS

POST OFFICE BOX 225012 • DALLAS, TEXAS 75265

3-173

เอกสารนี้เป็นเอกสารที่สงวนไว้สำหรับการใช้งานเพื่อการศึกษาเท่านั้น ไม่อนุญาตให้นำไปใช้ประโยชน์ด้านการค้า  
แม้ว่ากรณีใดๆทั้งสิ้น อีกทั้งห้ามมิให้ดัดแปลงเนื้อหา และต้องอ้างอิงถึงเจ้าของเอกสารทุกครั้งที่มีการนำไปใช้

# SCL4060AB

# CMOS 14-STAGE BINARY COUNTER AND OSCILLATOR

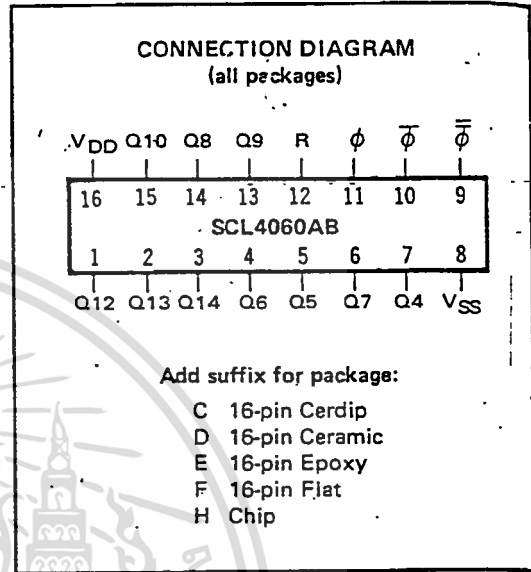
## FEATURES

- ◆ 14 Fully Static Stages
- ◆ 10 Buffered Outputs Available
- ◆ Common Reset Line
- ◆ 8MHz Counting Rate @ 10Vdc
- ◆ All Active Oscillator Components on Chip for B-C or Crystal Control

## DESCRIPTION

The SCL4060AB consists of an oscillator section and 14 ripple-carry binary counter stages. The oscillator configuration allows design of either R-C or crystal oscillator circuits. A Reset input is provided which resets the counter to the all-0's state. A high level on the Reset line accomplishes the reset function. The state of the counter is advanced one step in binary order on the negative transition of the Clock input  $\phi$ . All inputs and outputs are fully buffered. Outputs are available from stages 4 through 10 and 12 through 14.

Applications include timers, frequency dividers, delay circuits and counter controls.



## TRUTH TABLE

CLOCK	RESET	OUTPUT STATE
	0	No Change
	0	Advance to next state
X	1	All Outputs are low

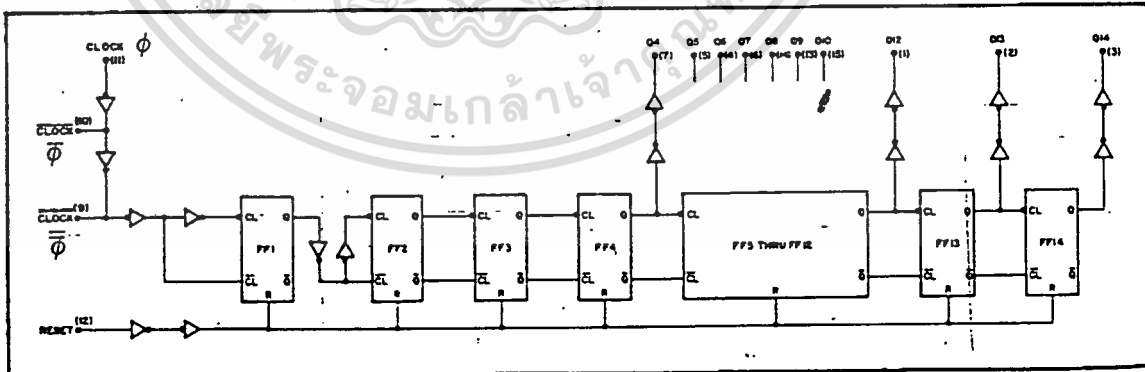
X = Don't Care

## RECOMMENDED OPERATING CONDITIONS

For maximum reliability:

DC Supply Voltage	$V_{DD} - V_{SS}$	3 to 15	Vdc
Operating Temperature	$T_A$	-55 to +125	°C
C, D, F, H Device		-40 to +85	°C
E Device			

## LOGIC DIAGRAM



## ELECTRICAL CHARACTERISTICS

### STATIC CHARACTERISTICS<sup>1</sup>

PARAMETER	V <sub>DD</sub> (Vdc)	CONDITIONS	T <sub>LOW</sub> <sup>2</sup>		+25°C			T <sub>HIGH</sub> <sup>2</sup>		Units		
			Min.	Max.	Min.	Typ.	Max.	Min.	Max.			
QUIESCENT DEVICE CURRENT	I <sub>DD</sub>	V <sub>IN</sub> =V <sub>SS</sub> or V <sub>DD</sub> All valid input combinations	5	5	—	0.05	5	—	150	μA <sub>dc</sub>		
			10	10	—	0.1	10	—	300			
			15	15	—	0.2	20	—	600			
OUTPUT HIGH (SOURCE) CURRENT C, D, F, H device	I <sub>OH</sub>	V <sub>OH</sub> =4.6V V <sub>OH</sub> =9.5V V <sub>OH</sub> =13.5V V <sub>IN</sub> =V <sub>SS</sub> or V <sub>DD</sub>	5	-0.15	—	-0.12	-0.5	—	-0.08	—	mA <sub>dc</sub>	
			10	-0.37	—	-0.3	-1.15	—	-0.21	—		
			15	-1.25	—	-1.0	-4.5	—	-0.69	—		
			E device									
			5	-0.14	—	-0.12	-0.5	—	-0.10	—		mA <sub>dc</sub>
			10	-0.35	—	-0.3	-1.15	—	-0.25	—		
15	-1.2	—	-1.0	-4.5	—	-0.85	—					
OUTPUT LOW (SINK) CURRENT C, D, F, H device	I <sub>OL</sub>	V <sub>OL</sub> =0.4V V <sub>OL</sub> =0.5V V <sub>OL</sub> =1.5V V <sub>IN</sub> =V <sub>SS</sub> or V <sub>DD</sub>	5	0.15	—	0.12	0.5	—	0.08	—	mA <sub>dc</sub>	
			10	-0.37	—	0.3	1.0	—	0.21	—		
			15	1.25	—	1.0	5.8	—	0.69	—		
			E device									
			5	0.14	—	0.12	0.5	—	0.10	—		mA <sub>dc</sub>
			10	0.35	—	0.3	1.0	—	0.25	—		
15	1.2	—	1.0	5.8	—	0.85	—					

NOTES: <sup>1</sup> Remaining Static Electrical Characteristics are listed under "SCL4000B Series Family Specifications".

<sup>2</sup> T<sub>LOW</sub> = -55°C for C, D, F, H device.

= -40°C for E device.

T<sub>HIGH</sub> = +125°C for C, D, F, H device.

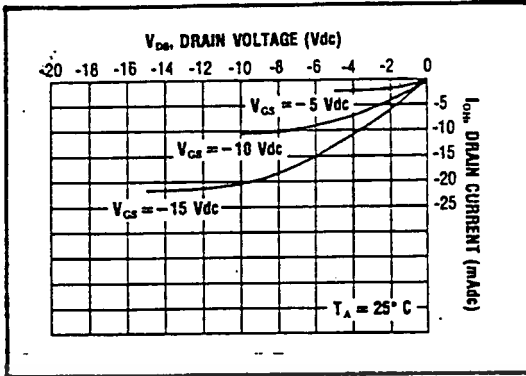
= + 85°C for E device.

### DYNAMIC CHARACTERISTICS (C<sub>L</sub> = 50pF, T<sub>A</sub> = 25°C)

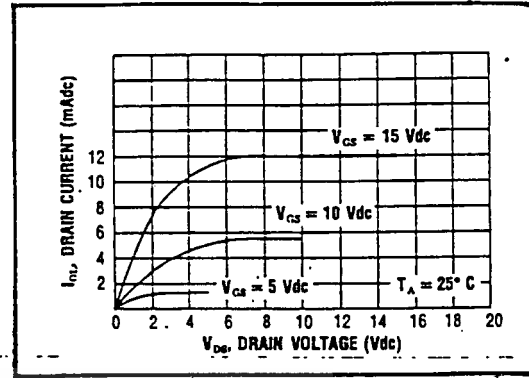
PARAMETER	V <sub>DD</sub> (Vdc)	Min.	Typ.	Max.	Units	
<b>CLOCKED OPERATION</b>						
PROPAGATION DELAY TIME Clock to Q4	t <sub>PLH</sub> , t <sub>PHL</sub>	5	—	650	1300	ns
		10	—	325	650	
		15	—	260	520	
Q <sub>i</sub> to Q <sub>i</sub> + 1	t <sub>PLH</sub> , t <sub>PHL</sub>	5	—	150	300	ns
		10	—	75	150	
		15	—	60	120	
OUTPUT TRANSITION TIME	t <sub>TLH</sub> , t <sub>THL</sub>	5	—	180	360	ns
		10	—	90	180	
		15	—	65	130	
MINIMUM CLOCK PULSE WIDTH	PW <sub>CL</sub>	5	—	100	200	ns
		10	—	50	100	
		15	—	40	80	
MAXIMUM CLOCK FREQUENCY	f <sub>CL</sub>	5	2.0	4.0	—	MHz
		10	4.0	8.0	—	
		15	5	10	—	
MAXIMUM CLOCK RISE AND FALL TIME	t <sub>rCL</sub> , t <sub>fCL</sub>	5	15	—	—	μs
		10	15	—	—	
		15	5	—	—	
<b>RESET OPERATION</b>						
PROPAGATION DELAY TIME	t <sub>PHL</sub>	5	—	300	600	ns
		10	—	150	300	
		15	—	120	240	
MINIMUM RESET PULSE WIDTH	PW <sub>R</sub>	5	—	150	300	ns
		10	—	75	150	
		15	—	60	120	
RESET REMOVAL TIME	t <sub>rem</sub>	5	—	250	500	ns
		10	—	125	250	
		15	—	100	200	

เอกสารนี้เป็นเอกสารที่สงวนไว้สำหรับการใช้งานเพื่อการศึกษาเท่านั้น ไม่อนุญาตให้นำไปใช้ประโยชน์ด้านการค้า

ไม่ว่ากรณีใดๆทั้งสิ้น อีกทั้งห้ามมิให้ดัดแปลงเนื้อหา และต้องอ้างอิงถึงเจ้าของเอกสารทุกครั้งที่มีการนำไปใช้

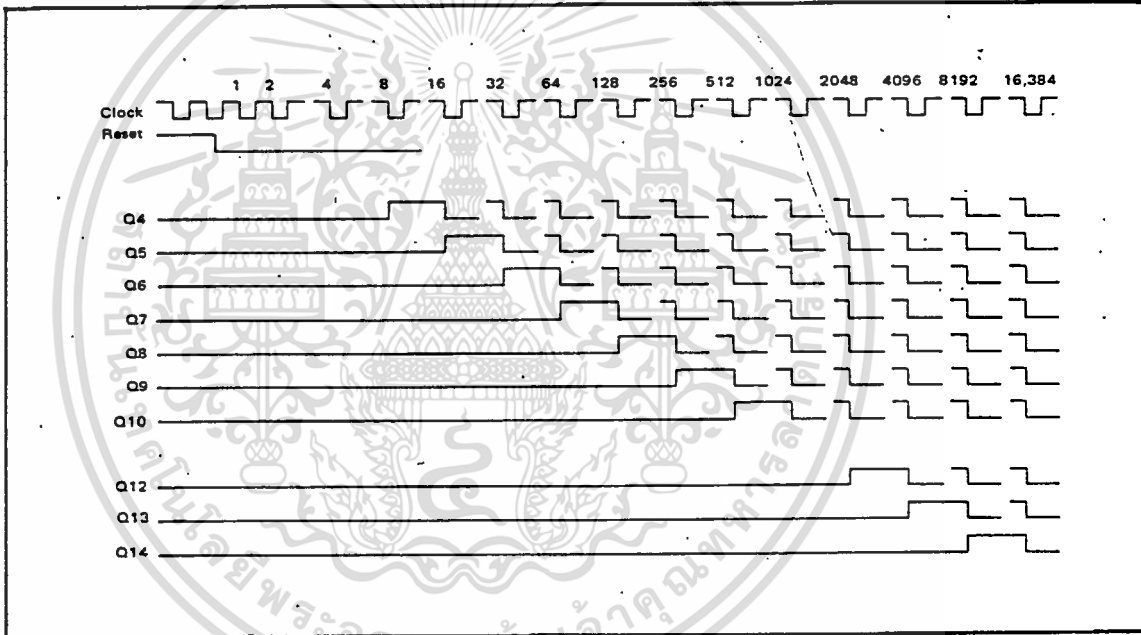


Typical P-Channel Source Current Characteristics

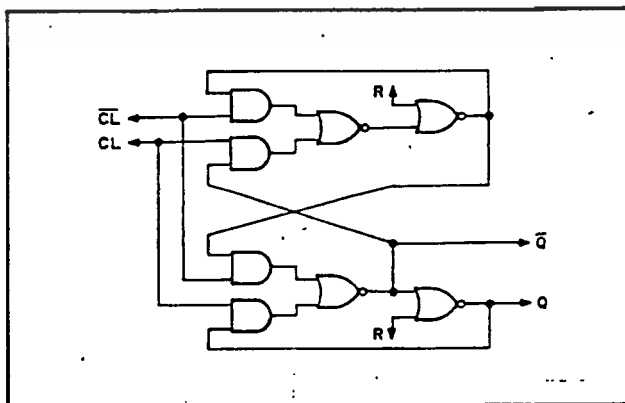


Typical N-Channel Sink Current Characteristics

TIMING DIAGRAM



TYPICAL COUNTER STAGE



เอกสารนี้เป็นเอกสารที่สงวนไว้สำหรับการใช้งานเพื่อการศึกษาเท่านั้น ไม่อนุญาตให้นำไปใช้ประโยชน์ด้านการค้า  
ไม่ว่ากรณีใดๆทั้งสิ้น อีกทั้งห้ามมิให้ตัดแปลงเนื้อหา และต้องอ้างอิงถึงเจ้าของเอกสารทุกครั้งที่มีการนำไปใช้

## APPLICATIONS INFORMATION

**TYPICAL COMPONENT VALUES AND CIRCUIT PERFORMANCE:**

OSCILLATOR FREQUENCY	R <sub>S</sub> KΩ	R <sub>T</sub> KΩ	C <sub>T</sub> μF	I <sub>DD</sub> mA @ V <sub>DD</sub> = 10 V
10 Hz	450	46	1 μF	0.3
100 Hz	450	46	0.1 μF	0.3
1000 Hz	450	46	0.01 μF	0.4
10 kHz	450	46	0.001 μF	0.5
100 kHz	450	46	100 pF	0.7
1 MHz	46	4.6	100 pF	1

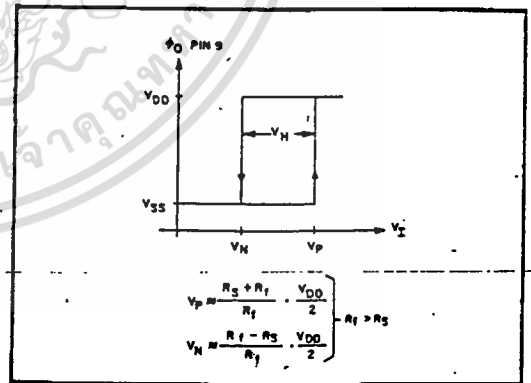
Typical RC oscillator circuit

Typical crystal oscillator circuit

TYPICAL COMPONENT VALUES FOR OPERATION FROM 60 Hz INPUT AT V<sub>DD</sub> = 3 TO 15 VOLTS:  
R<sub>S</sub> = 150 KΩ  
R<sub>T</sub> = 390 KΩ

(FOR USE WHEN INPUT SIGNALS WITH SLOW RISE-FALL TIME ARE USED AS CLOCK)

Input pulse-shaping circuit (Schmitt trigger)



Input circuit characteristics for pulse-shaping circuit.

เอกสารนี้เป็นเอกสารที่สงวนไว้สำหรับการใช้งานเพื่อการศึกษาเท่านั้น ไม่อนุญาตให้นำไปใช้ประโยชน์ด้านการค้า  
ไม่ว่ากรณีใดๆทั้งสิ้น อีกทั้งห้ามมิให้ตัดแปลงเนื้อหา และต้องอ้างอิงถึงเจ้าของเอกสารทุกครั้งที่มีการนำไปใช้

# SCL4081B, SCL4082B SCL4073B

# CMOS AND GATES

SCL4081B - Quad 2-Input AND  
SCL4082B - Dual 4-Input AND  
SCL4073B - Triple 3-Input AND

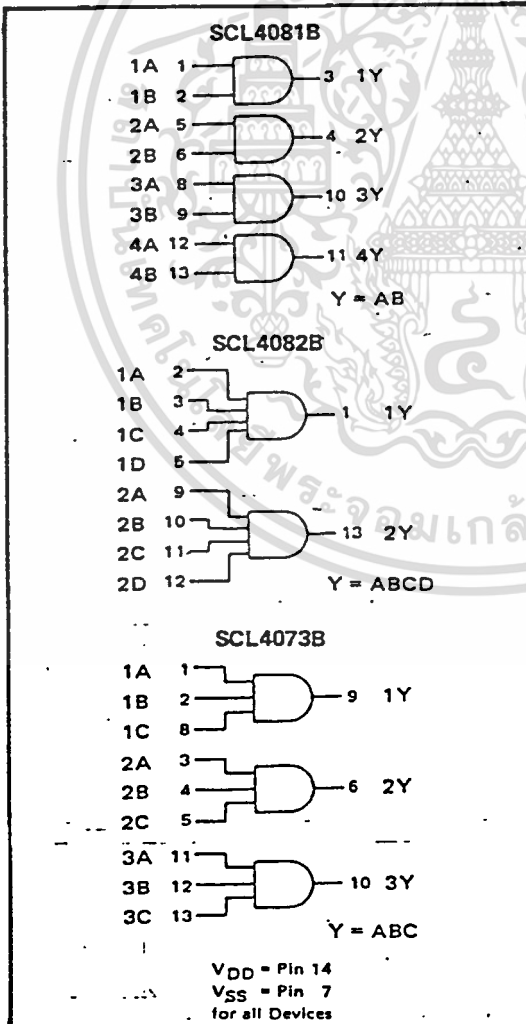
### FEATURES

- ◆ Buffered Outputs
- ◆ Diode Protection on all Inputs
- ◆ Fully "B"-Series Compatible
- ◆ Balanced Output Drive Current Specifications

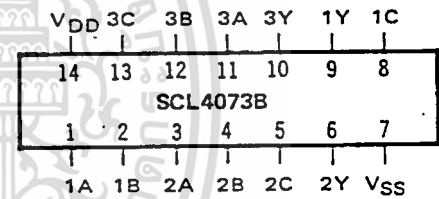
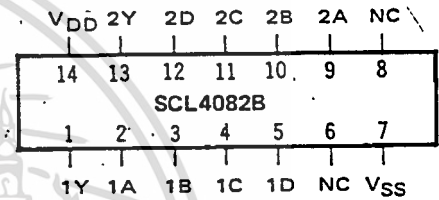
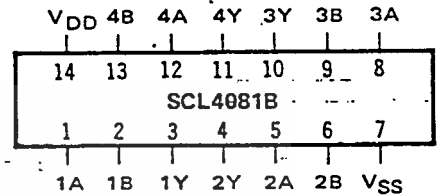
### TRUTH TABLE

Inputs	Output
1 1 ... 1	1
All other combinations	0

### FUNCTION DIAGRAMS



### CONNECTION DIAGRAMS (all packages)



### Add suffix for package:

- C 14-pin Cerdip
- D 14-pin Ceramic
- E 14-pin Epoxy
- F 14-pin Flat
- H Chip

### RECOMMENDED OPERATING CONDITIONS

For maximum reliability:

DC Supply Voltage	VDD - VSS	3 to 15	Vdc
Operating Temperature	TA	-55 to +125	°C
C, D, F, H Device		-40 to +85	°C
E Device			

## ELECTRICAL CHARACTERISTICS

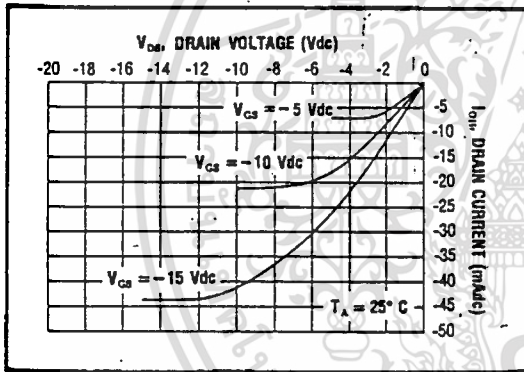
### STATIC CHARACTERISTICS <sup>1,3</sup>

PARAMETER	V <sub>QD</sub> (Vdc)	CONDITIONS	T <sub>LOW</sub> <sup>2</sup>		+25°C			T <sub>HIGH</sub> <sup>2</sup>		Units
			Min.	Max.	Min.	Typ.	Max.	Min.	Max.	
QUIESCENT DEVICE CURRENT	I <sub>DD</sub>	V <sub>IN</sub> = V <sub>SS</sub> or V <sub>DD</sub> All valid input combinations	—	0.05	—	0.0005	0.05	—	1.5	μAdc
			—	0.10	—	0.001	0.10	—	3.0	
			—	0.20	—	0.002	0.20	—	6.0	

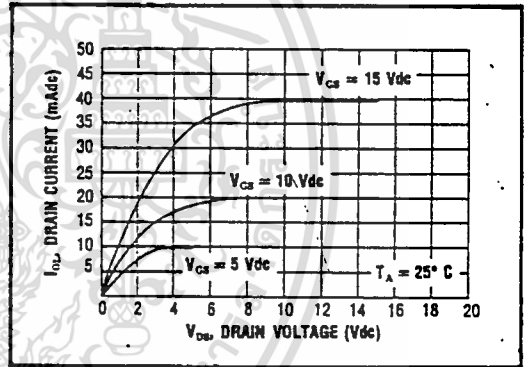
- NOTES: <sup>1</sup> Remaining Static Electrical Characteristics are listed under "SCL4000B Series Family Specifications".  
<sup>2</sup> T<sub>LOW</sub> = -55°C for C, D, F, H device.  
       = -40°C for E device.  
       T<sub>HIGH</sub> = +125°C for C, D, F, H device.  
       = +85°C for E device.  
<sup>3</sup> These devices have been designed for balanced output drive current specifications. Consult Family Specifications.

### DYNAMIC CHARACTERISTICS (C<sub>L</sub> = 50pF, T<sub>A</sub> = 25°C)

PARAMETER		V <sub>DD</sub> (Vdc)	Min.	Typ.	Max.	Units
PROPAGATION DELAY TIME	t <sub>PLH</sub> , t <sub>PHL</sub>	5	—	150	300	ns
		10	—	65	130	
		15	—	50	100	
OUTPUT TRANSITION TIME	t <sub>TLH</sub> , t <sub>THL</sub>	5	—	100	200	ns
		10	—	50	100	
		15	—	40	80	

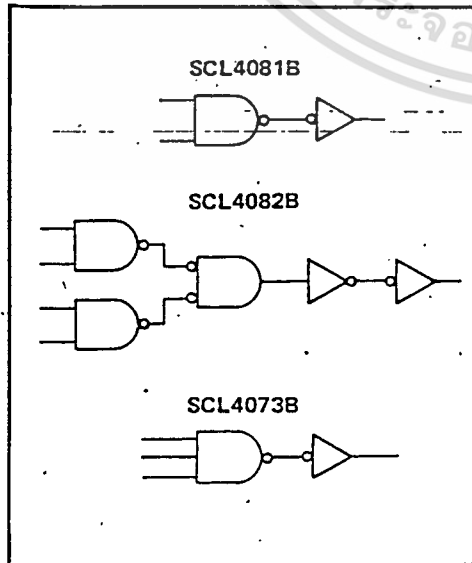


Typical P-Channel  
Source Current Characteristics

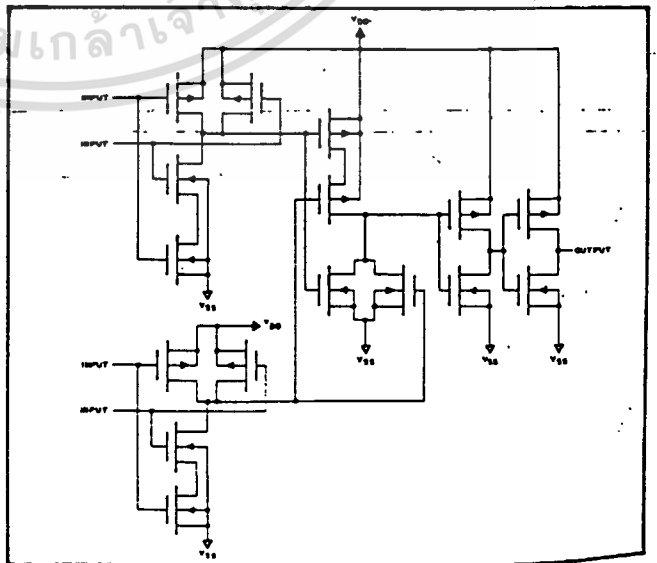


Typical N-Channel  
Sink Current Characteristics

### LOGIC DIAGRAMS



### SCHEMATIC DIAGRAM - SCL4082B (1 of 2 gates)



เอกสารนี้เป็นเอกสารที่สงวนไว้สำหรับการใช้งานเพื่อการศึกษาเท่านั้น ไม่อนุญาตให้นำไปใช้ประโยชน์ด้านการค้า  
 ไม่ว่าจะกรณีใดๆทั้งสิ้น อีกทั้งห้ามมิให้ดัดแปลงเนื้อหา และต้องอ้างอิงถึงเจ้าของเอกสารทุกครั้งที่มีการนำไปใช้

# SCL4013B

# CMOS DUAL D-TYPE FLIP-FLOP

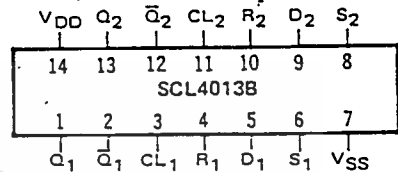
## FEATURES

- ◆ Independent Set and Reset Controls
- ◆ Static Operation
- ◆ Logic Edge-Clocked Design
- ◆ 16MHz Toggle Rate @ 10Vdc
- ◆ Balanced Output Drive Current Specifications

## DESCRIPTION

The SCL4013B consists of two identical, independent D-type Flip-Flops. These devices can be used for shift register applications, and, by connecting the  $\bar{Q}$  output to the Data input, for counter and toggle applications. The logic level present at the D input is transferred to the Q output during the positive-going transition of the Clock pulse. Setting or resetting is independent of the Clock and is accomplished by a high level on the Set or Reset line, respectively.

## CONNECTION DIAGRAM (all packages)



Add suffix for package:

- C 14-pin Cerdip
- D 14-pin Ceramic
- E 14-pin Epoxy
- F 14-pin Flat
- H Chip

## TRUTH TABLE

CL $\Delta$	D	R	S	Q	$\bar{Q}$
0	0	0	0	0	1
0	1	0	0	1	0
x	x	0	0	Q	$\bar{Q}$
x	x	1	0	0	1
x	x	0	1	1	0
x	x	1	1	1	1

NO CHANGE

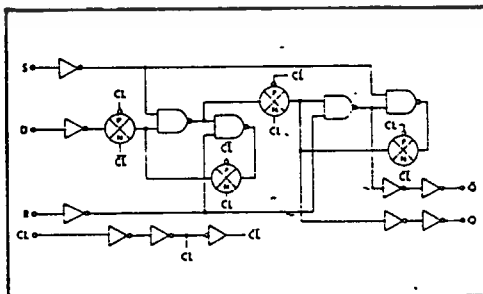
$\Delta$  = Level Change  
x = Don't Care

## RECOMMENDED OPERATING CONDITIONS

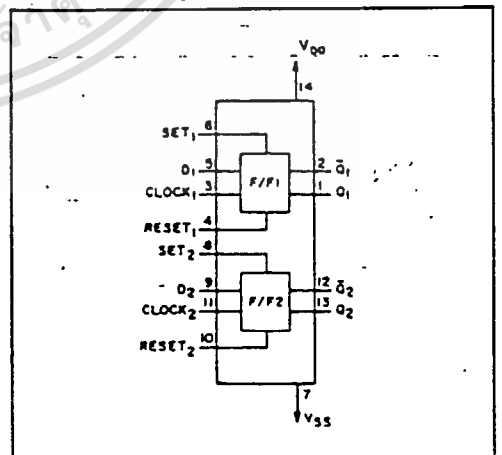
For maximum reliability:

DC Supply Voltage	$V_{DD} - V_{SS}$	3 to 15	Vdc
Operating Temperature	$T_A$	-55 to +125	$^{\circ}C$
C, D, F, H Device		-40 to +85	$^{\circ}C$
E Device			

## LOGIC DIAGRAM



## BLOCK DIAGRAM



# ELECTRICAL CHARACTERISTICS

## STATIC CHARACTERISTICS<sup>1,3</sup>

PARAMETER	V <sub>DD</sub> (Vdc)	CONDITIONS	T <sub>LOW</sub> <sup>2</sup>		+25°C		T <sub>HIGH</sub> <sup>2</sup>		Units	
			Min.	Max.	Min.	Typ.	Max.	Min.		Max.
QUIESCENT DEVICE CURRENT	V <sub>DD</sub>	V <sub>IN</sub> =V <sub>SS</sub> or V <sub>DD</sub> All valid input combinations	-	1.0	-	0.005	1.0	-	30	μA <sub>dc</sub>
			-	2.0	-	0.01	2.0	-	60	
			-	4.0	-	0.02	4.0	-	120	

NOTES: <sup>1</sup> Remaining Static Electrical Characteristics are listed under "SCL4000B Series Family Specifications".

<sup>2</sup> T<sub>LOW</sub> = -55°C for C, D, F, H device.

= -40°C for E device.

T<sub>HIGH</sub> = +125°C for C, D, F, H device.

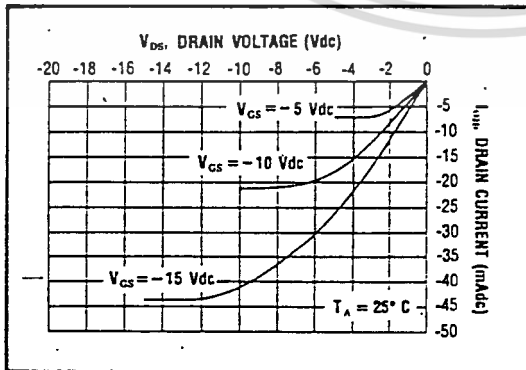
= +85°C for E device.

<sup>3</sup> This device has been designed for balanced output drive current specifications. Consult Family Specifications.

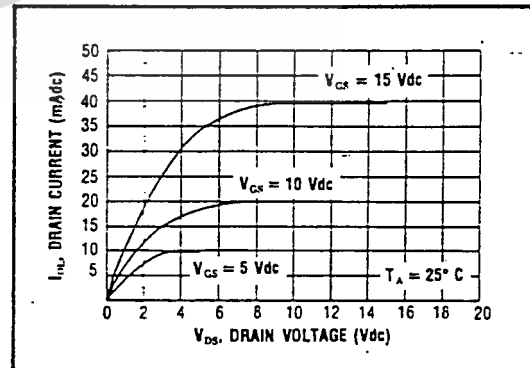
## DYNAMIC CHARACTERISTICS (C<sub>L</sub> = 50pF, T<sub>A</sub> = 25°C)

PARAMETER	V <sub>DD</sub> (Vdc)	Min.	Typ.	Max.	Units	
<b>CLOCKED OPERATION</b>						
PROPAGATION DELAY TIME	t <sub>PLH</sub> , t <sub>PHL</sub>	5	-	125	250	ns
		10	-	65	130	
		15	-	45	90	
OUTPUT TRANSITION TIME	t <sub>TLH</sub> , t <sub>THL</sub>	5	-	100	200	ns
		10	-	50	100	
		15	-	40	80	
MINIMUM CLOCK PULSE WIDTH	PW <sub>CL</sub>	5	-	70	140	ns
		10	-	30	60	
		15	-	20	40	
MAXIMUM CLOCK FREQUENCY	f <sub>CL</sub>	5	3.5	7.0	-	MHz
		10	8.0	16	-	
		15	12.5	25	-	
MAXIMUM CLOCK RISE AND FALL TIME <sup>1</sup>	t <sub>rCL</sub> , t <sub>fCL</sub>	5	15	-	-	μs
		10	10	-	-	
		15	5	-	-	
MINIMUM SETUP TIME	t <sub>setup</sub>	5	-	25	50	ns
		10	-	10	20	
		15	-	7.5	15	
MINIMUM HOLD TIME	t <sub>hold</sub>	5	-	-25	0	ns
		10	-	-10	0	
		15	-	-5	0	
<b>SET AND RESET OPERATIONS</b>						
PROPAGATION DELAY TIME S to Q, R to Q	t <sub>PLH</sub>	5	-	125	250	ns
		10	-	65	130	
		15	-	45	90	
MINIMUM SET AND RESET PULSE WIDTH	PW <sub>S</sub> , PW <sub>R</sub>	5	-	65	130	ns
		10	-	30	60	
		15	-	25	50	
SET AND RESET REMOVAL TIME	t <sub>rem</sub>	5	-	0	25	ns
		10	-	0	10	
		15	-	0	5	

<sup>1</sup>When units are cascaded, the maximum rise and fall times of the clock input should be equal to or less than the transition times of the data outputs driving data inputs, plus the propagation delay of the output driving stage for the output capacitive load.



Typical P-Channel  
Source Current Characteristics



Typical N-Channel  
Sink Current Characteristics

เอกสารนี้เป็นเอกสารที่สงวนไว้สำหรับการใช้งานเพื่อการศึกษาเท่านั้น ไม่อนุญาตให้นำไปใช้ประโยชน์ด้านการค้า

ไม่ว่ากรณีใดๆทั้งสิ้น อีกทั้งห้ามมิให้ดัดแปลงเนื้อหา และต้องอ้างอิงถึงเจ้าของเอกสารทุกครั้งที่มีการนำไปใช้